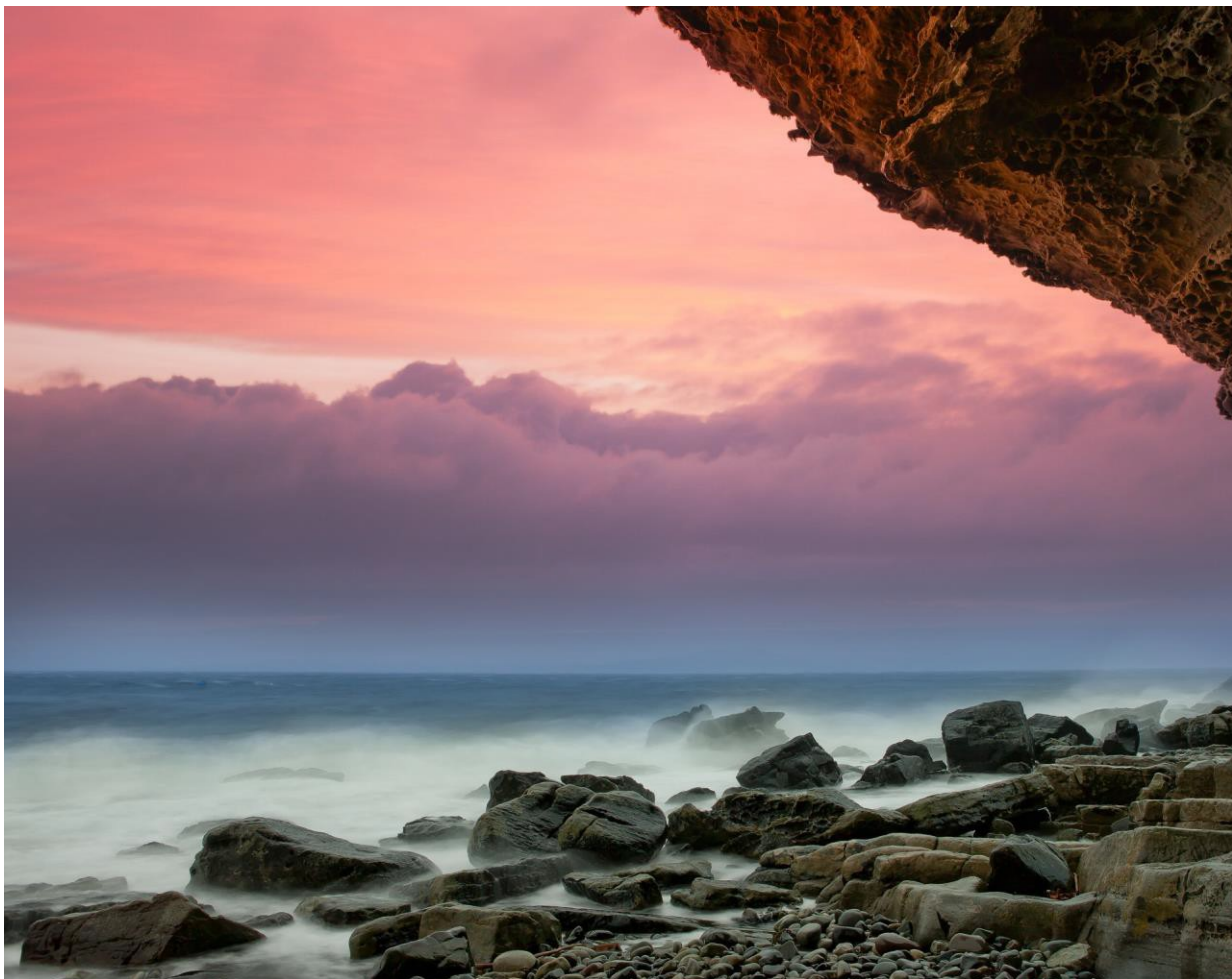




OSPAR COMMISSION

Comprehensive Atmospheric Monitoring Programme

Deposition of air pollutants around the North Sea and
the North-East Atlantic in 2016



OSPAR Convention

The Convention for the Protection of the Marine Environment of the North-East Atlantic (the "OSPAR Convention") was opened for signature at the Ministerial Meeting of the former Oslo and Paris Commissions in Paris on 22 September 1992. The Convention entered into force on 25 March 1998. The Contracting Parties are Belgium, Denmark, the European Union, Finland, France, Germany, Iceland, Ireland, Luxembourg, the Netherlands, Norway, Portugal, Spain, Sweden, Switzerland and the United Kingdom of Great Britain and Northern Ireland.

Convention OSPAR

La Convention pour la protection du milieu marin de l'Atlantique du Nord-Est, dite Convention OSPAR, a été ouverte à la signature à la réunion ministérielle des anciennes Commissions d'Oslo et de Paris, à Paris le 22 septembre 1992. La Convention est entrée en vigueur le 25 mars 1998. Les parties contractantes sont : l'Allemagne, la Belgique, le Danemark, l'Espagne, la Finlande, la France, l'Irlande, l'Islande, le Luxembourg, la Norvège, les Pays-Bas, le Portugal, le Royaume-Uni de Grande Bretagne et d'Irlande du Nord, la Suède, la Suisse et l'Union européenne.

Acknowledgement

This report has been prepared by Wenche Aas with help from Anne-Gunn Hjellbrekke, Mona Waagsbø and Rita Våler at NILU. The national experts and the OSPAR secretariat are greatly acknowledged for their input to this report.



Norwegian Institute for Air Research

P.O. Box 100, N-2027 Kjeller, Norway

Contents

1	Introduction	4
2	The OSPAR CAMP Monitoring Programme	5
2.1	Geographical coverage and completeness	5
3	Observed concentrations in 2016	7
3.1	Metals in air and precipitation	7
3.2	Selected POPs in air	10
3.3	Nitrogen compounds in air and precipitation	11
4	Temporal trends	13
4.1	Time series in annual mean for the various nitrogen compounds	13
4.2	Time series in annual mean of heavy metals.....	17
4.3	Time series in annual mean for γ -HCH.....	20
5	References	20
	Annex 1 Monitoring stations reporting to CAMP in 2016.....	22
	Annex 2 Monthly and annual means of reported components.	25
	Annex 3 Methods in field and laboratory.....	64
	Annex 4 Detection limit.....	69

Executive summary

This report presents the results of monitoring undertaken by OSPAR Contracting Parties for the Comprehensive Atmospheric Monitoring Programme (CAMP) during 2016. Under the CAMP, OSPAR Contracting Parties are committed to monitoring, on a mandatory basis, the concentrations of a range of metals, organic compounds and nutrients in precipitation and air. The CAMP also encourages OSPAR Contracting Parties to monitor, on a voluntary basis, additional compounds (such as certain persistent organic pollutants). The report gives detailed information on observed atmospheric inputs of selected contaminants to the OSPAR maritime area and its regions during 2016.

Region II, the Greater North Sea, remains the most intensely observed sub-region. Sub-regional coasts that are most under-represented are the Irish Sea (Region III), the Bay of Biscay (Region IV), and the far north-east (Region I).

All Contracting Parties reported data for 2016. For most Parties some elements are missing to comply completely with the monitoring obligation defined by CAMP.

The regional distribution of the various pollutants show in general elevated levels closest to main source areas, though there is some variability with a few sites, which may be more influenced by local or nearby sources.

Time trends show decrease in nitrogen, heavy metals and γ -HCH in accordance to the general emission reductions done in Europe the last decades.

Deposition of air pollutants around the North Sea and North-East Atlantic in 2016

1 Introduction

This report collates and describes the observations from coastal monitoring stations across the OSPAR region (see Figure 1.1) under the Comprehensive Atmospheric Monitoring Programme (CAMP), this forming one element within the wider Joint Assessment and Monitoring Programme of OSPAR. The CAMP aims to assess, as accurately as appropriate, the atmospheric input of the selected contaminants to the maritime area and regions thereof (Figure 1.1) on an annual basis through monitoring the concentrations of selected contaminants in precipitation and air.

The components of interest to the CAMP are divided into two groups, for measurement on a mandatory basis and for measurement on a voluntary basis. These are listed in Table 1.1.

The CAMP Principles call for each Contracting Party bordering the OSPAR maritime area (excluding the EU) to operate at least one monitoring station on the coast and/or offshore as part of the CAMP. Where Parties border more than one region (see Figure 1.1) at least one station should be operating in each. The stations should be so-called “background stations”, i.e. not directly influenced by local emission sources. The stations should be located not more than 10 km from the coastline.



Figure 1.1: OSPAR maritime area and regions. Region I : Arctic Waters; Region II: Great North Sea; Region III: Celtic Seas; Region IV: Bay of Biscay and Iberian Coast; Region V: Wider Atlantic.

Table 1.1: Components to be measured under CAMP

	Mandatory	Voluntary
Precipitation	Cd, Pb, Hg, Ni NH ₄ ⁺ , NO ₃ ⁻ (For quality control: pH, Na ⁺ , K ⁺ , Ca ²⁺ , Mg ²⁺ , SO ₄ ²⁻ , Cl ⁻)	As, Cr, Cu, Zn PAHs
Airborne	NO ₂ , HNO ₃ , NH ₃ , NH ₄ ⁺ , NO ₃ ⁻ (a) Cd, Pb, Ni	Hg _(g) PCBs

a) total ammonium (NH₃ + NH₄⁺) and total nitrate (HNO₃ + NO₃⁻) are alternatives

The data assembled by monitoring stations are reported by Contracting Parties to the Norwegian Institute for Air Research (NILU) on a yearly basis, using a reporting format and according to the time schedule set out in the CAMP Principle, which are harmonised with the reporting obligations under EMEP (European Monitoring and Evaluation Programme). Data are stored in the international database <http://ebas.nilu.no/>, and NILU prepares a CAMP data report on an annual basis for OSPAR.

The present CAMP data report “Pollutant depositions in the OSPAR region of the North-East Atlantic in 2016” gives in Chapter 2 an overview of reported data, and a discussion if the Parties are in compliance with their monitoring obligations. In Chapter 3, the 2016 observed annual average concentrations are

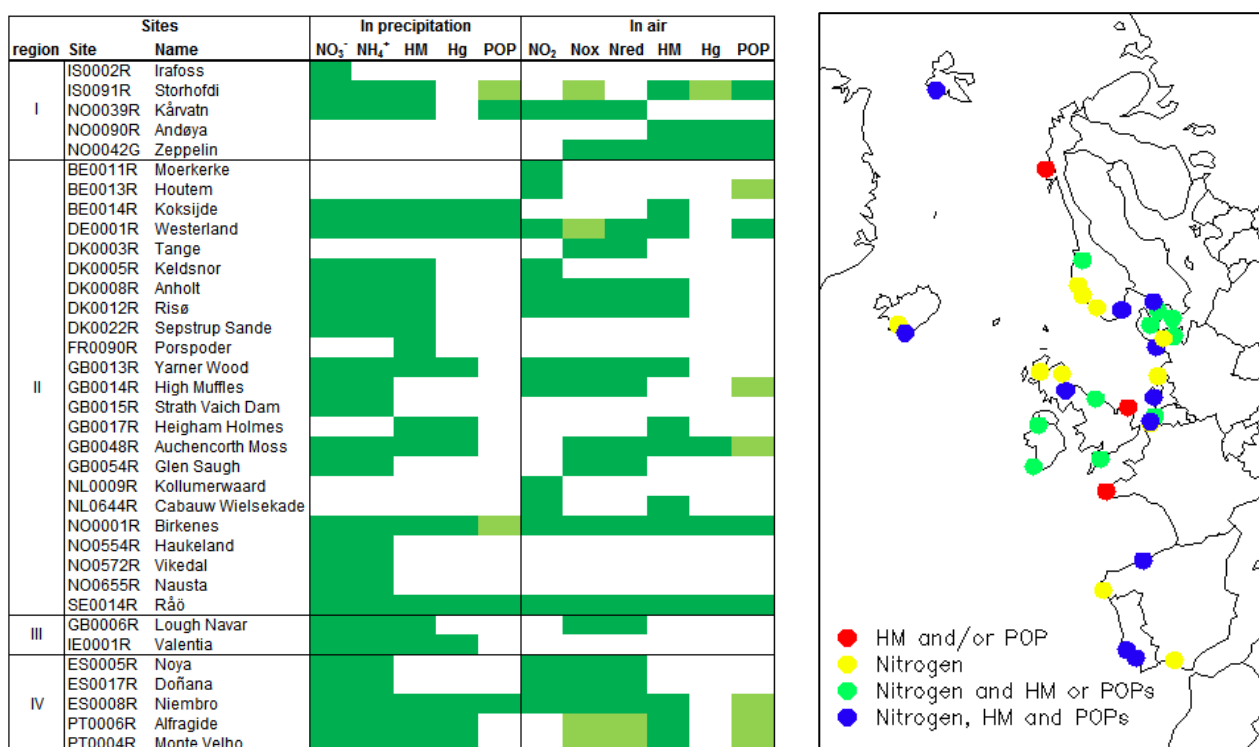
mapped. Chapter 4 provides overviews of temporal patterns in the observations in the two last decades, and indications of significant trends or not.

2 The OSPAR CAMP Monitoring Programme

2.1 Geographical coverage and completeness

Table 2.1 and Figure 2.1 illustrate what has been reported to CAMP for the year 2016. Their coordinates are given in the Annex, Table A.1.1. Dark green colour in the table indicates that the component measured is part of the mandatory or voluntary programme, while light green means that the component measured is not as defined in Table 1.1. I.e. if particulate mercury is measured in air and not elemental mercury; or various POPs are measured, but not PAH or PCBs in precipitation and air, respectively. The map shows the regional distribution of sites and the colour code indicates the level of completeness at the individual site. It is recommended to have as complete monitoring programme as possible to better assess the pollution level and to study what are the main sources, and atmospheric processes. The dark blue colour indicates which sites include all component groups covered by CAMP (nitrogen, heavy metals and POPs).

Table 2.1 and Figure 2.1: Monitoring sites reporting, reduced and oxidised nitrogen compounds, heavy metals (HM), mercury and persistent organic pollutants (POPs) to CAMP in 2016.



It is mandatory for all the Parties to OSPAR to monitor in accordance with the CAMP programme at minimum one site as described in the introduction. Sweden is the only country with full compliance of both the mandatory and voluntary program, Table 2.2. France lack several components to comply with the mandatory program and it is recommended that they include more sites in the network.

Figure 2.2: Compliance with the monitoring obligations to CAMP. Dark green indicates compliance while light green indicates missing variable for N in air and different POPs under the voluntary program.

Deposition of air pollutants around the North Sea and the North-East Atlantic in 2016

Mandatory program												
Site	In precipitation						In air					
	NO ₃ ⁻	NH ₄ ⁺	Cd	Pb	Ni	Hg	NO ₂	Nox	Cd	Pb	Ni	Nred
Iceland						n/a	n/a	n/a				n/a
Norway												
Belgium								n/a				n/a
Germany												
Denmark						n/a						
France	n/a	n/a				n/a	n/a	n/a	n/a	n/a	n/a	n/a
UK												
Netherlands												
Sweden												
Ireland							n/a	n/a	n/a	n/a	n/a	n/a
Spain												
Portugal							n/a					

Voluntary program					
Site	Precip			In air	
	PAH	Cd	Pb	Ni	Hg
Iceland					
Norway					
Belgium					n/a
Germany	n/a				n/a
Denmark	n/a			n/a	n/a
France	n/a			n/a	n/a
UK					
Netherlands					n/a
Sweden					
Ireland	n/a			n/a	n/a
Spain					n/a
Portugal					n/a

Parties report a wider range of components than is covered by CAMP. The main body of this report is a description of observations defined by the CAMP programme. Excluded are i.e. major ions, which are reported to provide the potential for quality control, and compounds which are a part of other international programmes, but which may be expected to lie outside the core interest of OSPAR, e.g. sulphates, ozone, and PM measurements. Most of the sites are also part of the EMEP programme and the monitoring obligations in EMEP are more extensive (UNECE, 2009). All the components reported by Contracting Parties are uploaded in the database and are accessible from <http://ebas.nilu.no/>.

3 Observed concentrations in 2016

This section describes the observed concentrations at coastal stations around the North-East Atlantic in 2016. Note that the colour codes are only used to show the spatial spread of the data, to indicate which regions have the highest and lowest levels compared to each other, and not necessarily if the levels are higher than what is acceptable from a critical load perspective.

In the maps, volume weighted means are calculated in accordance to the defined EMEP procedures. To address the total load of pollutants, it is necessary to look at the deposition, and the wet depositions are given in the annexes together with the concentrations. For pollutants in air, concentrations only are given. There is a large uncertainty in using dry deposition velocities to estimate the deposition from gases and particulate matter, and it is beyond the aim of this report to address this complicated issue. It is however recognised that dry deposition can be just as important as, or higher than the wet deposition, especially in dry regions.

3.1 Metals in air and precipitation

Heavy metals are of major environmental concern due to their persistence, ability to bio-accumulate and their negative effect on human health and the environment. Therefore regulation of these elements has been a priority both on a regional (OSPAR; HELCOM, CLRTAP, EEA) and global scale (UNEP).

The concentrations of heavy metals in air and precipitation shown in Figure 3.1 -3.6 resemble the emission distribution in this region fairly well (see Pacyna et al., 2009). The lowest concentrations are generally observed in northern Scandinavia and the westernmost part of Europe. The highest levels were for some elements observed in the Benelux countries while for others; highest levels are seen in Spain, UK or Denmark. One should notice that the detection limit for some elements from some countries are higher than the ambient concentration and these data should be looked upon as an upper concentration level. Detection limits are found in Annex 4. The regional distribution in air and precipitation is not comparable for all elements. This may be due to influence of regional or more local sources, which can give high air concentrations, but these aerosols are not necessarily scavenged by wet deposition nearby.

The spatial distribution of elemental mercury in air (Figure 3.6), does not follow the same spatial pattern as the other heavy metals, where the highest concentrations seems to be in Northern Europe, though there are relatively few sites to compare. The reason why the spatial pattern of especially mercury air concentrations may differ from the primary emission pattern is that mercury has a long residence time in the atmosphere and that re-emission from soil and ocean may affect sites that are more distant.

In addition to mapping of the annual concentrations, corresponding tables of monthly and annual wet deposition and volume weighted means of concentrations both in air and precipitation are presented in Annex 2.

Deposition of air pollutants around the North Sea and the North-East Atlantic in 2016

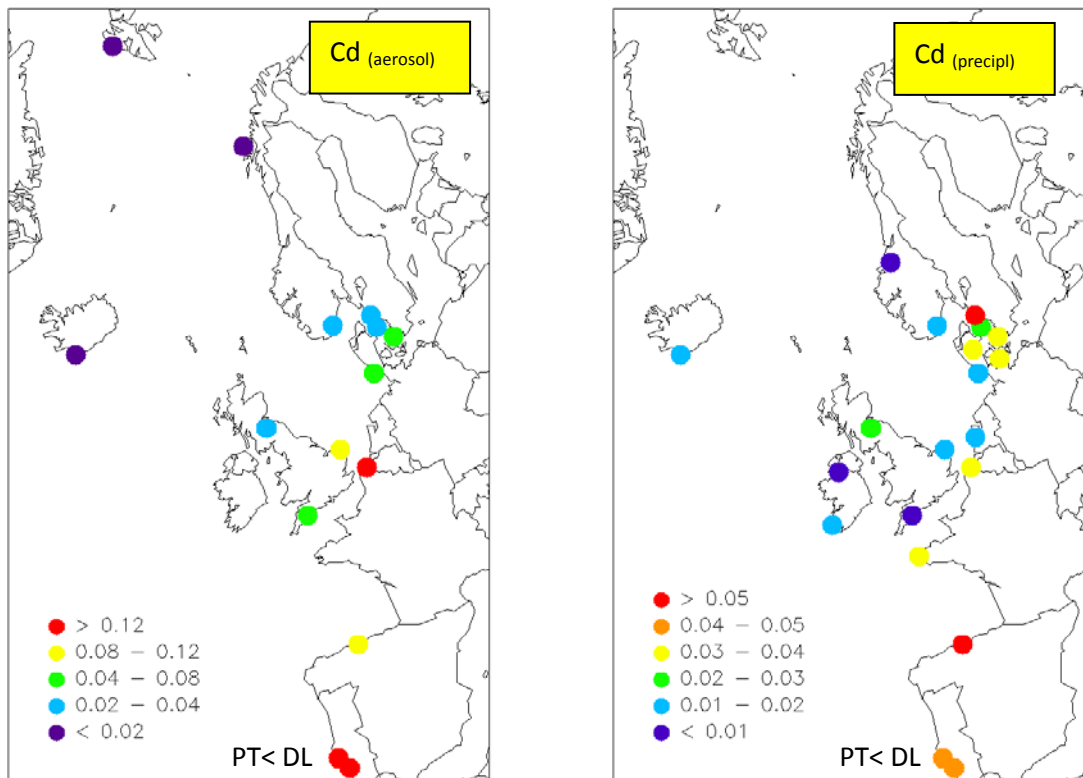


Figure 3.1: Annual concentrations of cadmium in air (ng/m^3) and precipitation ($\mu\text{g}/\text{L}$), 2016. Note that data marked with under the detection limit (DL), the colour illustrates the upper limit

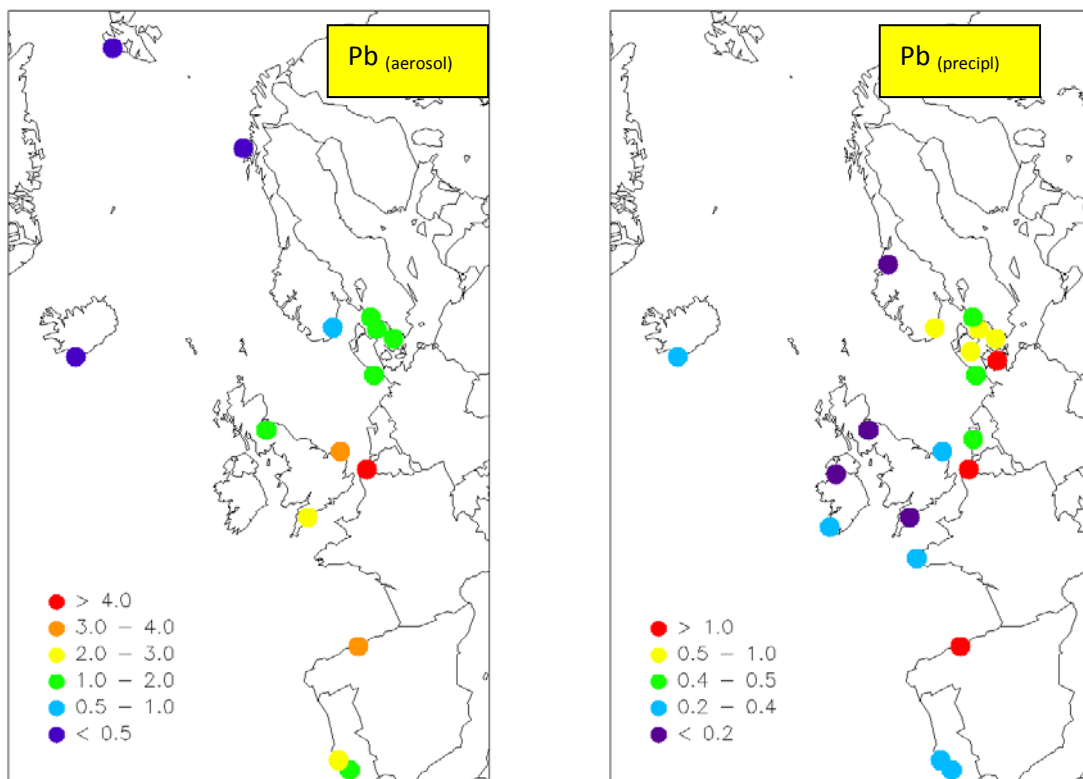


Figure 3.2: Annual concentrations of lead in air (ng/m^3) and precipitation ($\mu\text{g}/\text{L}$), 2016

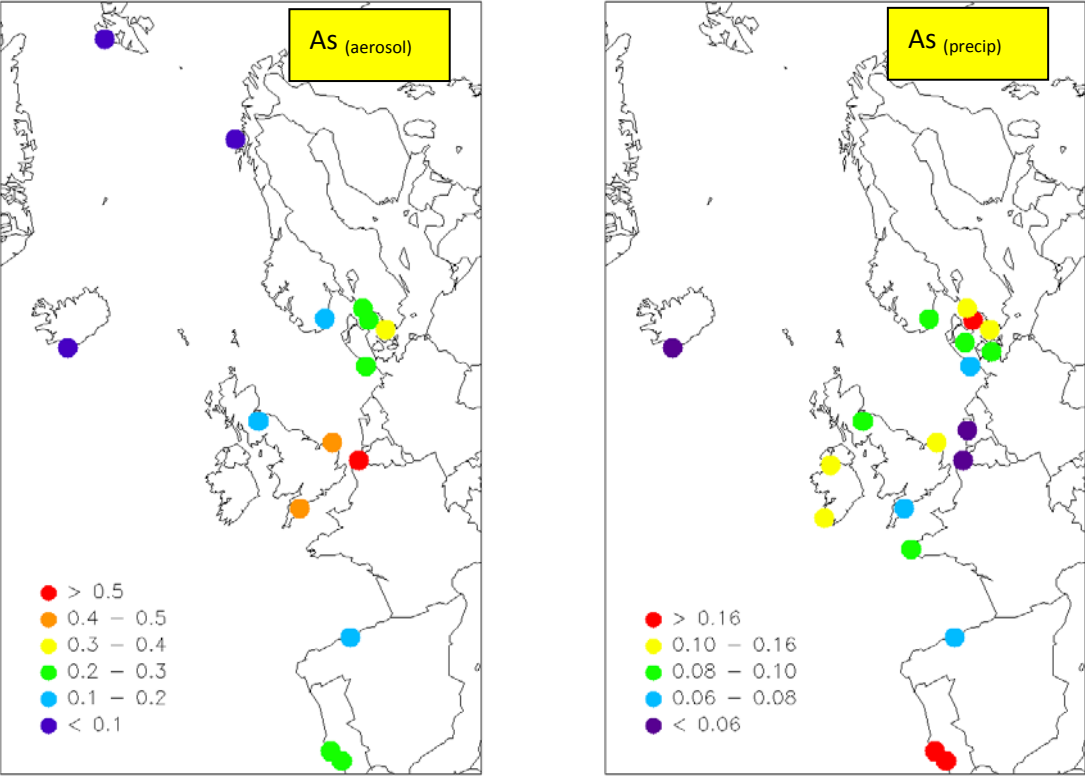


Figure 3.3: Annual concentrations of arsenic in air (ng/m^3) and precipitation ($\mu\text{g/L}$), 2016

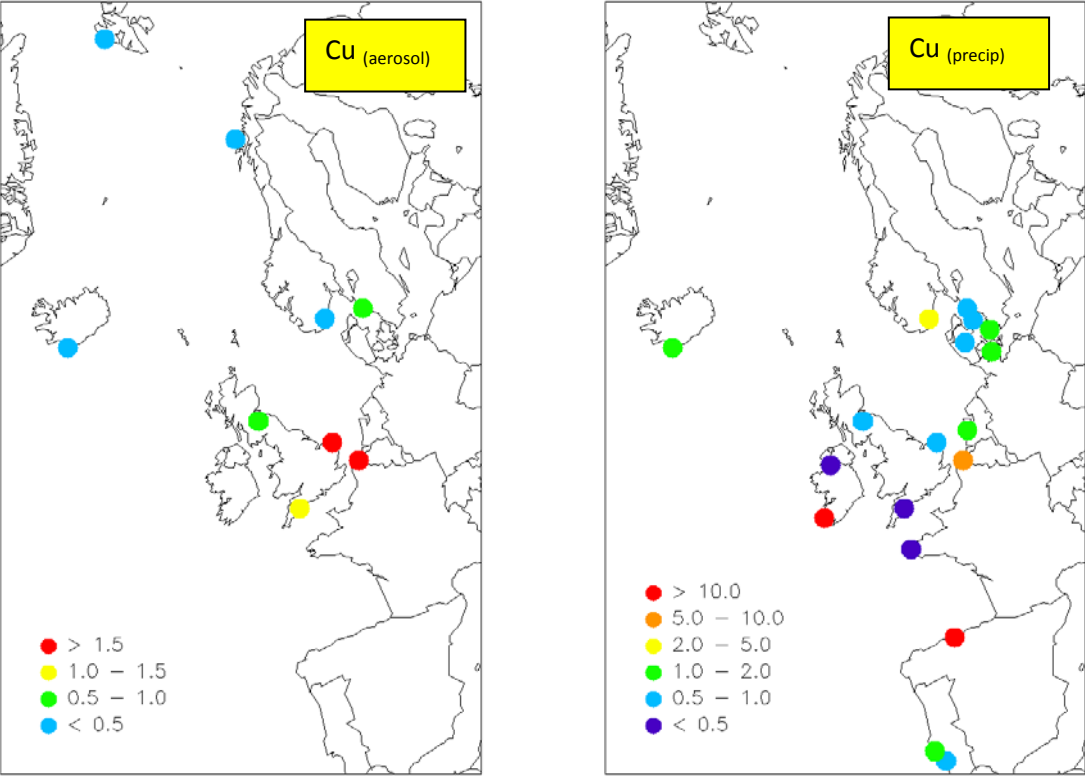


Figure 3.4: Annual concentrations of copper in air (ng/m^3) and precipitation ($\mu\text{g/L}$), 2016

Deposition of air pollutants around the North Sea and the North-East Atlantic in 2016

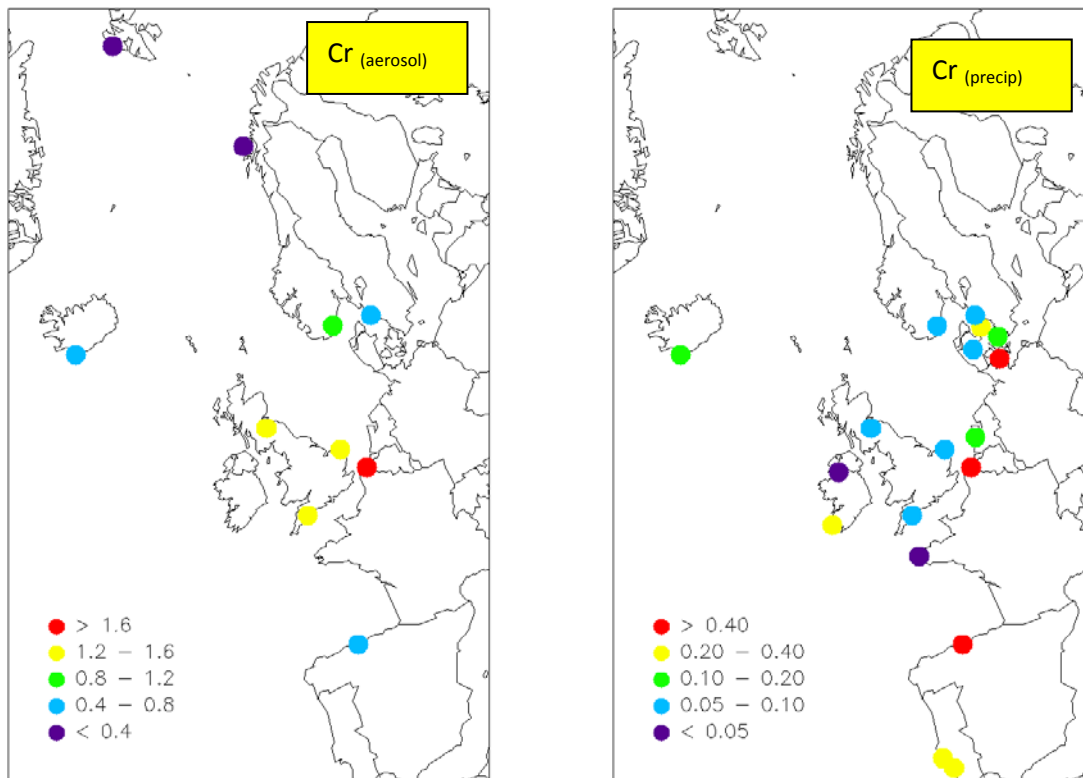


Figure 3.5: Annual concentrations of chromium in air (ng/m^3) and precipitation ($\mu\text{g/L}$), 2016

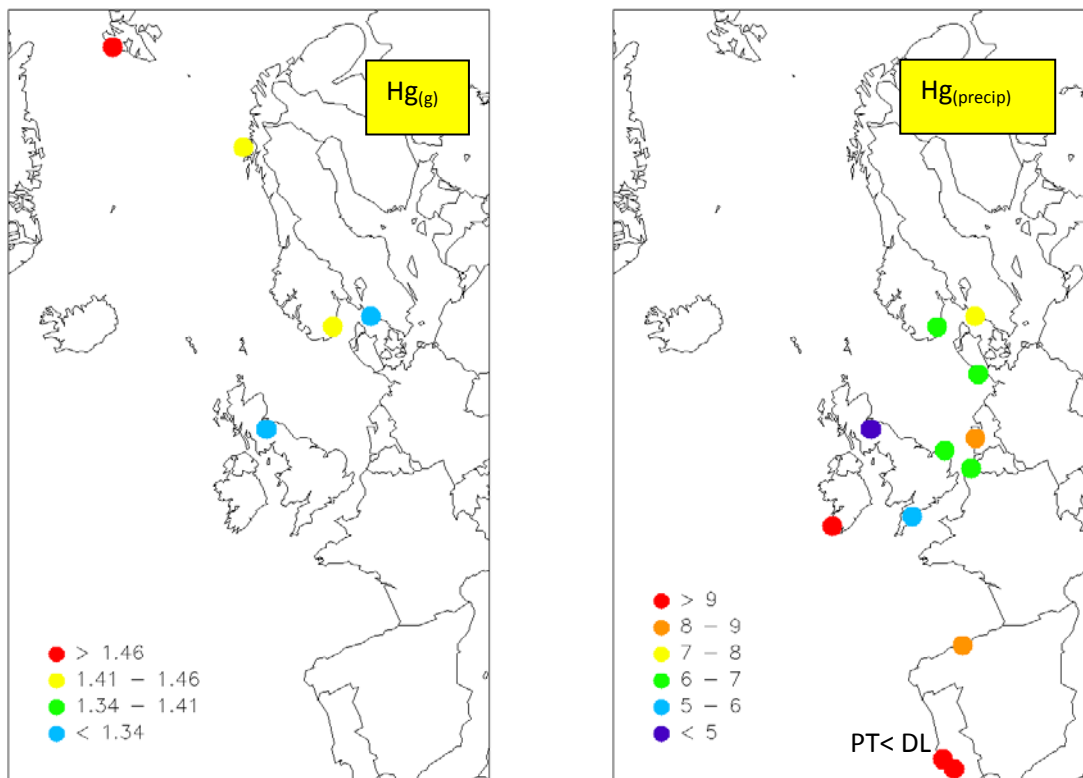


Figure 3.6: Annual concentrations of mercury in air (ng/m^3) and precipitation (ng/L), 2016
Note that data marked with under the detection limit (DL), the colour illustrates the upper limit

3.2 Selected POPs in air

POPs are organic chemicals identified as being toxic, bio-accumulative, persistent and prone to long-range transport, and several are regulated by international law. Most other air pollutants tend to decline with

distance from source regions due to dispersion, dilution, degradation and deposition. However, for some POPs, relatively high concentrations have been measured far from major emission regions (Wania, 1999; Tørseth et al., 2012). A characteristic feature of many POPs, unlike most other air pollutants, is their potential to undergo reversible atmospheric deposition (e.g. Larsson, 1985; Nizzetto et al., 2010). Therefore, air concentrations measured today might be either caused by recent primary atmospheric emissions or attributed to re-volatilization of these persistent and semi-volatile substances from contaminated surface reservoirs (soil, water, vegetation, snow, etc.) in contact with the atmosphere.

In Figure 3.7, the annual mean concentrations of selected POPs (γ -HCH, Benzo-a-pyrene and PCB 180) in air are shown. γ -HCH and PCBs in air are only measured at a few sites while benzo-a-pyrene is measured at a larger number of sites mainly due to the fact that PAH is regulated by the EUs air quality directive (EU, 2004). The highest levels are seen in the Benelux countries and Spain, while lowest in the Arctic (at the station in Svalbard). Details of all the concentrations for all the different POPs measured at the sites in the CAMP programme are found in Annex 2.

Maps for measurements of POPS in precipitation are not shown because the methods across the network differ and are not comparable, i.e. some sites measure deposition while others concentrations. The data are however, given in Annex 2.

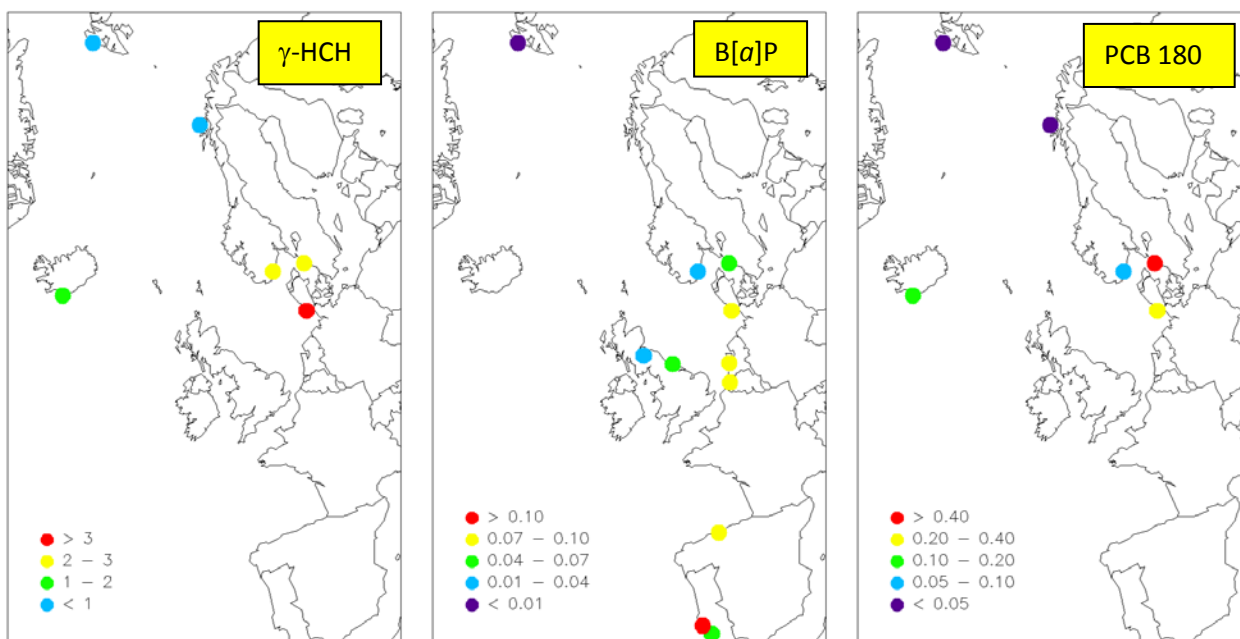


Figure 3.7: γ -HCH (pg/m^3), Benzo-a-pyrene (ng/m^3) and PCB 180 in air (pg/m^3) 2016.

3.3 Nitrogen compounds in air and precipitation

Concentrations of oxidised nitrogen in air and precipitation are illustrated in Figure 3.8. The air concentrations of NO_2 are highest around the major emission sources, like from the ship traffic in the North Sea, Kattegat and in the English Channel. The highest concentrations of oxidised nitrogen in air resembles similar pattern, for nitrate in precipitation it is more scattered with additional elevated concentrations in the Bay of Biscay and in Portugal.

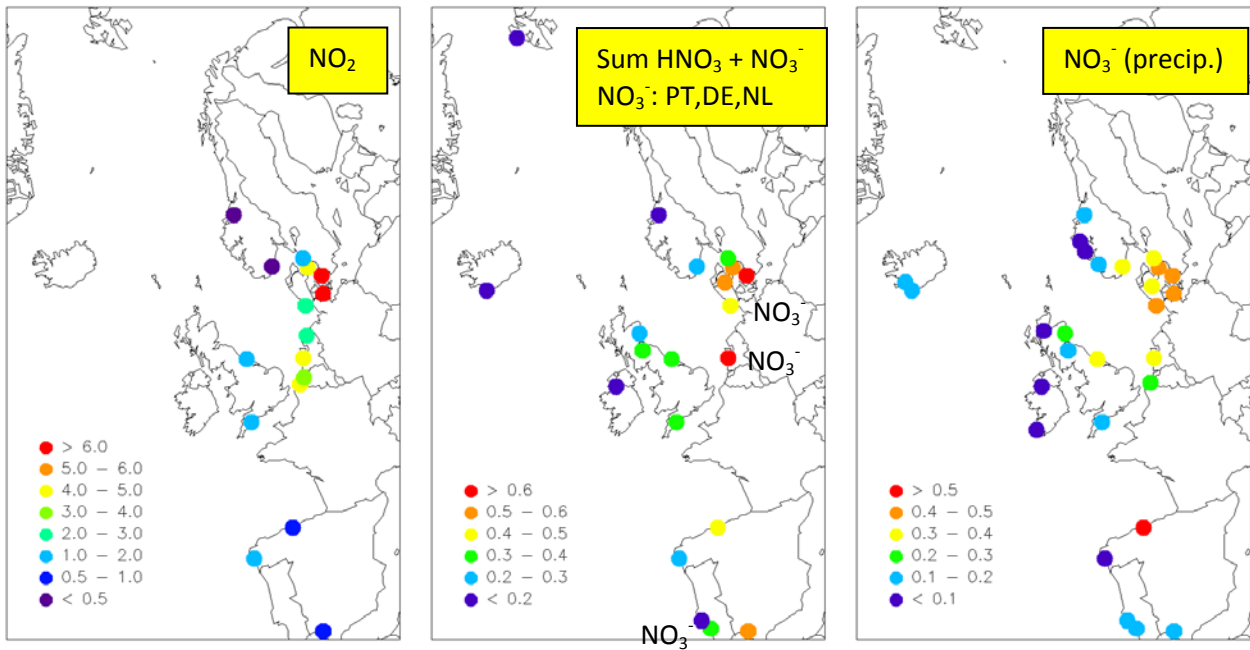


Figure 3.8: Annual mean concentrations of oxidised nitrogen in 2016, in air (NO_2 and sum ($\text{NO}_3 + \text{HNO}_3$) in $\mu\text{gN}/\text{m}^3$) and volume weighted mean in precipitation (NO_3^- in mgN/L).

Concentrations of reduced nitrogen are shown in Figure 3.9. The highest concentrations of sum ammonium ($\text{NH}_4^+ + \text{NH}_3$) in air are not surprisingly highest in the quite intensive agricultural regions in Europe.

Annual wet deposition of total nitrogen is between 125 and 1309 mgN/m^2 (equal 1.3-13 $\text{kg ha}/\text{year}$) with the highest deposition in the relatively wet region in Norway and Iceland (see data in the annex). To estimate the total deposition it is important to also include dry deposition fluxes (Sutton et al., 2011). However, monitoring of dry deposition fluxes has so far mainly been made in relation to research projects, in particular, the European Union integrated project NitroEurope (Skiba et al, 2009; Flechard et al, 2011).

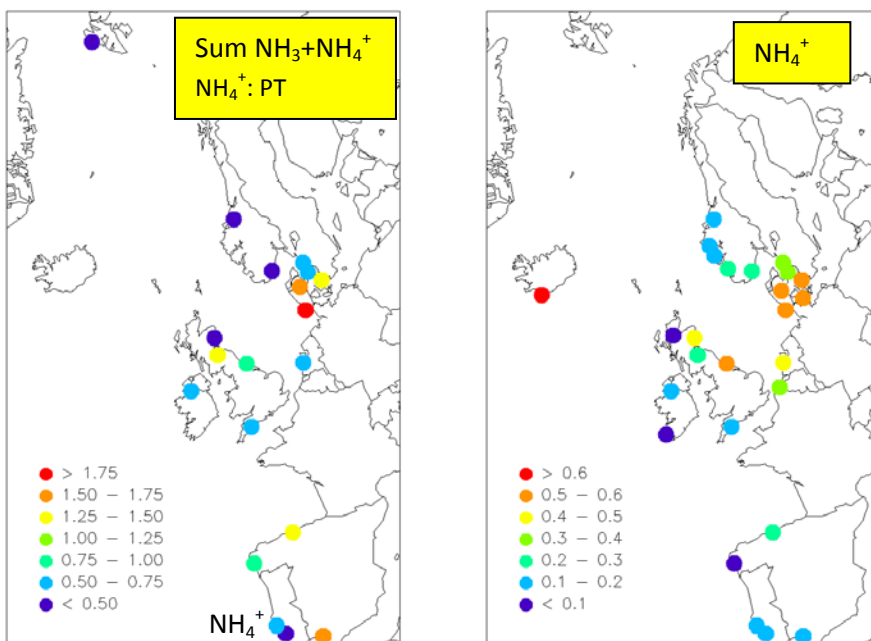


Figure 3.9: Volume weighted annual mean concentrations of reduced nitrogen in 2016, in air (left, $\mu\text{gN}/\text{m}^3$) and in precipitation (right, mgN/L).

4 Temporal trends

The temporal trends in the OSPAR CAMP data from 1990 to 2016 have been evaluated. For the statistical analysis, the non-parametric “Mann-Kendall Test” has been used on annual means for detecting and estimating trends (Gilbert, 1987). The Mann-Kendall test has become a standard method in EMEP (Tørseth et al, 2012) for trend analysis when missing values occur and when data are not normally distributed. In parallel to this, the Sen's slope estimator has been used to quantify the scale of potential trends. Here we have used the confidence limit of 0.1 to define whether the trend is significant or not. For calculating trends, volume weighted annual concentration averages are used, and only sites with sufficient data coverage are included, i.e. 75% data capture for the year, except for heavy metals in air where some sites do have one daily sample pr. week, which is accepted. The measurements are not normalised. The average percent change in concentration, and standard deviation are calculated for all the sites, and not only for those with a significant trend. In the figures a selection of sites are used. In Table 4.1, trend statistics for nitrogen and heavy metals for the last two decades of measurements at the CAMP sites are presented.

Table 4.1: Trend statistics for changes in annual concentrations of nitrogen compounds and contaminants at CAMP sites with long-term measurements, calculations for the two periods 1990-2016 and 2000-2016.

Trends 1990 - 2016						Trends 2000 - 2016					
Comp	Nr of sites	Sites with sign. trend		Trends in conc.		Comp	Nr of sites	Sites with sign. trend		Trends in conc.	
		decrease	increase	Avg	SD			decrease	increase	Avg	SD
NO ₃ precip	10	80 %	0 %	-31 %	20 %	NO ₃ precip	15	80 %	7 %	-22 %	28 %
sum NO ₃ air	5	60 %	20 %	-1 %	67 %	sum NO ₃ air	6	50 %	0 %	4 %	58 %
NO ₂ air	8	88 %	13 %	-17 %	69 %	NO ₂ air	9	78 %	11 %	-15 %	61 %
NH ₄ precip	10	50 %	10 %	-10 %	27 %	NH ₄ precip	14	29 %	0 %	-1 %	38 %
sum NH ₄ air	5	60 %	40 %	30 %	127 %	sum NH ₄ air	7	29 %	14 %	5 %	59 %
Hg precip	2	100 %	0 %	-44 %	17 %	Hg precip	4	50 %	0 %	-27 %	13 %
Hg _(g) air	1	0 %	0 %	-19 %	-	Hg _(g) air	2	100 %	0 %	-13 %	7 %
Pb precip	6	100 %	0 %	-79 %	13 %	Pb precip	7	71 %	0 %	-50 %	32 %
Pb air	1	100 %	0 %	-95 %	-	Pb air	4	100 %	0 %	-78 %	5 %
Cd precip	7	71 %	0 %	-65 %	35 %	Cd precip	8	38 %	0 %	-23 %	35 %
Cd air	1	100 %	0 %	-83 %	-	Cd air	3	67 %	0 %	-55 %	14 %

4.1 Time series in annual mean for the various nitrogen compounds

There have been quite substantial reductions in emissions of nitrogen oxides during the last decades in Europe (Vestreng et al., 2009; Tørseth et al., 2012; Colette et al., 2016). From 1990 to 2012 the NO_x emissions in Europe decreased by 49%. The reductions were in the first decade mainly caused by a change from burning of coal and gas to nuclear power. NO_x emissions from traffic especially in Western European have also decreased, even though fuel consumption has increased (Vestreng et al., 2009). The European emission trends of NO_x are reflected in the precipitation measurements at the CAMP sites (See Table 4.1).

From 1990 to 2016, nitrate in precipitation decreased on average, by 31%. The concentrations of total airborne nitrate did not change on average while NO₂ had a small decrease (17%). The difference between the trend in air and precipitation can also partly be due to a shift in equilibrium towards more particulate ammonium nitrate relative to nitric acid caused by a reduction in sulphur dioxide emissions. Reduced sulphur dioxide concentrations, make more ammonia available to bind with nitric acid (Fagerli and Aas, 2008). A more rapid oxidation of NO_x may also have contributed (Monks et al., 2009). The total reduction in observed concentrations of oxidized nitrogen compounds from 2000 is a bit less than for the whole period. The trend plots of oxidised nitrogen at some selected sites with measurements covering the two decades are shown in the Figures 4.1-4.3.

The total European ammonia emissions decreased by 29% from 1990 to 2012 (Colette et al., 2016), though with large regional differences. A majority of the CAMP sites show a decreasing trend in both air and precipitation, on average 10% in precipitation for the period 1990-2016. In air however, the average trend is actually an increase of 30%, Table 4.1. However, it should be noted that some sites are, due to their location in rural districts, partly affected by local ammonia emissions. Especially this is the case for the two sites in Norway, which show a large increase, and excluding the Norwegian sites, the remaining sites in Denmark and Sweden show a significant decrease. Concentrations from 2000-2016 show no clear tendency (Table 4.1 and Figure 4.4 and 4.5).

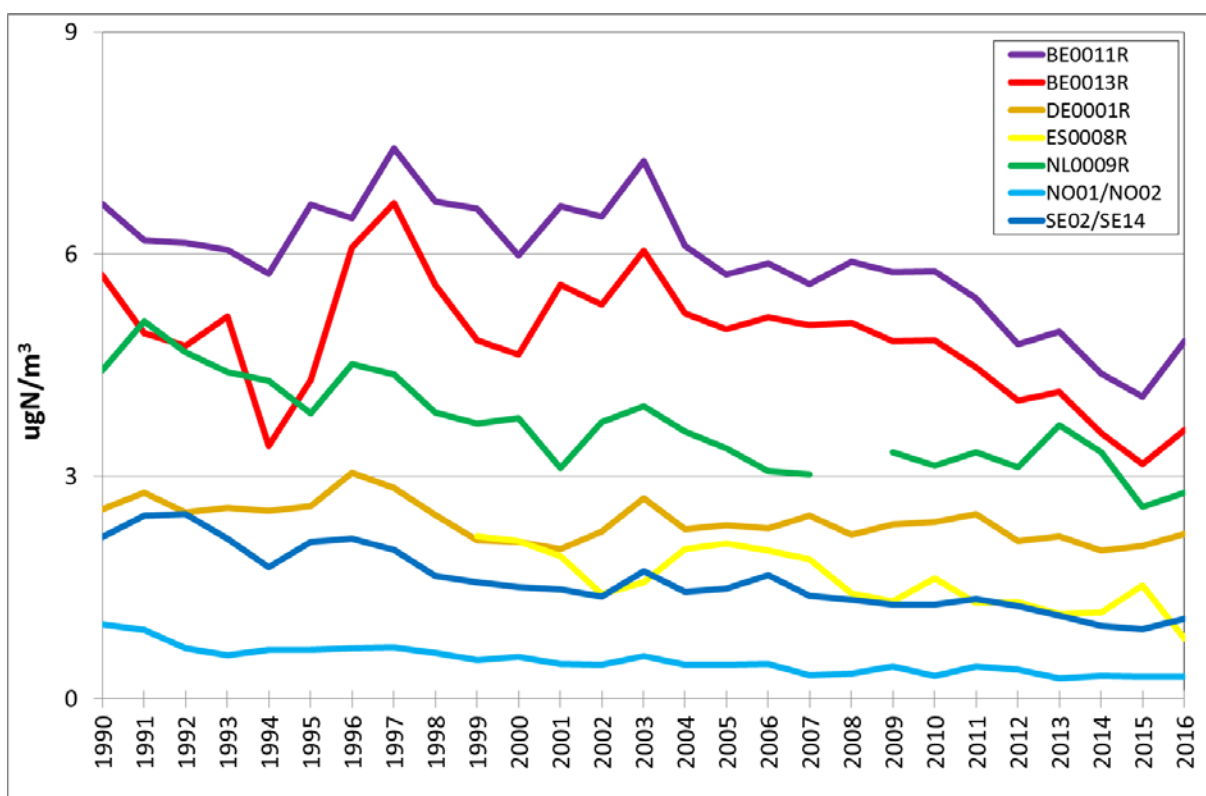


Figure 4.1: Time series of NO₂. All the sites shown have a significant trend

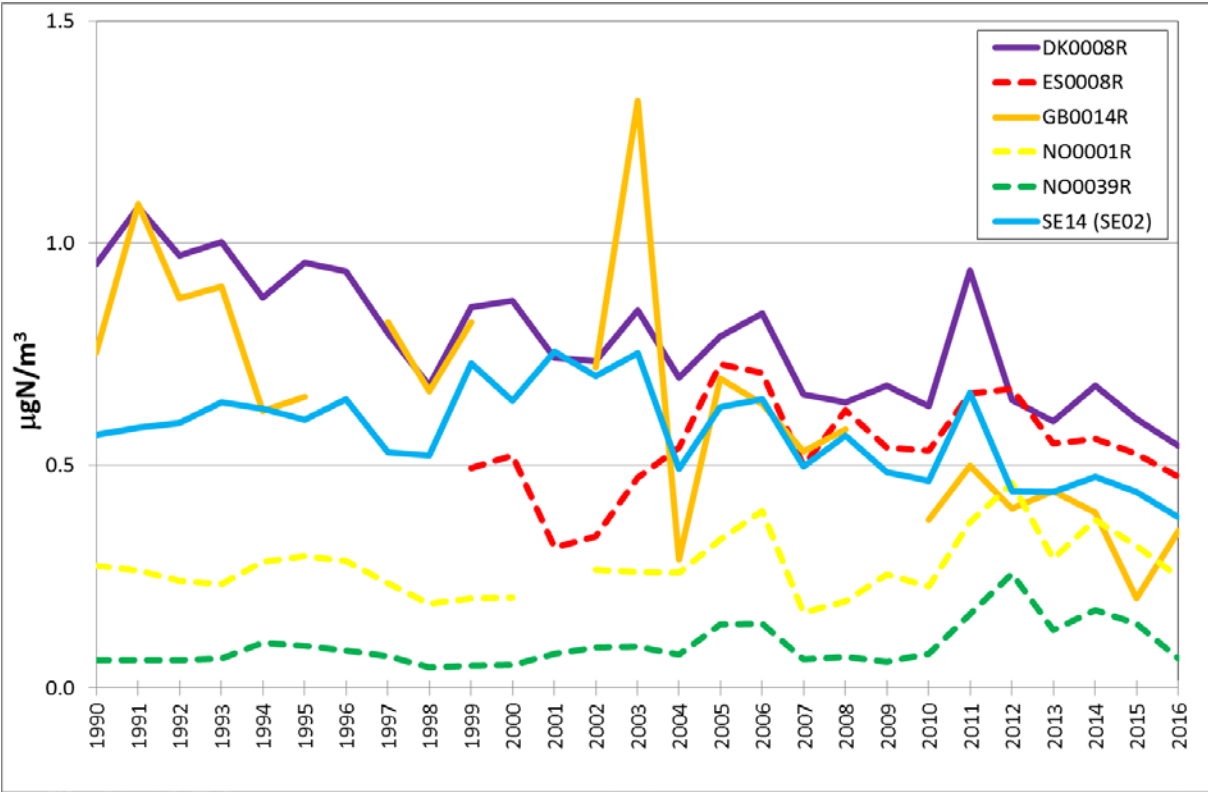


Figure 4.2: Time series of sum of nitrate (HNO_3+NO_3) in air. Solid lines are sites with significant trends while dotted lines are not.

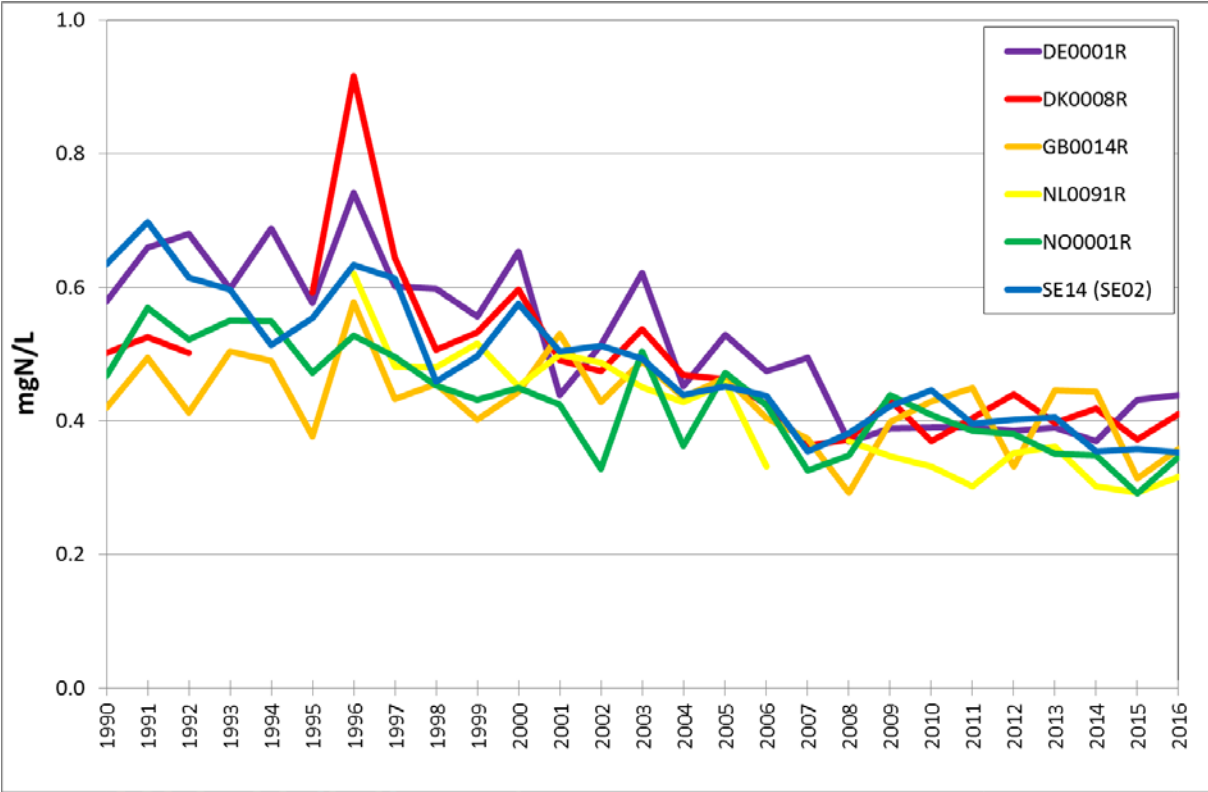


Figure 4.3: Time series of NO_3 in precipitation. All the sites shown have a significant trend

Deposition of air pollutants around the North Sea and the North-East Atlantic in 2016

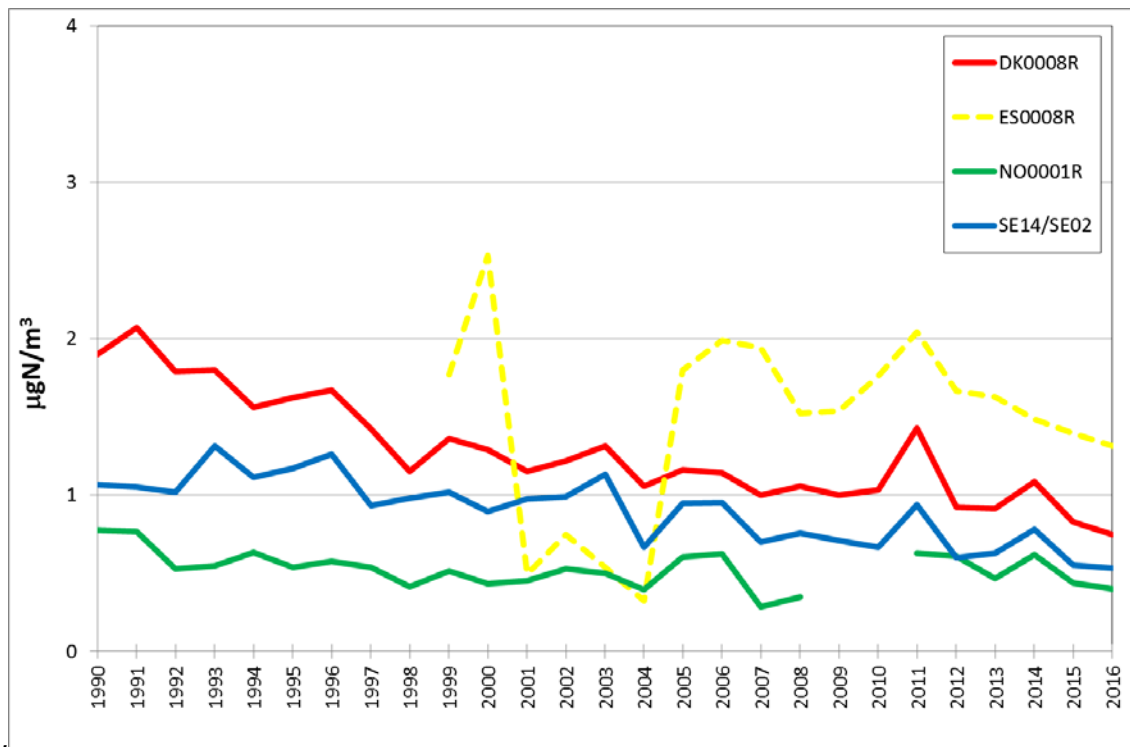


Figure 4.4: Time series of sum of ammonium (NH_3+NH_4) in air. Solid lines are sites with significant trends while dotted lines are not.

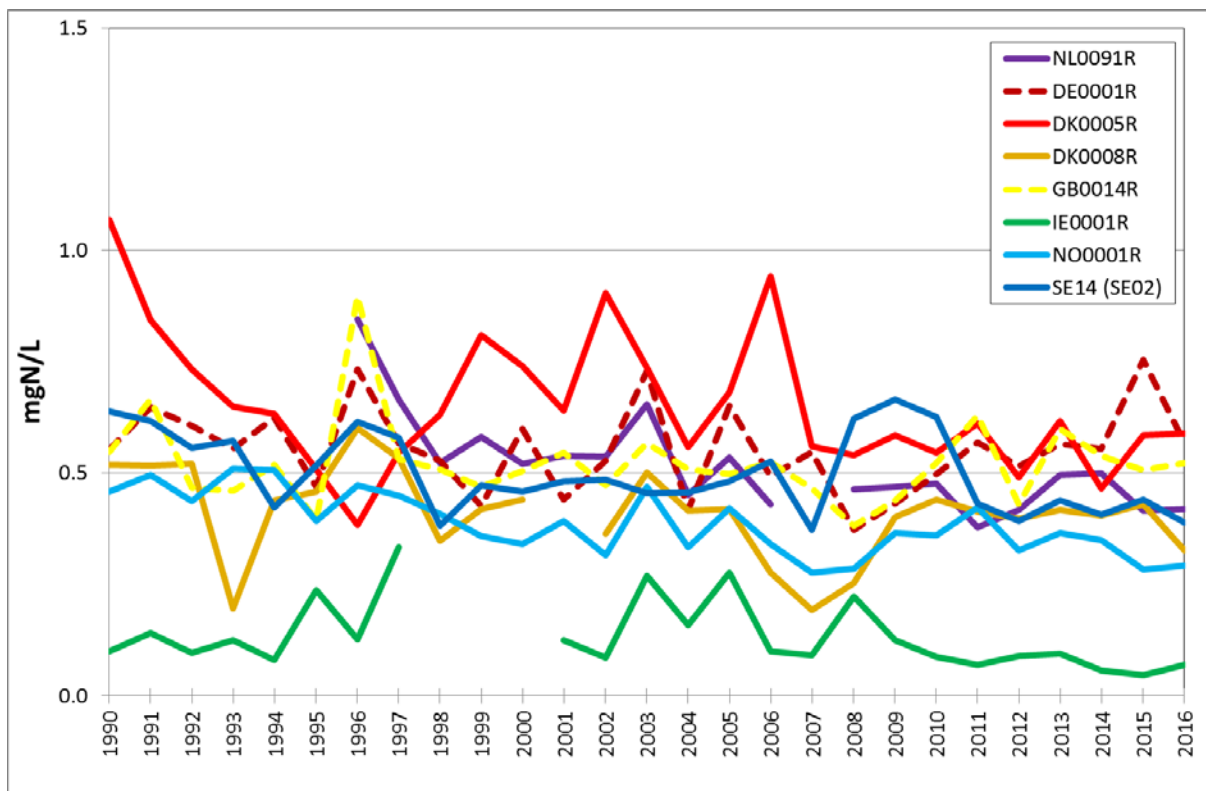


Figure 4.5: Time series of NH_4 in precipitation. Solid lines are sites with significant trends while dotted lines are not.

4.2 Time series in annual mean of heavy metals

When looking at trends in heavy metals, one should keep in mind that the sites with long term monitoring are situated mainly in Northern Europe, and that their average decrease may be different for the OSPAR domain as a whole. Nevertheless, there is a very clear reduction in both lead and cadmium at the CAMP sites since 1990 as well as from 2000 (see Table 4.1 and Figure 4.6-4.9). This is in line with what is reported of emission reduction in Europe (Pacyna et al., 2009).

For mercury, there are only Scandinavian and German sites with long-term measurements, see Figure 4.10. There seems to be a reduction in the concentration in the earlier part of the period, but in the latest decade, the level has not changed significantly. There is some inter-annual variability, but not any clear tendency. This is in line with the fact that the major decline of the European Hg emissions occurred at the end of the 1980s and around 1990 (Pacyna et al., 2009).

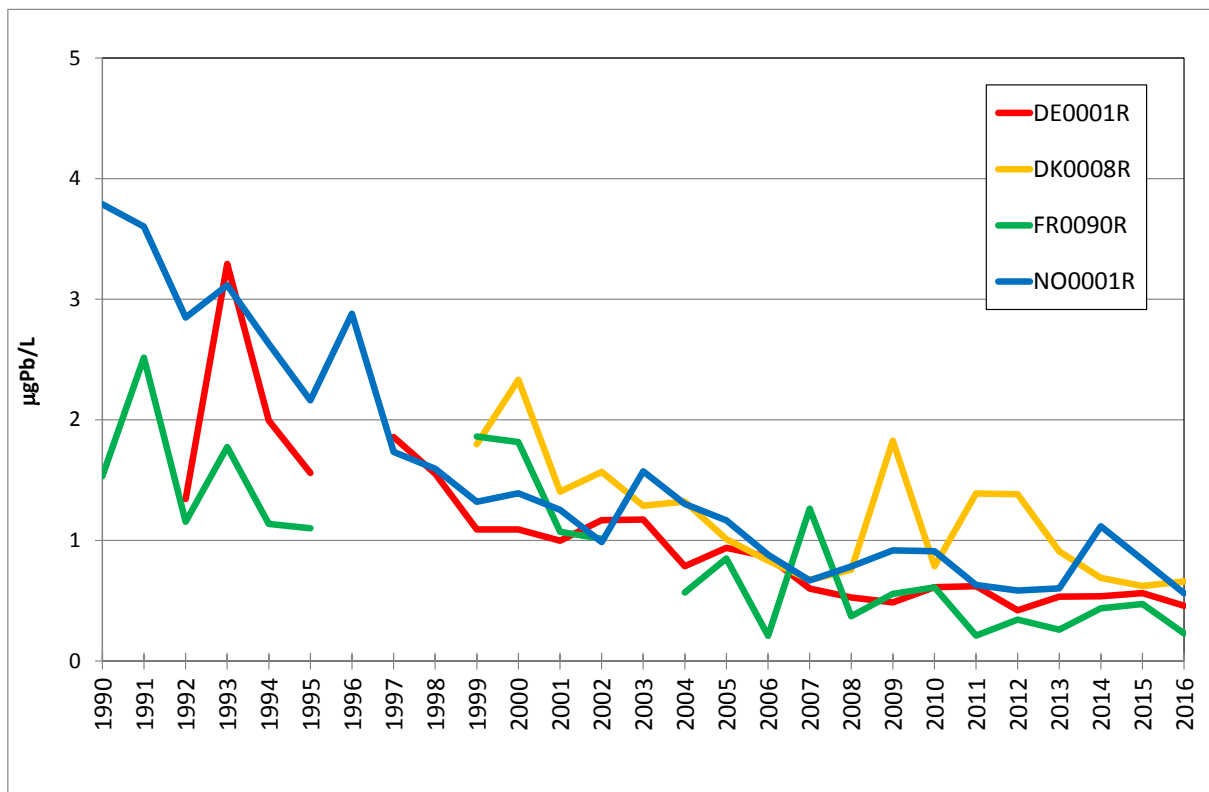


Figure 4.6: Time series of lead in precipitation. All the sites shown have a significant trend

Deposition of air pollutants around the North Sea and the North-East Atlantic in 2016

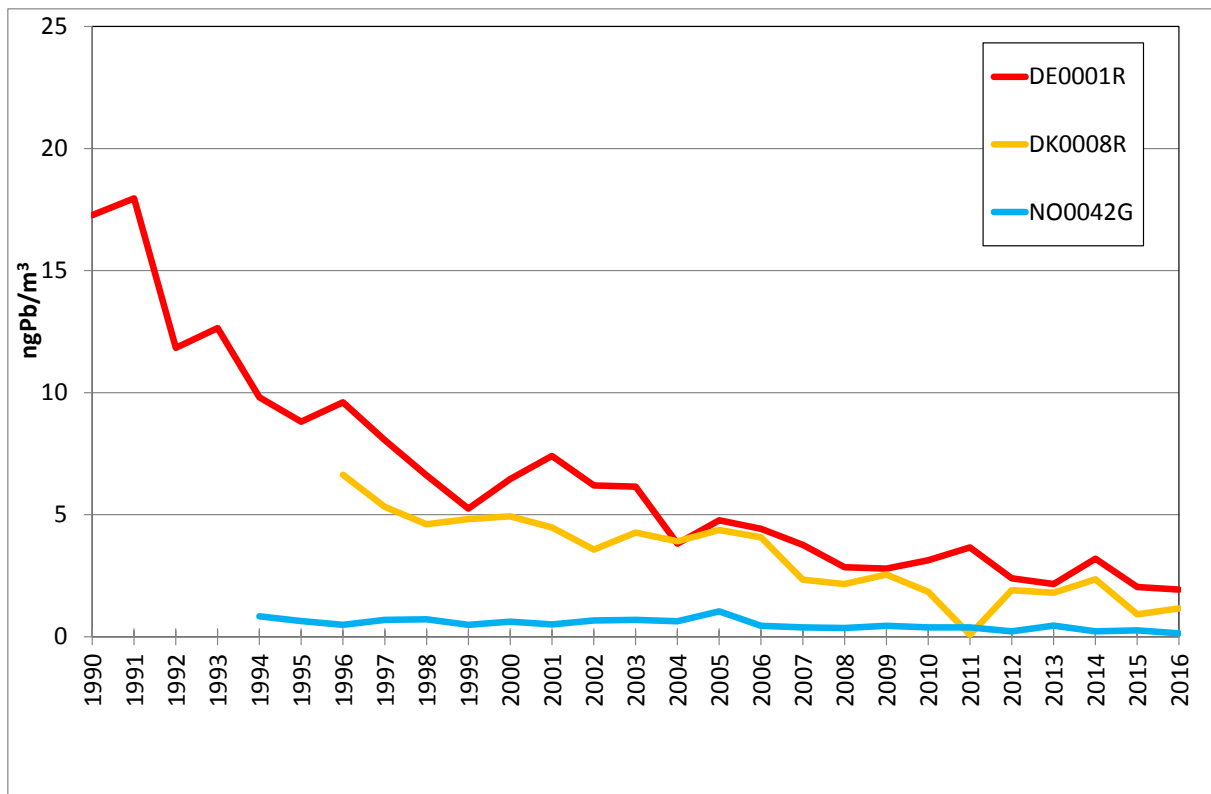


Figure 4.7: Time series of lead in air. All the sites shown have a significant trend

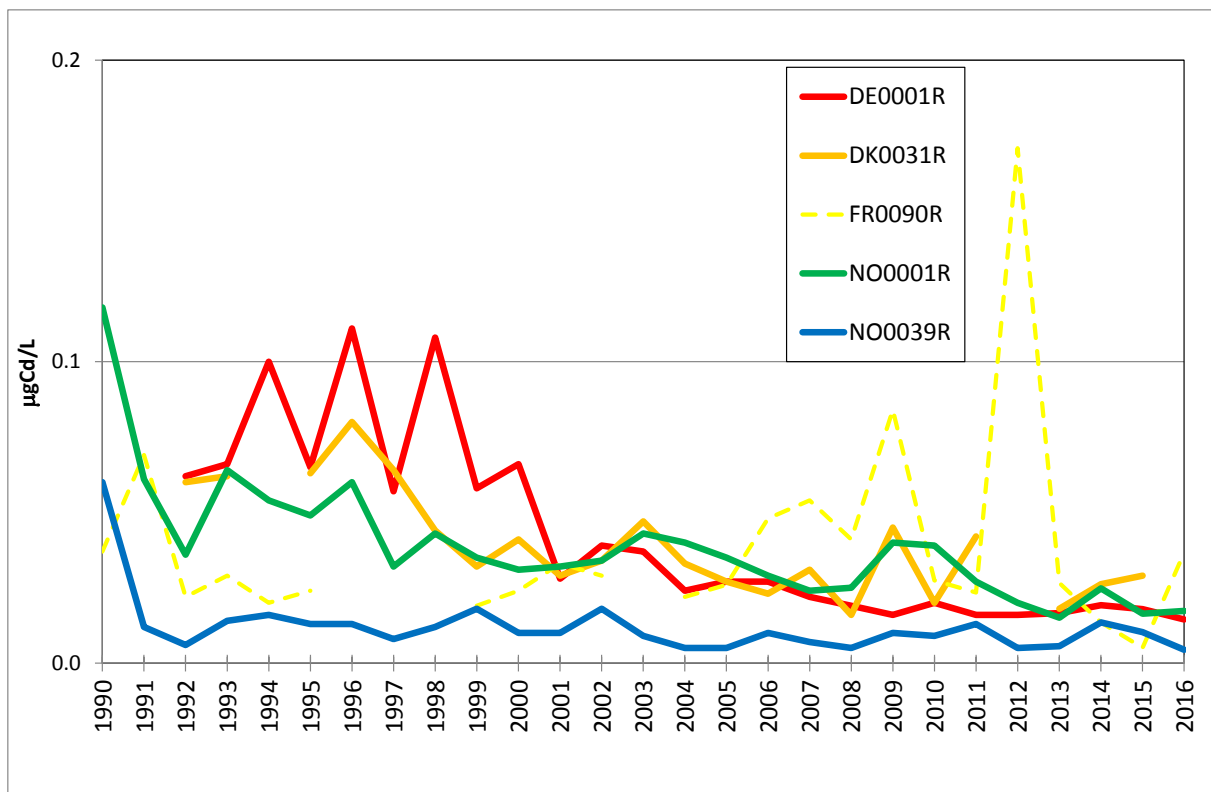


Figure 4.8: Time series of cadmium in precipitation. Solid lines are sites with significant trends while dotted lines are not.

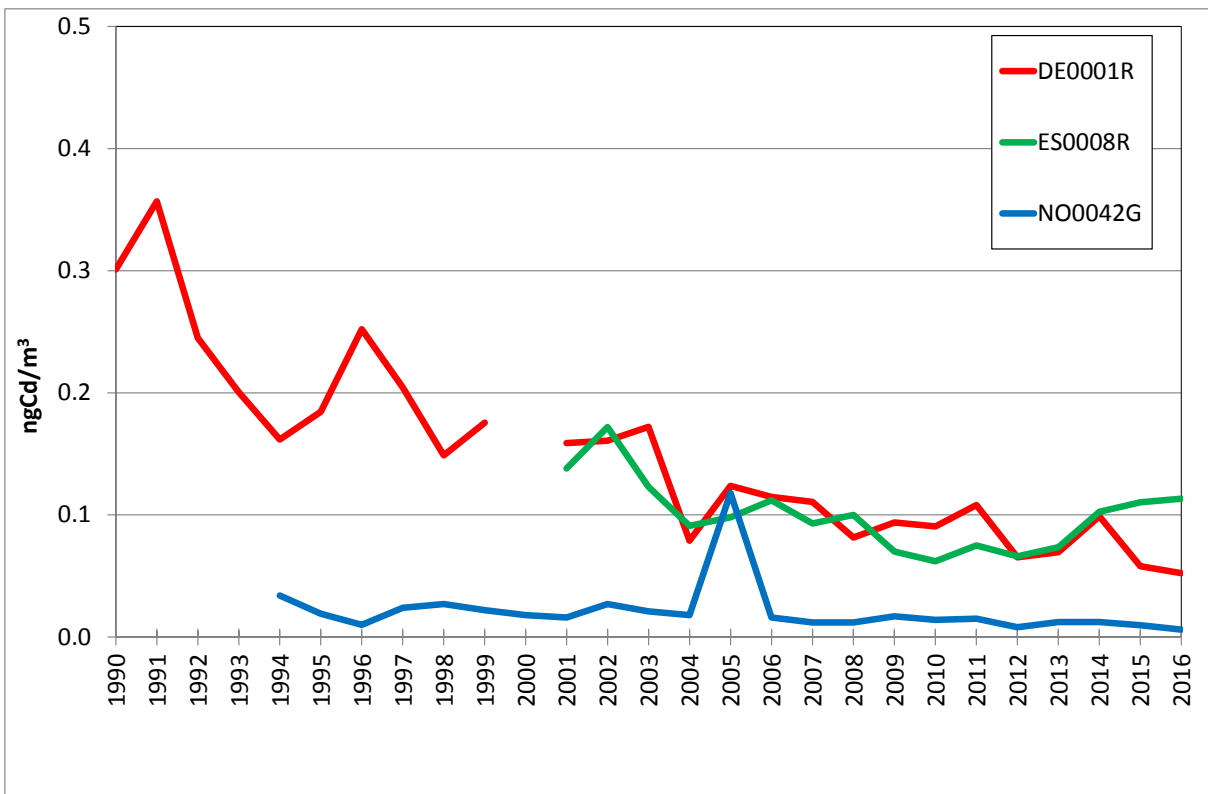


Figure 4.9: Time series of cadmium in air. All the sites shown have a significant trend.

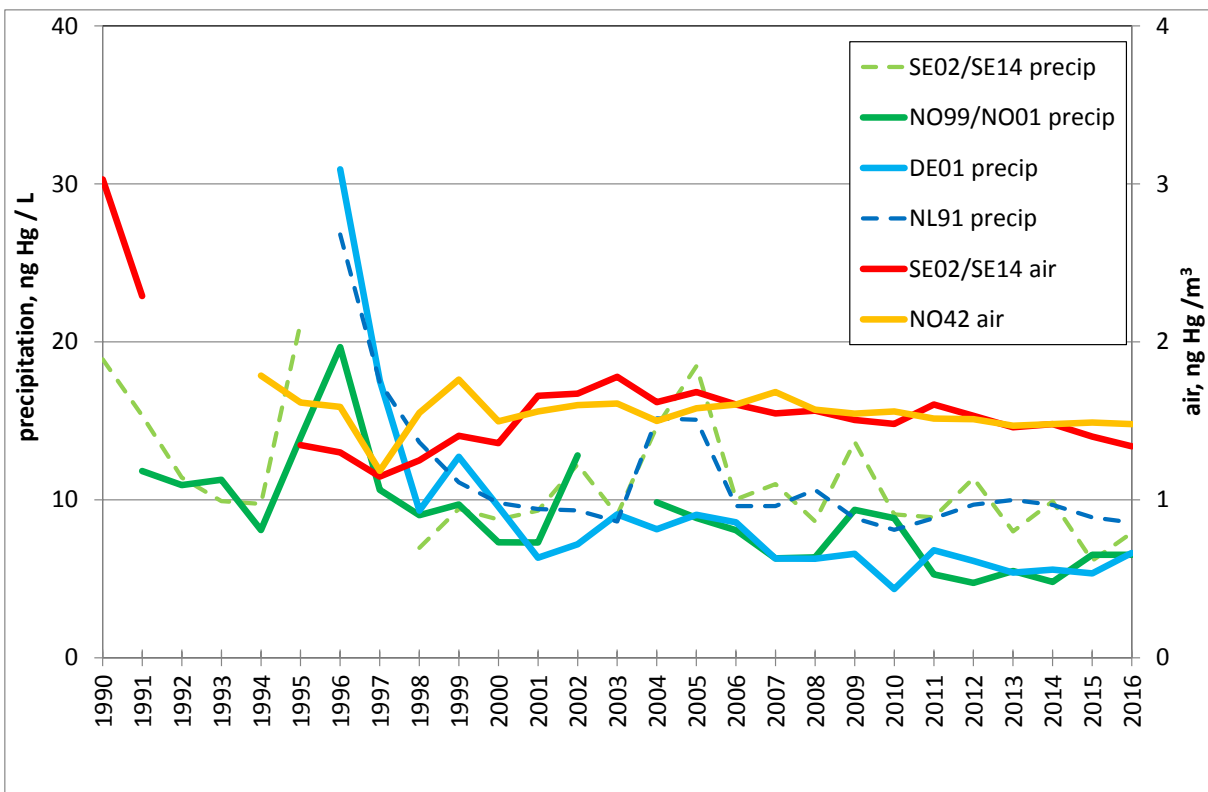


Figure 4.10: Time series of mercury. Solid lines are sites with significant trends while dotted lines are not.

4.3 Time series in annual mean for γ -HCH

For γ -HCH there has been a significant decline at all the sites, which have measured this compound, especially before 2000, see Figure 4.11. For most other POPs, there are few long-term measurements, but it is quite clear that for legacy POPs there is a general reduction in the observed concentration levels (Tørseth et al, 2012).

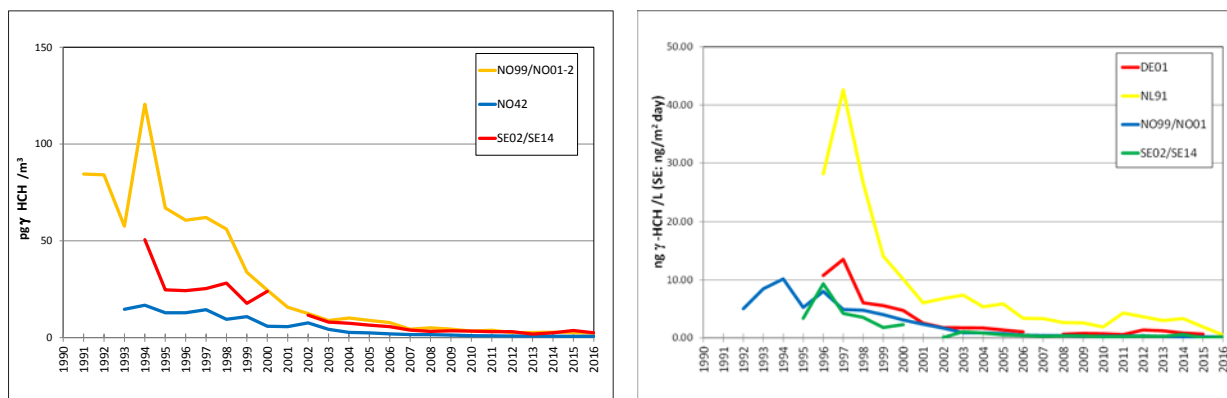


Figure 4.11: Time series of γ -HCH in air (left) and γ -HCH in precipitation (SE02-14 – total deposition).

5 References

Colette, A., Aas, W., Banin, L., Braban, C.F., Ferm, M., González Ortiz, A., Ilyin, I., Mar, K., Pandolfi, M., Putaud, J.-P., Shatalov, V., Solberg, S., Spindler, G., Tarasova, O., Vana, M., Adani, M., Almodovar, P., Berton, E., Bessagnet, B., Bohlin-Nizzetto, P., Boruvkova, J., Breivik, K., Briganti, G., Cappelletti, A., Cuvelier, K., Derwent, R., D'Isidoro, M., Fagerli, H., Funk, C., Garcia Vivanco, M., González Ortiz, A., Haeuber, R., Hueglin, C., Jenkins, S., Kerr, J., de Leeuw, F., Lynch, J., Manders, A., Mircea, M., Pay, M.T., Pritula, D., Putaud, J.-P., Querol, X., Raffort, V., Reiss, I., Roustan, Y., Sauvage, S., Scavo, K., Simpson, D., Smith, R.I., Tang, Y.S., Theobald, M., Tørseth, K., Tsyro, S., van Pul, A., Vidic, S., Wallasch, M., Wind, P. (2016) Air pollution trends in the EMEP region between 1990 and 2012. Joint Report of the EMEP Task Force on Measurements and Modelling (TFMM), Chemical Co-ordinating Centre (CCC), Meteorological Synthesizing Centre-East (MSC-E), Meteorological Synthesizing Centre-West (MSC-W) .EMEP/CCC-Report 1/2016

EU: Directive 2004/107/EC of the European Parliament and of the council of 15 Dec. 2004 relating to arsenic, cadmium, mercury, nickel and polycyclic aromatic hydrocarbons in ambient air, Off. J. Eur. Comm., L23, 26/01/2005, 3-16, 2004.

Fagerli, H. and Aas, W.: Trends of nitrogen in air and precipitation: Model results and observations at EMEP sites in Europe, 1980–2003, Environ. Poll., 154, 3, 448-461, 2008.

Flechard, C.R., Nemitz, E., Smith, R.I., Fowler, D., Vermeulen, A.T., Bleeker, A., Erisman, J.W., Simpson, D., Zhang, L., Tang, Y.S., and Sutton, M.A.: Dry deposition of reactive nitrogen to European ecosystems: a comparison of inferential models across the NitroEurope network, Atmos. Chem. Phys., 11, 2703-2728, doi:10.5194/acp-11-2703-2011, 2011.

Gilbert, R.O.: Statistical methods for environmental pollution monitoring, New York, Van Nostrand Reinhold, 1987.

Larsson, P.: Contaminated sediments of lakes and oceans act as sources of chlorinated hydrocarbons for release to water and atmosphere, Nature, 317, 347-349, 1985.

Monks, P.S., Granier, C., Fuzzi, S., Stohl, A., Williams, M.L., Akimoto, H., Amann, M., Baklanov, A., Baltensperger, U., Bey, I., Blake, N., Blake, R.S., Carslaw, K., Cooper, O.R., Dentener, F., Fowler, D., Fragkou, E., Frost, G.J., Generoso, S., Ginoux, P., Grewe, V., Guenther, A., Hansson, H.C., Henne, S., Hjorth, J., Hofzumahaus, A., Huntrieser, H., Isaksen, I.S.A., Jenkin, M.E., Kaiser, J., Kanakidou, M., Klimont, Z., Kulmala, M., Laj, P., Lawrence, M.G., Lee, J.D., Liousse, C., Maione, M., McFiggans, G., Metzger, A., Mieville, A., Moussiopoulos, N., Orlando, J.J., O'Dowd, C.D., Palmer, P.I., Parrish, D.D., Petzold, A., Platt, U., Pöschl, U.,

- Prévôt, A.S.H., Reeves, C.E., Reimann, S., Rudich, Y., Sellegri, K., Steinbrecher, R., Simpson, D., ten Brink, H., Theloke, J., van der Werf, G.R., Vautard, R., Vestreng, V., Vlachokostas, Ch., and von Glasow, R.: Atmospheric composition change – global and regional air quality, *Atmos. Environ.*, 43, 5268-5350, 2009.
- Nizzetto, L., Macleod, M., Borga, K., Cabrerizo, A., Dachs, J., Di Guardo, A., Ghirardello, D., Hansen, K.M., Jarvis, A., Lindroth, A., Ludwig, B., Monteith, D., Perlinger, J.A., Scheringer, M., Schwendenmann, L., Semple, K.T., Wick, L.Y., Zhang, G., and Jones, K.C.: Past, present, and future controls on levels of persistent organic pollutants in the global environment, *Environ. Sci. Technol.*, 44, 6526-6531, 2010.
- Pacyna, E.G., Pacyna, J.M., Fudala, J., Strzelecka-Jastrzab, E., Hlawiczka, S., Panasiuk, D., Nitter, S., Pregger, T., Pfeiffer, H., and Friedrich, R.: Current and future emissions of selected heavy metals to the atmosphere from anthropogenic sources in Europe, *Atmos. Environ.*, 41, 8557–8566, 2007.
- Pacyna, J.M., Pacyna, E.G., and Aas, W.: Changes of emissions and atmospheric deposition of mercury, lead, and cadmium, *Atmos. Environ.*, 43, 117-127, 2009.
- Skiba, U., Drewer, J., Tang, Y.S., van Dijk, N., Helfter, C., Nemitz, E., Famulari, D., Cape, J.N., Jones, S.K., Twigg, M., Pihlatie, M., Vesala, T., Larsen, K.S., Carter, M.S., Ambus, P., Ibrom, A., Beier, C., Hensen, A., Frumau, A., Erismann, J.W., Brüggemann, N., Gasche, R., Butterbach-Bahl, K., Neftel, A., Spirig, C., Horvath, L., Freibauer, A., Cellier, P., Lavoie, P., Loubet, B., Magliulo, E., Bertolini, T., Seufert, G., Andersson, M., Manca, G., Laurila, T., Aurela, M., Lohila, A., Zechmeister-Boltenstern, S., Kitzler, B., Schaufler, G., Siemens, J., Kindler, R., Flechard, C., and Sutton, M.A.: Biosphere–atmosphere exchange of reactive nitrogen and greenhouse gases at the NitroEurope core flux measurement sites: Measurement strategy and first data sets, *Agric. Ecosyst. Environ.*, 133, 139-149, 2009.
- Sutton, M.S., Howard, C-M., Erismann, J.W. Billen, G., Bleeker A., Grennfelt, P., van Grinsven, H., Grizzetti, B. (Eds.): *The European nitrogen assessment - sources, effects and policy perspectives*. Cambridge Univ. Press, Cambridge, 2011
- Tørseth K., Aas, W., Breivik, K., Fjæraa, A. M., Fiebig M., Hjellbrekke A. G., Lund Myhre, C., Solberg, S. and Yttri K. E. (2012). Introduction to the European Monitoring and Evaluation Programme (EMEP) and observed atmospheric composition change during 1972–2009. *Atmos. Chem. Phys.*, 12, 5447-5481, doi:10.5194/acp-12-5447-2012, 2012
- UNECE: EMEP monitoring strategy for 2010-1010, United Nations Economic Commissions for Europe, Geneva, ECE/EB.AIR/GE.1/2009/15, <http://www.unece.org/env/documents/2009/EB/ge1/ece.eb.air.ge.1.2009.15.e.pdf> , 2009.
- Vestreng, V., Ntziachristos, L., Semb, A., Reis, S., Isaksen, I.S.A., and Tarrasón, L.: Evolution of NO_x emissions in Europe with focus on road transport control measures, *Atmos. Chem. Phys.*, 9, 1503-1520, 2009.
- Wania, F.: On the origin of elevated levels of persistent chemicals in the environment, *Environ. Sci. Pollut. Res.*, 6, 11-19, 1999.

Annex 1

Monitoring stations reporting to CAMP in 2016

Table A.1.1: Details of locations of monitoring stations with coordinates and corresponding OSPAR region. Sites which also report data to EMEP are indicated.

Country	Station number	Station name	OSPAR Region	EMEP site	Lat.	Long.	masl
Iceland	IS0002R	Irafoss	I		64° 05' N	21° 01' E	66 m
	IS0091R	Storhofdi	I		63° 24' N	20° 17' W	118 m
Norway	NO0001R	Birkenes	II	X	58° 23' N	8° 15' E	190 m
	NO0039R	Kårvatn	I	X	62° 47' N	8° 53' E	210 m
	NO0042G	Zeppelin	I	X	78°54' N	11°53' E	475 m
	NO0090R	Andøya	I	X	69°16' N	16°0' E	380 m
	NO0554R	Haukeland	II		60°49' N	5°35' E	190 m
	NO0572R	Vikedal	II		59°32' N	5°58' E	60 m
	NO0655R	Nausta	II		61°35' N	5°54' E	230 m
Belgium	BE0014R	Koksijde	II	X	51°7' N	2°39' E	7 m
	BE0011R	Moerkerke	II	X	51°15''N	3°21''E	3 m
	BE0013R	Houtem	II	X	51°1''N	2°35''E	2 m
Netherlands	NL0009R	Kollumerwaard	II	X	53° 20' N	6° 16' E	1 m
	NL0091R	De Zilk	II	X	52° 18' N	4° 30' E	4 m
Germany	DE0001R	Westerland	II	X	54° 56' N	8 ° 19' E	12 m
Denmark	DK0003R	Tange	II	X	56°21'N	9°36'E	13 m
	DK0005R	Keldsnor	II	X	54°44'N	10°44'E	19 m
	DK0008R	Anholt	II	X	56°43'N	11°31'E	40 m
	DK0012R	Risø	II	X	55°41'N	12°05'E	3 m
	DK0022R	Sepstrup Sande	II	X	55°5'N	9°36'E	60 m
Sweden	SE0014R	Råö	II	X	57°24' N	11°55' E	5 m
United Kingdom	GB0006R	Lough Navar	III	X	54°26' N	7°54' W	126 m
	GB0013R	Yarner Wood	II	X	50°36' N	3°43' W	119 m
	GB0014R	High Muffles	II	X	54°20' N	0°48' W	267 m
	GB0015R	Strath Vaich Dam	II	X	57°44' N	4°46' W	270 m
	GB0017R	Heigham Holmes	II	X	52°43' N	01°37' E	-
	GB0048R	Auchencorth Moss	II	X	55°47' N	3°14' W	260 m
	GB0054R	Glen Saugh	II		56°54' N	02°33' W	85 m
Ireland	IE0001R	Valentia Observ.	III	X	51°56' N	10°15' W	11 m
France	FR0090R	Porspoder	II		48°31' N	4°45' W	50 m
Portugal	PT0006R	Alfragide	IV		38°44' N	9°12' W	109 m
	PT0004R	Monte Velho	IV		38°05' N	8°48' W	43 m
Spain	ES0005R	Noya	IV	X	42°44' N	8°55' W	683 m
	ES0008R	Niembro	IV	X	43°27' N	4°51' W	134 m
	ES0017R	Doñana	IV	X	37°2' N	6°20' W	5 m

Table A.1.2: Responsible CAMP institutes and contact persons.

Country	Institute	Data reporter
Country	Institute	Data reporter
Belgium	Flemish Environment Agency	Elke Adriaenssens
Denmark	Department of Environmental Science, Aarhus University	Thomas Ellermann, Rune Keller
France	Université de Bretagne	Matthieu Waeles
Germany	Umweltbundesamt, Langen	Elke Bieber
Great Britain	AEA Technology and	Keith Vincent
	Centre for Ecology and Hydrology (CEH), Edinburgh	David S. Leaver
Iceland	The Icelandic Meteorological Office	Arni Sigurdsson
Ireland	Environmental Protection Agency	Micheál O'Dwyer
Netherlands	National Institute for Public Health and Environmental Protection (RIVM)	Rob Zwartjes, Hans Berkhout
Norway	Norwegian Institute for Air Research (NILU)	Marit Vadset, Wenche Aas
Portugal	The Portugese Air Quality reference Laboratory	João Matos, Susana Casimiro
Spain	Ministerio de Agricultura y Pesca, Alimentación y Medio Ambiente	Irene Olivares Bendicho, Jorge Ureta Maesu
Sweden	IVL Swedish Environmental Research Institute	Karin Sjöberg, Ingvar Wängberg

Annex 2

Monthly and annual means of reported components.

Deposition of air pollutants around the North Sea and the North-East Atlantic in 2016

Table A.2.1 : Nitrate and ammonium concentrations in precipitation, 2016

Code	Comp	Unit	Jan		Febr		March		April		May		June		July		August		Sept.		Oct.		Nov.		Dec.		2016	
			conc	capt	conc	capt	conc	capt	conc	capt	conc	capt	conc	capt	conc	capt	conc	capt	conc	capt	conc	capt	conc	capt	conc	capt	conc	capt
BE0014R	ammonium	mgN/L	0,2858	100	0,3764	100	0,5827	98	0,7758	100	0,8607	100	0,438	100	0,3646	100	0,4009	100	0,344	100	0,2408	100	0,3063	100	0,6205	100	0,43	100
DE0001R	ammonium	mgN/L	0,457	100	0,4506	100	0,9383	100	1,0756	100	0,8764	100	0,4723	100	0,5231	100	0,482	100	0,6046	100	0,6612	100	0,351	100	0,4766	86	0,57	99
DK0005R	ammonium	mgN/L	0,4061	100	0,2618	100	1,4231	100	0,8037	100	0,6957	100	0,5062	100	0,882	100	0,7002	35	0,357	76	0,4759	100	0,4295	100	0,5398	100	0,59	92
DK0008R	ammonium	mgN/L	0,4199	100	0,2875	100	0,4592	100	1,0276	100	0,373	26	0,114	100	0,122	100	0,286	100	0,526	100	0,3021	100	0,2836	100	0,2111	100	0,33	97
DK0012R	ammonium	mgN/L	0,4218	100	0,3748	100	0,7599	100	0,7561	100	0,8646	98	-	-	-	-	0,6989	100	0,177	100	0,28	100	0,378	100	-	-	0,51	69
DK0022R	ammonium	mgN/L	0,3434	100	0,2695	100	0,844	100	0,6075	100	1,267	100	0,5357	100	1,2308	100	0,3848	100	0,3146	100	0,5336	100	0,2578	100	0,2531	100	0,50	100
ES0005R	ammonium	mgN/L	0,0372	100	0,033	100	0,0556	100	0,0818	100	0,3455	100	0,3092	100	0,25	100	0,9	100	0,1023	99	0,2029	91	0,0974	99	0,0569	100	0,09	99
ES0008R	ammonium	mgN/L	0,1226	100	0,2205	100	0,2585	100	0,1951	100	0,3795	100	0,4759	100	0,4056	100	0,4102	100	0,2487	100	0,1973	100	0,085	100	0,4001	100	0,23	100
ES0017R	ammonium	mgN/L	0,0297	96	0,1507	100	0,2975	89	0,1221	100	0,2499	100	-	-	-	-	-	-	0,05	100	0,0279	99	0,0695	99	0,1716	100	0,12	99
GB0006R	ammonium	mgN/L	0,0895	100	0,0536	100	0,1633	100	0,163	100	0,6628	100	0,4061	100	0,09	100	0,2473	100	0,1249	100	0,2596	100	0,1407	100	0,2171	100	0,20	100
GB0013R	ammonium	mgN/L	0,0665	100	0,0554	92	0,2381	78	0,4017	100	0,5359	100	0,7614	100	0,1812	100	0,0862	89	0,078	16	0,6961	56	0,1394	99	0,885	10	0,18	86
GB0014R	ammonium	mgN/L	0,402	100	0,5077	100	0,5341	100	0,6906	81	0,605	89	0,6362	93	0,9368	36	0,5507	100	0,5241	100	0,4482	100	0,3131	100	0,8765	100	0,52	93
GB0015R	ammonium	mgN/L	0,0064	100	0,0025	100	0,0602	100	0,0141	100	0,0447	100	0,2377	100	0,1146	100	0,0289	100	0,039	100	0,1621	100	0,1006	100	0,1172	100	0,06	100
GB0048R	ammonium	mgN/L	0,0936	100	0,0651	100	0,2552	100	0,5304	100	0,4535	100	0,3839	100	0,3242	100	0,2593	100	0,4006	99	0,4173	100	0,1611	100	0,1762	100	0,25	100
GB0054R	ammonium	mgN/L	0,21	100	0,1675	100	0,5059	100	0,5014	100	0,3545	100	0,7722	100	0,5575	100	0,4047	100	0,6214	100	0,3025	100	0,1672	100	0,4913	100	0,40	100
IE0001R	ammonium	mgN/L	0,04	100	0,06	100	0,06	100	0,08	100	0,09	100	0,09	100	0,38	100	0,05	100	0,05	100	0,02	100	0,05	100	0,05	100	0,07	100
IS0091R	ammonium	mgN/L	2,63	100	2,6993	100	0,29	100	0,48	100	0,3296	100	0,2699	100	0,7177	100	1,1759	100	0,2968	100	-	-	0,05	100	0,2668	100	0,78	100
NL0091R	ammonium	mgN/L	0,2767	99	0,4224	87	0,4508	97	0,6046	99	0,5678	99	0,3966	99	0,2459	90	0,7061	96	0,3519	97	0,2184	98	0,3719	99	0,6774	90	0,42	97
NO0001R	ammonium	mgN/L	0,1583	100	0,3879	100	0,6345	100	0,4277	100	0,4365	98	0,1451	100	0,0959	99	0,1279	99	0,8103	98	0,3073	99	0,1046	100	0,3659	99	0,29	99
NO0039R	ammonium	mgN/L	0,0396	100	0,0904	100	0,2463	60	0,1247	100	0,2986	100	0,3387	98	0,139	98	0,057	100	0,1664	97	0,0355	100	0,0696	100	0,0756	99	0,11	96
NO0554R	ammonium	mgN/L	0,1637	100	0,108	100	0,2912	100	0,1874	100	0,061	100	0,0326	100	0,045	100	0,0147	100	0,0535	100	0,0249	100	0,0498	100	0,2076	100	0,11	100
NO0572R	ammonium	mgN/L	0,2098	100	0,1962	100	0,8049	100	0,4839	100	0,3345	100	0,1372	100	0,153	100	0,2297	100	0,1234	100	0,1887	100	0,1402	100	0,3246	100	0,25	100
NO0655R	ammonium	mgN/L	0,2564	100	0,07	100	0,44	100	0,3326	100	0,4357	70	0,1045	100	0,0563	85	0,0457	100	0,0816	100	-	-	0,16	100	0,1214	100	0,15	96
PT0004R	ammonium	mgN/L	0,1065	100	0,1013	100	0,101	97	0,1419	100	0,249	86	-	-	-	-	-	-	-	0,1116	100	0,1021	100	0,101	100	0,12	98	
PT0006R	ammonium	mgN/L	0,1255	100	0,1559	100	0,1898	100	0,101	100	0,101	100	-	-	-	-	-	-	0,101	99	0,1365	100	0,1028	100	0,101	100	0,12	100
SE0014R	ammonium	mgN/L	0,4184	99	0,3802	98	0,5852	100	0,6614	99	1,1393	100	0,4288	97	0,2013	97	0,1851	99	0,4111	99	0,0922	97	0,1929	100	0,2402	99	0,39	99
BE0014R	nitrate	mgN/L	0,1722	100	0,3179	100	0,326	98	0,3839	100	0,4566	100	0,2547	100	0,2118	100	0,2233	100	0,2273	100	0,2464	100	0,2272	100	0,3267	100	0,27	100
DE0001R	nitrate	mgN/L	0,5086	100	0,3394	100	0,5979	100	0,7423	100	0,4565	100	0,2767	100	0,3958	100	0,2978	100	0,4884	100	0,5301	100	0,3502	100	0,6146	86	0,44	99
DK0005R	nitrate	mgN/L	0,5398	100	0,206	100	0,7439	100	0,4755	100	0,2829	100	0,3264	100	0,4067	100	0,3906	35	0,248	76	0,5315	100	0,674	100	0,4289	100	0,44	92
DK0008R	nitrate	mgN/L	0,7143	100	0,3549	100	0,4087	100	0,887	100	0,7364	100	0,182	100	0,1888	100	0,238	100	0,3894	100	0,443	100	0,4544	97	0,147	42	0,41	97
DK0012R	nitrate	mgN/L	0,5461	100	0,3107	100	0,528	100	0,6033	100	0,5832	98	0,3597	92	0,3261	100	0,3849	100	0,1829	100	0,3589	100	0,4622	100	0,446	86	0,41	99
DK0022R	nitrate	mgN/L	0,4714	100	0,2054	100	0,5587	100	0,3995	100	0,6459	100	0,3534	100	0,831	84	0,3433	74	0,3464	100	0,3528	100	0,3522	100	0,2308	100	0,39	97
ES0005R	nitrate	mgN/L	0,0761	100	0,0599	100	0,1093	100	0,0869	100	0,1951	100	0,1215	100	1,98	100	1,24	100	0,0666	99	0,0757	91	0,0899	100	0,1548	100	0,09	99
ES0008R	nitrate	mgN/L	0,6709	100	0,2645	100	0,2457	100	0,2	100	0,3893	100	3,72	100	0,5862	100	0,4386	100	0,3346	100	0,415	100	0,2133	100	1,1175	100	0,54	100
ES0017R	nitrate	mgN/L	0,0907	99	0,1274	100	0,2088	98	0,1122	100	0,0897	100	-	-	-	-	-	-	0,09	100	0	99	0,0742	99	0,2061	100	0,11	99
GB0006R	nitrate	mgN/L	0,0718	100	0,0492	100	0,0558	100	0,0421	100	0,3714	100	0,1077	100	0,0534	100	0,1171	100	0,056	100	0,1127	100	0,0351	100	0,0714	100	0,09	100
GB0013R	nitrate	mgN/L	0,0951	100	0,1182	92	0,0919	78	0,202	100	0,3206	100	0,5693	100	0,1804	100	0,0846	89	0,089	16	0,5912	56	0,0724	99	0,85	10	0,15	86
GB0014R	nitrate	mgN/L	0,3726	100	0,4248	100	0,3443	100	0,383	81	0,251	89	0,445	93	0,3143	36	0,2806	100	0,4907	100	0,3421	100	0,2223	100	0,5491	100	0,36	93
GB0015R	nitrate	mgN/L	0,047	100	0,0131	100	0,0649	100	0,0852	100	0,1015	100	0,1304	100	0,0558	100	0,0577	100	0,0662	100	0,1173	100	0,126	100	0,05	100	0,07	100
GB0048R	nitrate	mgN/L	0,1011	100	0,0425	100	0,1242	100	0,3255	100	0,1903	100	0,6755	100	0,1351	100	0,0974	100	0,1451	99	0,2158	100	0,0669	100	0,0799	100	0,17	100
GB0054R	nitrate	mgN/L	0,2853	100	0,1498	100	0,271	100	0,3576	100	0,2265	100	0,3246	100	0,1917	100	0,222	100	0,6274	100	0,1803	100	0,1276	100	0,5434	100	0,26	100
IE0001R	nitrate	mgN/L	0,03	100	0,06	100	0,02	100	0,06	100	0,09	100	0,08	100	0,03	100	0,03	100	0,02	100	0,05	100	0,03	100	0,08	100	0,05	100
IS0002R	nitrate	mgN/L	0,0427	100	0,0508	100	0,2309	96	0,1785	100	1,3448	58	0,8042	91	0,3113	100	0,2106	100	0,0572	100	0,159	98	0,1004	92	0,2091	98	0,19	96
IS0091R	nitrate	mgN/L	0,12	100	0,0606	100	0,05	100	0,08	100	0,2554	100	0,1813	100	0,2127	100	0,2029	100	0,1037	100	-	-	0,03	100	0,2066	100	0,11	100
NL0091R	nitrate	mgN/L	0,2264	100	0,3761	90	0,2875	98	0,3588	99	0,3872	99	0,2802	99	0													

Code	Comp	Unit	Jan		Febr		March		April		May		June		July		August		Sept.		Oct.		Nov.		Dec.		2016	
			conc	capt	conc	capt	conc	capt	conc	capt	conc	capt	conc	capt	conc	capt	conc	capt	conc	capt	conc	capt	conc	capt	conc	capt	conc	capt
NO001R	nitrate	mgN/L	0,2887	100	0,3688	100	0,4137	100	0,432	100	0,3936	99	0,37	100	0,1737	99	0,1517	99	0,9835	98	0,495	99	0,2197	100	0,4155	99	0,35	99
NO0039R	nitrate	mgN/L	0,0356	100	0,0331	100	0,1794	60	0,1407	100	0,413	100	1,1996	100	0,091	100	0,0538	100	0,0903	100	0,0461	100	0,0323	100	0,0286	100	0,10	97
NO0554R	nitrate	mgN/L	0,1069	100	0,0729	100	0,197	100	0,1478	100	0,0933	100	0,1164	100	0,0599	100	0,0173	100	0,0958	100	0,0178	100	0,0694	100	0,0818	100	0,08	100
NO0572R	nitrate	mgN/L	0,1636	100	0,1315	100	0,4355	100	0,3492	100	0,2632	100	0,1553	100	0,1024	100	0,1753	100	0,1495	100	0,1871	100	0,134	100	0,1657	100	0,18	100
NO0655R	nitrate	mgN/L	0,0751	100	0,0587	100	0,37	100	0,1214	100	0,2539	70	0,1548	100	0,0667	85	0,0444	100	0,0869	100	-	-	0,08	100	0,0646	100	0,09	96
PT0004R	nitrate	mgN/L	0,1857	100	0,2941	100	0,1797	97	0,1406	100	0,213	86	-	-	-	-	-	-	-	-	0,1642	100	0,1249	100	0,122	100	0,17	98
PT0006R	nitrate	mgN/L	0,1648	100	0,1322	100	0,2014	100	0,1158	100	0,1133	100	-	-	-	-	-	-	0,2176	99	0,1645	100	0,1162	100	0,1551	100	0,14	100
SE0014R	nitrate	mgN/L	0,5927	99	0,3649	98	0,4441	100	0,4949	99	0,6454	100	0,2886	97	0,144	97	0,113	99	0,3781	99	0,1856	97	0,3794	100	0,2875	99	0,35	99
BE0014R	precipitation_amount	mm'	87	100	91	100	41	100	54	100	53	100	97	100	43	100	41	100	37	100	56	100	121	100	17	100	739	100
DE0001R	precipitation_amount	mm'	51	100	40	100	28	100	50	100	22	100	78	100	53	100	58	100	39	100	31	100	89	100	43	100	583	100
DK0005R	precipitation_amount	mm'	55	96	34	100	26	100	29	100	21	100	52	100	56	100	37	100	58	100	60	100	32	100	17	94	477	99
DK0008R	precipitation_amount	mm'	40	96	30	100	54	94	15	56	16	94	7	6	62	100	54	100	12	100	54	100	58	100	22	94	423	87
DK0012R	precipitation_amount	mm'	32	96	41	100	37	100	50	100	27	100	56	100	101	100	44	100	30	100	66	100	40	100	8	94	530	99
DK0022R	precipitation_amount	mm'	79	96	78	100	40	100	104	100	50	100	83	94	19	57	90	100	29	100	82	100	100	100	50	94	804	95
ES0005R	precipitation_amount	mm'	476	100	374	100	212	100	231	100	157	100	33	100	2	100	2	100	99	100	106	100	174	100	48	98	1915	100
ES0008R	precipitation_amount	mm'	122	100	191	100	203	100	99	100	55	100	63	100	37	100	28	100	60	100	37	100	175	100	17	98	1089	100
ES0017R	precipitation_amount	mm'	68	100	51	100	19	100	72	100	87	100	0	100	0	100	1	100	10	100	69	100	103	100	38	98	517	100
GB0006R	precipitation_amount	mm'	175	100	158	100	95	100	44	100	68	100	125	100	100	100	129	100	108	100	69	100	109	100	94	100	1272	100
GB0013R	precipitation_amount	mm'	243	100	150	100	65	100	47	100	35	100	19	100	13	100	24	100	61	100	43	100	109	100	17	100	827	100
GB0014R	precipitation_amount	mm'	143	100	80	100	77	100	83	100	46	100	59	100	54	100	78	100	50	100	69	100	107	100	38	100	882	100
GB0015R	precipitation_amount	mm'	188	100	163	100	77	100	51	100	99	100	43	100	99	100	75	100	73	100	40	100	75	100	53	100	1034	100
GB0048R	precipitation_amount	mm'	135	100	84	100	38	100	61	100	31	100	62	100	78	100	64	100	52	100	24	100	82	100	63	100	773	100
GB0054R	precipitation_amount	mm'	178	100	69	100	66	100	72	100	69	100	137	100	72	100	48	98	17	55	141	100	75	75	39	79	983	92
IE0001R	precipitation_amount	mm'	292	100	197	100	121	100	84	100	75	100	110	100	91	100	96	100	183	100	186	100	77	100	105	100	1617	100
IS0002R	precipitation_amount	mm'	80	100	79	100	179	100	45	100	41	100	68	100	23	100	124	100	139	100	426	100	293	100	359	100	1856	100
IS0091R	precipitation_amount	mm'	67	100	217	100	169	90	15	63	27	100	99	100	49	100	74	100	399	100	0	0	190	100	161	100	1467	88
NL0091R	precipitation_amount	mm'	129	100	54	100	59	100	53	100	42	100	85	100	28	100	85	100	42	100	61	100	103	100	14	100	754	100
NL0091R	precipitation_amount	mm'	129	100	54	100	59	100	53	100	42	100	85	100	28	100	85	100	42	100	61	100	103	100	14	100	754	100
NO0001R	precipitation_amount	mm'	148	100	145	100	130	100	101	100	113	100	95	100	113	100	139	100	47	100	123	100	204	100	54	100	1414	100
NO0039R	precipitation_amount	mm'	98	100	225	100	117	100	115	100	42	100	42	100	113	97	200	100	76	100	58	94	150	100	307	100	1543	99
NO0554R	precipitation_amount	mm'	308	100	404	100	160	100	139	100	135	100	151	100	275	100	325	100	304	100	139	100	325	100	566	100	3230	100
NO0572R	precipitation_amount	mm'	187	100	339	100	94	100	132	100	162	100	95	100	281	100	236	100	231	100	96	100	256	100	378	100	2487	100
NO0655R	precipitation_amount	mm'	202	100	107	100	29	100	148	100	81	100	97	100	214	100	215	55	178	100	0	100	75	77	133	59	1477	91
PT0004R	precipitation_amount	mm'	65	100	44	100	29	100	57	100	55	100	1	100	0	100	0	100	0	100	42	100	129	100	70	69	491	97
PT0006R	precipitation_amount	mm'	117	100	106	100	70	100	120	100	113	100	1	100	1	100	1	100	13	100	56	100	150	100	100	85	849	99
SE0014R	precipitation_amount	mm'	42	99	37	100	51	100	68	100	26	100	39	100	35	100	66	100	15	100	45	100	68	100	32	100	523	100

Deposition of air pollutants around the North Sea and the North-East Atlantic in 2016

Table A.2.2: Wet deposition of nitrogen, 2016

Site	Comp	Unit	Jan.	Febr.	March	April	May	June	July	Aug.	Sept.	Oct.	Nov.	Dec.	2016	Tot N
BE0014R	ammonium	mgN/m2	25	34	24	42	45	43	16	17	13	14	37	11	319	520
BE0014R	nitrate	mgN/m2	15	29	13	21	24	25	9	9	9	14	27	6	201	
DE0001R	ammonium	mgN/m2	23	18	26	54	19	37	28	28	24	21	31	20	330	586
DE0001R	nitrate	mgN/m2	26	14	16	37	10	22	21	17	19	17	31	26	256	
DK0005R	ammonium	mgN/m2	22	9	37	23	15	26	49	26	21	29	14	9	281	490
DK0005R	nitrate	mgN/m2	29	7	19	14	6	17	23	15	14	32	22	7	209	
DK0008R	ammonium	mgN/m2	17	9	25	15	6	1	8	15	6	16	17	5	138	312
DK0008R	nitrate	mgN/m2	28	11	22	13	12	1	12	13	5	24	26	3	173	
DK0012R	ammonium	mgN/m2	13	15	28	37	23	-	61	31	5	18	15	-	271	487
DK0012R	nitrate	mgN/m2	17	13	20	30	16	20	33	17	5	24	18	4	216	
DK0022R	ammonium	mgN/m2	27	21	34	63	63	45	24	35	9	44	26	13	402	713
DK0022R	nitrate	mgN/m2	37	16	22	41	32	29	16	31	10	29	35	11	311	
ES0005R	nitrate	mgN/m2	18	12	12	19	54	10	1	2	10	21	17	3	178	359
ES0005R	ammonium	mgN/m2	36	22	23	20	31	4	4	2	7	8	16	7	181	
ES0008R	nitrate	mgN/m2	15	42	52	19	21	30	15	12	15	7	15	7	251	836
ES0008R	ammonium	mgN/m2	82	50	50	20	21	236	22	12	20	16	37	19	586	
ES0017R	nitrate	mgN/m2	2	8	6	9	22	-	-	-	0	2	7	6	62	117
ES0017R	ammonium	mgN/m2	6	6	4	8	8	-	-	-	1	6	8	8	55	
GB0006R	nitrate	mgN/m2	13	8	5	2	25	13	5	15	6	8	4	7	111	361
GB0006R	ammonium	mgN/m2	16	8	15	7	45	51	9	32	14	18	15	20	250	
GB0013R	nitrate	mgN/m2	23	18	6	9	11	11	2	2	5	25	8	14	121	269
GB0013R	ammonium	mgN/m2	16	8	16	19	19	15	2	2	5	30	15	15	147	
GB0014R	nitrate	mgN/m2	53	34	26	32	12	26	17	22	24	24	24	21	315	776
GB0014R	ammonium	mgN/m2	57	40	41	57	28	38	50	43	26	31	34	33	460	
GB0015R	nitrate	mgN/m2	9	2	5	4	10	6	6	4	5	5	9	3	67	125
GB0015R	ammonium	mgN/m2	1	0	5	1	4	10	11	2	3	6	8	6	58	
GB0048R	nitrate	mgN/m2	14	4	5	20	6	42	11	6	8	5	5	5	130	325
GB0048R	ammonium	mgN/m2	13	5	10	32	14	24	25	17	21	10	13	11	195	
GB0054R	nitrate	mgN/m2	51	10	18	26	16	45	14	11	10	25	10	21	256	650
GB0054R	ammonium	mgN/m2	37	12	34	36	24	106	40	19	10	43	13	19	394	

Site	Comp	Unit	Jan.	Febr.	March	April	May	June	July	Aug.	Sept.	Oct.	Nov.	Dec.	2016	Tot N
IE0001R	ammonium	mgN/m2	12	12	7	7	7	10	35	5	9	4	4	5	115	188
IE0001R	nitrate	mgN/m2	9	12	2	5	7	9	3	3	4	9	2	8	73	
IS0002R	nitrate	mgN/m2	3	4	41	8	56	55	7	26	8	68	29	75	359	
IS0091R	ammonium	mgN/m2	178	586	49	7	9	27	35	87	118	-	10	43	1148	1 309
IS0091R	nitrate	mgN/m2	8	13	8	1	7	18	10	15	41	-	6	33	161	
NL0091R	ammonium	mgN/m2	36	23	27	32	24	34	7	60	15	13	38	9	317	554
NL0091R	nitrate	mgN/m2	29	20	17	19	16	24	9	40	12	12	34	6	238	
NO0001R	ammonium	mgN/m2	23	56	83	43	49	14	11	18	38	38	21	20	414	903
NO0001R	nitrate	mgN/m2	43	54	54	44	44	35	20	21	46	61	45	22	489	
NO0039R	ammonium	mgN/m2	4	20	29	14	13	14	16	11	13	2	10	23	163	319
NO0039R	nitrate	mgN/m2	3	7	21	16	17	51	10	11	7	3	5	9	157	
NO0554R	ammonium	mgN/m2	50	44	47	26	8	5	12	5	16	3	16	117	350	617
NO0554R	nitrate	mgN/m2	33	29	32	20	13	18	16	6	29	2	23	46	267	
NO0572R	ammonium	mgN/m2	39	67	76	64	54	13	43	54	28	18	36	123	615	1 054
NO0572R	nitrate	mgN/m2	31	45	41	46	43	15	29	41	34	18	34	63	439	
NO0655R	ammonium	mgN/m2	52	8	13	49	35	10	12	10	14	-	12	16	227	364
NO0655R	nitrate	mgN/m2	15	6	11	18	21	15	14	10	15	-	6	9	136	
PT0004R	ammonium	mgN/m2	7	4	3	8	14	-	-	-	-	5	13	7	60	141
PT0004R	nitrate	mgN/m2	12	13	5	8	12	-	-	-	-	7	16	9	81	
PT0006R	ammonium	mgN/m2	15	17	13	12	11	-	-	-	1	8	15	10	103	223
PT0006R	nitrate	mgN/m2	19	14	14	14	13	-	-	-	3	9	17	16	120	
SE0014R	ammonium	mgN/m2	18	14	30	45	29	17	7	12	6	4	13	8	203	387
SE0014R	nitrate	mgN/m2	25	14	22	34	16	11	5	7	6	8	26	9	184	
ES0005R	ammonium	mgN/m2	18	12	12	19	54	10	1	2	10	21	17	3	178	
ES0005R	nitrate	mgN/m2	36	22	23	20	31	4	4	2	7	8	16	7	181	
ES0008R	ammonium	mgN/m2	15	42	52	19	21	30	15	12	15	7	15	7	251	
ES0008R	nitrate	mgN/m2	82	50	50	20	21	236	22	12	20	16	37	19	586	
ES0017R	ammonium	mgN/m2	2	8	6	9	22	-	-	-	0	2	7	6	62	
ES0017R	nitrate	mgN/m2	6	6	4	8	8	-	-	-	1	6	8	8	55	

Table A.2.3 : Concentrations of nitrogen compounds in air, 2016

Code	Comp	matrix	Unit	Jan.		Febr.		March		April		May		June		July		Aug.		Sept.		Oct.		Nov.		Dec.		2016	
				conc	capt	conc	capt	conc	capt	conc	capt	conc	capt	conc	capt	conc	capt	conc	capt	conc	capt	conc	capt	conc	capt	conc	capt	conc	capt
BE0011R	nitrogen_dioxide	air	µg N / m3	4,96	97	5,20	98	5,36	65	3,43	98	4,38	97	2,99	97	2,25	98	3,31	97	4,70	98	5,72	97	6,25	94	9,72	95	4,83	94

Deposition of air pollutants around the North Sea and the North-East Atlantic in 2016

Code	Comp	matrix	Unit	Jan.		Febr.		March		April		May		June		July		Aug.		Sept.		Oct.		Nov.		Dec.		2016		
				conc	capt	conc	capt	conc	capt	conc	capt	conc	capt	conc	capt	conc	capt	conc	capt	conc	capt	conc	capt	conc	capt	conc	capt	conc	capt	conc
BE0013R	nitrogen_dioxide	air	µg N /m3	3,44	98	3,55	97	4,10	91	2,77	97	3,45	97	2,11	97	1,76	98	2,53	97	3,17	98	4,55	97	4,77	96	7,40	97	3,63	97	
DK0005R	nitrogen_dioxide	air	µg N /m3	11,63	92	7,37	94	8,66	95	8,60	95	9,85	95	6,84	94	4,87	95	5,04	73	7,46	56	5,94	95	9,73	95	12,17	44	8,07	85	
DK0008R	nitrogen_dioxide	air	µg N /m3	6,53	94	5,15	90	6,49	95	5,52	95	5,79	95	3,72	72	3,10	94	2,64	95	4,73	94	2,87	54	2,09	4	5,57	92	4,82	81	
DK0012R	nitrogen_dioxide	air	µg N /m3	11,13	90	7,72	93	8,64	80	7,82	94	6,23	88	4,92	91	3,66	95	4,12	95	7,97	92	6,44	95	11,29	93	9,63	95	7,43	92	
DE0001R	nitrogen_dioxide_monitor	air	µg N /m3	3,26	96	1,73	95	1,62	81	1,47	96	1,25	96	0,84	92	0,67	96	0,77	96	1,44	92	1,95	94	3,03	73	2,22	76	1,65	90	
DE0001R	nitrogen_dioxide_manual	air	µg N /m3	3,86	97	2,38	65	2,73	97	2,58	90	1,58	100	1,33	100	1,18	97	1,70	97	2,08	100	2,60	100	2,75	100	1,50	29	2,22	89	
ES0005R	nitrogen_dioxide	air	µg N /m3	0,65	90	0,51	98	0,82	98	0,68	99	1,20	99	1,15	97	1,89	99	1,34	97	1,09	95	1,30	98	1,17	96	1,62	99	1,13	97	
ES0008R	nitrogen_dioxide	air	µg N /m3	0,80	97	0,98	96	0,53	97	0,56	99	0,54	99	0,48	99	0,67	99	0,68	99	0,93	99	1,21	99	1,12	98	1,30	99	0,82	98	
ES0017R	nitrogen_dioxide	air	µg N /m3	0,64	99	0,52	98	0,47	83	0,42	98	0,28	99	0,24	99	0,15	99	0,31	98	0,35	95	0,32	95	1,32	98	1,54	99	0,55	97	
GB0013R	nitrogen_dioxide	air	µg N /m3	1,14	100	1,10	99	1,46	100	1,41	99	1,47	56	0,64	64	0,87	98	0,96	94	0,95	100	2,08	100	1,84	100	2,17	100	1,36	93	
GB0014R	nitrogen_dioxide	air	µg N /m3	1,31	8	2,00	95	2,72	99	1,32	99	1,15	100	0,91	100	0,99	100	0,64	99	1,65	99	1,23	97	1,80	100	3,73	100	1,65	91	
NL0009R	nitrogen_dioxide	air	µg N /m3	4,63	99	2,58	98	2,39	97	1,84	95	2,17	95	1,53	100	1,26	98	1,46	100	2,32	100	2,75	91	4,13	100	6,35	97	2,79	97	
NL0091R	nitrogen_dioxide	air	µg N /m3	6,16	100	4,71	99	4,53	99	3,62	100	3,16	100	2,87	96	2,60	100	2,81	100	4,70	100	4,72	100	6,28	83	8,57	100	4,54	98	
NO0002R	nitrogen_dioxide	air	µg N /m3	0,65	100	0,28	100	0,35	100	0,35	83	0,27	100	0,22	100	0,19	100	0,15	100	0,27	97	0,25	100	0,32	100	0,32	100	0,30	98	
NO0039R	nitrogen_dioxide	air	µg N /m3	0,21	97	0,27	100	0,17	100	0,11	100	0,09	100	0,12	100	0,11	100	0,10	97	0,14	100	0,16	100	0,10	100	0,17	100	0,15	99	
SE0014R	nitrogen_dioxide	air	µg N /m3	1,50	99	1,33	100	1,36	87	0,96	100	1,19	100	0,83	100	0,73	100	0,73	100	0,93	100	0,66	100	1,33	100	1,52	100	1,09	99	
GB0006R	nitric_acid	air	µg N /m3	0,001	100	0,00	5	0,00	5	0,00	5	0,02	100	0,02	9	0,01	100	0,02	0	0,03	0	0,02	1	0,005	100	0,037	100	6	100	
GB0013R	nitric_acid	air	µg N /m3	0,024	12	-	-	-	-	0,00	5	0,00	3	0,10	9	-	-	0,08	2	0,04	6	0,05	4	0,017	100	0,049	100	4	66	
GB0014R	nitric_acid	air	µg N /m3	0,020	15	0,02	0	0,01	3	0,01	4	0,09	8	0,04	6	0,03	0	0,03	0	0,06	3	0,02	3	0,040	100	0,047	100	9	85	
GB0048R	nitric_acid	air	µg N /m3	0,020	89	0,01	9	0,02	3	0,02	3	0,04	65	0,03	1	0,01	6	-	0,01	6	0,01	7	0,014	76	0,021	97	3	66		
GB0054R	nitric_acid	air	µg N /m3	0,029	100	0,02	9	0,00	0	0,00	5	0,00	5	0,02	5	0,02	5	0,02	5	0,03	5	0,01	1	0,015	75	0,042	34	9	69	
NO0002R	nitric_acid	air	µg N /m3	0,044	100	0,01	9	0,03	9	0,01	8	0,08	1	0,07	0	0,04	9	0,03	2	0,07	0	0,01	6	0,010	53	0,010	42	1	85	
NO0039R	nitric_acid	air	µg N /m3	0,018	97	0,01	4	0,01	3	0,01	4	0,04	4	0,01	7	0,01	2	0,01	2	0,01	2	0,01	5	55	0,015	91	0,011	18	7	87
NO0042G	nitric_acid	air	µg N /m3	0,021	78	0,01	2	0,01	2	0,01	3	0,02	81	0,01	1	0,02	57	0,01	9	0,02	6	0,01	5	97	0,015	100	0,014	39	7	86
SE0014R	nitric_acid	air	µg N /m3	0,107	100	0,07	9	0,12	9	0,10	9	0,14	9	0,13	9	0,12	5	0,10	3	0,16	6	0,06	2	97	0,082	100	0,100	97	3	99
DE0001R	nitrate	pm25	µg N /m3	0,79	16	0,39	17	1,16	16	0,84	17	0,52	16	0,05	17	0,13	19	0,06	16	0,07	17	0,52	16	0,43	17	0,49	16	0,45	17	
ES0005R	nitrate	pm10	µg N /m3	0,07	29	0,14	78	0,29	97	0,13	73	0,15	77	0,15	90	0,18	97	0,25	84	0,19	93	0,27	94	0,22	63	0,27	82	0,20	80	
ES0008R	nitrate	pm25	µg N /m3	0,07	16	0,09	17	0,12	16	0,06	17	0,05	16	0,01	17	0,02	16	0,03	16	0,04	17	0,10	16	0,13	17	0,10	16	0,07	16	
ES0008R	nitrate	pm10	µg N /m3	0,15	94	0,21	100	0,54	100	0,26	100	0,25	100	0,14	100	0,12	97	0,23	100	0,29	97	0,35	100	0,25	100	0,33	98	0,26	99	

Code	Comp	matrix	Unit	Jan.		Febr.		March		April		May		June		July		Aug.		Sept.		Oct.		Nov.		Dec.		2016	
				conc	capt	conc	capt	conc	capt	conc	capt	conc	capt	conc	capt	conc	capt	conc	capt	conc	capt	conc	capt	conc	capt	conc	capt	conc	capt
ES0017R	nitrate	pm10	µg N /m3	0,36	97	0,36	97	0,32	97	0,29	97	0,29	90	0,45	100	0,56	97	0,57	97	0,51	93	0,54	87	0,32	93	0,38	91	0,41	95
GB0006 R	nitrate	aerosol	µg N /m3	0,13	100	0,20	100	0,24	100	0,16	100	0,29	100	0,16	100	0,06	100	0,01	100	0,01	100	0,24	100	0,09	100	0,22	100	0,15	100
GB0013 R	nitrate	aerosol	µg N /m3	0,21	12	-	-	-	-	0,40	99	0,06	100	0,24	82	-	-	0,29	96	0,07	100	0,31	100	0,22	100	0,56	100	0,27	66
GB0014 R	nitrate	aerosol	µg N /m3	0,28	15	0,28	100	0,48	100	0,34	100	0,52	100	0,19	95	0,16	15	0,16	100	0,08	100	0,30	100	0,27	100	0,53	100	0,31	85
GB0048 R	nitrate	pm10	µg N /m3	0,30	87	0,22	92	0,35	93	0,34	65	0,49	74	0,30	84	0,08	10	-	-	0,18	62	0,39	24	0,21	69	0,34	96	0,31	63
GB0048 R	nitrate	pm25	µg N /m3	0,27	88	0,19	93	0,30	93	0,28	65	0,38	72	0,22	86	0,06	10	-	-	0,13	62	0,25	47	0,17	76	0,30	97	0,25	65
GB0054 R	nitrate	aerosol	µg N /m3	-	-	-	-	0,20	95	0,08	100	0,08	11	0,13	99	0,13	26	0,14	100	0,08	92	0,12	82	0,02	75	-	-	0,11	57
IS0091R	nitrate	aerosol	µg N /m3	0,01	100	0,00	100	0,01	47	-	-	-	-	-	-	-	-	-	-	0,03	12	0,02	100	0,01	100	0,04	100	0,02	46
NL0091R	nitrate	pm10	µg N /m3	0,73	51	0,82	48	1,23	51	0,85	50	0,62	49	0,53	50	0,44	51	0,50	49	0,56	50	0,74	51	0,92	33	1,25	48	0,76	49
NO0002 R	nitrate	aerosol	µg N /m3	0,25	100	0,62	70	0,35	89	0,12	100	0,26	100	0,20	87	0,13	77	0,11	100	0,26	100	0,05	100	0,13	93	0,14	100	0,21	93
NO0039 R	nitrate	aerosol	µg N /m3	0,07	94	0,08	92	0,04	100	0,06	100	0,07	100	0,07	100	0,03	100	0,02	90	0,04	100	0,02	100	0,01	93	0,01	81	0,04	96
NO0042 G	nitrate	aerosol	µg N /m3	0,03	78	0,04	78	0,05	100	0,05	81	0,08	57	0,02	98	0,03	99	0,04	100	0,01	100	0,01	100	0,01	100	0,01	100	0,03	91
PT0004R	nitrate	pm10	µg N /m3	0,25	10	0,66	3	0,36	10	0,36	13	0,33	15	0,54	11	0,26	6	0,56	15	0,56	15	0,32	26	0,18	27	0,34	19	0,36	14
PT0006R	nitrate	pm25	µg N /m3	-	-	-	-	0,21	3	0,12	10	0,07	13	0,06	10	0,09	6	0,08	21	0,09	31	0,21	26	0,24	27	0,58	23	0,20	14
SE0014R	nitrate	aerosol	µg N /m3	0,23	100	0,37	100	0,37	94	0,27	100	0,29	100	0,17	100	0,20	100	0,27	100	0,30	100	0,09	97	0,24	100	0,45	97	0,27	99
DK0003R	sum_nitric_acid_and_nitrate	air+aerosol	µg N /m3	0,68	36	0,69	78	0,95	97	0,74	68	0,66	86	0,41	97	0,32	94	0,34	100	0,60	100	0,41	100	0,48	100	0,75	97	0,57	88
DK0008R	sum_nitric_acid_and_nitrate	air+aerosol	µg N /m3	0,58	100	0,49	97	0,89	97	0,65	100	0,70	97	0,41	97	0,42	100	0,44	100	0,57	87	0,36	100	0,48	97	0,53	55	0,54	94
DK0012R	sum_nitric_acid_and_nitrate	air+aerosol	µg N /m3	0,84	84	0,78	100	1,15	90	0,85	100	0,85	94	0,61	100	0,46	100	0,52	100	0,83	93	0,55	94	0,60	100	0,91	100	0,74	96
ES0005R	sum_nitric_acid_and_nitrate	air+aerosol	µg N /m3	0,16	81	0,18	97	0,31	100	0,19	100	0,26	100	0,21	100	0,19	100	0,21	100	0,21	100	0,24	100	0,17	97	0,24	98	0,21	98
ES0008R	sum_nitric_acid_and_nitrate	air+aerosol	µg N /m3	0,26	100	0,40	100	0,68	100	0,43	100	0,54	100	0,44	100	0,38	100	0,49	100	0,58	100	0,52	100	0,48	100	0,50	98	0,48	100
ES0017R	sum_nitric_acid_and_nitrate	air+aerosol	µg N /m3	0,56	100	0,45	97	0,43	100	0,44	100	0,46	100	0,69	100	0,68	100	0,61	100	0,75	100	0,65	97	0,44	97	0,54	98	0,56	99
GB0006 R	sum_nitric_acid_and_nitrate	air+aerosol	µg N /m3	0,14	100	0,21	100	0,25	100	0,17	100	0,31	100	0,19	100	0,07	100	0,03	100	0,04	100	0,26	100	0,10	100	0,26	100	0,17	100
GB0013 R	sum_nitric_acid_and_nitrate	air+aerosol	µg N /m3	0,23	12	-	-	-	-	0,41	99	0,07	100	0,35	82	-	-	0,38	96	0,11	100	0,37	100	0,24	100	0,60	100	0,31	66
GB0014 R	sum_nitric_acid_and_nitrate	air+aerosol	µg N /m3	0,30	15	0,30	100	0,50	100	0,35	100	0,62	100	0,23	95	0,19	15	0,19	100	0,14	100	0,32	100	0,31	100	0,58	100	0,35	85
GB0048	sum_nitric_acid_and_nitrate	air+aerosol	µg N /m3	0,32	87	0,24	92	0,37	93	0,36	65	0,53	74	0,33	84	0,10	10	-	-	0,19	62	0,41	24	0,22	69	0,37	96	0,33	63

Deposition of air pollutants around the North Sea and the North-East Atlantic in 2016

Code	Comp	matrix	Unit	Jan.		Febr.		March		April		May		June		July		Aug.		Sept.		Oct.		Nov.		Dec.		2016	
				conc	capt	conc	capt	conc	capt	conc	capt	conc	capt	conc	capt	conc	capt	conc	capt	conc	capt	conc	capt	conc	capt	conc	capt	conc	capt
R	nd_nitrate	osol																											
GB0054	sum_nitric_acid_a	air+ae																											
R	nd_nitrate	osol	µg N /m3	0,30	88	0,22	93	0,30	93	0,28	65	0,38	72	0,24	86	0,09	10	-	-	0,16	62	0,26	47	0,19	76	0,35	97	0,27	65
NO0002	sum_nitric_acid_a	air+ae																											
R	nd_nitrate	osol	µg N /m3	0,30	100	0,64	70	0,39	89	0,14	100	0,33	100	0,27	87	0,18	77	0,14	100	0,33	100	0,07	100	0,03	53	0,11	42	0,25	85
NO0039	sum_nitric_acid_a	air+ae																											
R	nd_nitrate	osol	µg N /m3	0,09	94	0,09	92	0,06	100	0,08	100	0,11	100	0,09	100	0,05	100	0,04	90	0,05	100	0,04	55	0,02	91	0,02	18	0,07	87
NO0042	sum_nitric_acid_a	air+ae																											
G	nd_nitrate	osol	µg N /m3	0,05	78	0,05	78	0,06	100	0,06	81	0,10	57	0,04	98	0,06	99	0,05	100	0,03	100	0,02	97	0,02	100	0,03	39	0,05	86
SE0014R	sum_nitric_acid_a	air+ae																											
	nd_nitrate	osol	µg N /m3	0,33	100	0,45	100	0,50	94	0,38	100	0,44	100	0,31	100	0,33	100	0,37	100	0,46	100	0,15	97	0,32	100	0,55	97	0,38	99
BE0014R	ammonia	air	µg N /m3	1,85	100	1,10	100	2,25	100	3,49	100	2,05	100	0,90	100	1,43	100	2,94	100	3,84	100	2,23	100	1,74	100	4,11	100	2,37	100
DE0001R	ammonia	air	µg N /m3	0,80	100	1,04	100	1,81	100	2,19	100	3,60	100	2,04	100	2,04	100	2,04	94	1,88	59	0,91	100	0,67	100	1,04	100	1,67	96
DK0003R	ammonia	air	µg N /m3	0,10	36	0,55	51	1,32	97	1,29	68	1,91	86	1,03	100	0,84	94	0,97	100	1,17	73	0,46	100	0,44	100	0,45	100	0,91	84
DK0008R	ammonia	air	µg N /m3	0,03	100	0,08	97	0,22	97	0,23	100	0,28	97	0,17	93	0,21	100	0,26	100	0,32	100	0,06	100	0,05	97	0,09	55	0,17	95
DK0012R	ammonia	air	µg N /m3	0,13	87	0,29	100	0,80	97	1,03	100	0,99	94	0,70	100	0,67	87	0,82	100	0,99	93	0,33	97	0,29	100	0,24	100	0,61	96
ES0008R	ammonia	air	µg N /m3	0,70	87	0,46	84	0,43	86	1,32	87	1,80	84	0,72	87	0,94	87	0,91	84	0,92	87	2,34	85	1,82	86	0,82	87	1,10	86
GB0006	ammonia	air	µg N /m3	0,22	100	0,16	100	0,44	100	0,37	100	0,72	100	0,90	100	0,19	100	0,19	100	0,23	100	0,83	100	0,36	100	0,30	100	0,41	100
GB0013	ammonia	air	µg N /m3	0,16	12	0,03	95	-	-	0,02	99	0,03	100	0,53	82	-	-	0,59	96	0,15	100	0,03	100	0,11	100	0,16	100	0,18	73
GB0014	ammonia	air	µg N /m3	0,16	15	0,16	100	0,21	100	0,45	100	0,29	100	0,22	95	0,49	15	0,49	100	0,84	100	0,17	100	0,05	100	0,23	100	0,31	85
GB0048	ammonia	air	µg N /m3	0,65	89	0,85	95	1,18	93	0,91	65	1,15	73	1,15	85	0,43	10	-	-	1,32	62	1,11	47	0,96	77	1,05	96	1,01	66
NO0002	ammonia	air	µg N /m3	0,06	100	0,07	70	0,16	89	0,18	100	0,32	100	0,27	87	0,16	77	0,18	100	0,24	100	0,10	100	0,04	53	0,03	42	0,16	85
NO0039	ammonia	air	µg N /m3	0,14	97	0,20	97	0,37	100	0,36	100	0,40	100	0,64	100	0,34	100	0,46	87	0,71	100	0,35	58	0,09	91	0,21	18	0,37	87
NO0042	ammonia	air	µg N /m3	0,08	77	0,20	78	0,06	100	0,11	81	0,22	57	0,20	98	0,24	99	0,24	100	0,10	100	0,11	100	0,09	100	0,04	39	0,14	86
SE0014R	ammonia	air	µg N /m3	0,08	97	0,13	100	0,22	90	0,34	100	0,42	100	0,35	100	0,35	100	0,37	100	0,58	100	0,22	97	0,09	100	0,07	97	0,27	98
DE0001R	ammonium	pm25	µg N /m3	1,17	16	0,47	17	1,42	16	1,00	17	0,91	16	0,33	17	0,48	19	0,27	16	0,20	17	0,80	16	0,54	17	0,86	16	0,70	17
DK0003R	ammonium	aerosol	µg N /m3	0,91	36	0,78	78	1,21	97	0,84	68	0,79	86	0,54	100	0,44	94	0,59	100	0,65	100	0,66	94	0,58	97	0,82	100	0,72	87
DK0008R	ammonium	aerosol	µg N /m3	0,61	100	0,47	97	1,01	94	0,68	100	0,73	97	0,44	97	0,39	100	0,43	100	0,65	100	0,49	100	0,49	97	0,50	55	0,58	95
DK0012R	ammonium	aerosol	µg N /m3	0,96	84	0,88	100	1,26	90	0,93	100	0,93	94	0,70	100	0,58	97	0,65	100	0,85	90	0,66	90	0,69	100	1,03	100	0,84	95
ES0008R	ammonium	pm25	µg N /m3	0,10	16	0,11	17	0,34	16	0,03	17	0,16	16	0,23	17	0,19	16	0,11	16	0,05	17	0,18	16	0,27	17	0,10	16	0,16	16
ES0008R	ammonium	pm10	µg N /m3	0,18	16	0,15	17	0,76	16	0,10	17	0,29	16	0,39	17	0,38	16	0,32	16	0,23	17	0,43	16	0,45	17	0,18	16	0,32	16
GB0006	ammonium	aerosol	µg N /m3	0,33	100	0,25	100	0,44	100	0,34	100	0,54	100	0,56	100	0,09	100	0,41	100	0,02	100	0,40	100	0,24	100	0,36	100	0,33	100
GB0013	ammonium	aerosol	µg N /m3	0,18	12	0,02	95	-	-	1,34	99	0,62	100	0,70	82	-	-	0,57	96	0,38	100	0,40	100	0,36	100	0,73	100	0,56	73

Code	Comp	matrix	Unit	Jan.		Febr.		March		April		May		June		July		Aug.		Sept.		Oct.		Nov.		Dec.		2016	
				conc	capt	conc	capt	conc	capt	conc	capt	conc	capt	conc	capt	conc	capt	conc	capt	conc	capt	conc	capt	conc	capt	conc	capt	conc	capt
R		l																											
GB0014	ammonium	aerosol	µg N /m3	0,37	15	0,37	100	1,33	100	0,72	100	0,81	100	0,50	95	0,37	15	0,37	100	0,41	100	0,40	100	0,45	100	0,77	100	0,61	85
GB0048	ammonium	pm10	µg N /m3	0,44	75	0,31	75	0,53	92	0,45	63	0,89	71	0,57	80	0,24	10	-	-	0,33	61	0,66	24	0,28	67	0,46	94	0,48	59
GB0048	ammonium	pm25	µg N /m3	0,40	79	0,28	86	0,47	93	0,40	64	0,79	70	0,50	81	0,21	10	-	-	0,28	61	0,48	47	0,30	74	0,44	96	0,43	63
GB0054	ammonium	aerosol	µg N /m3	-	-	-	-	0,73	95	0,30	100	0,93	100	0,30	100	0,30	26	0,43	99	0,05	92	0,18	82	0,06	75	-	-	0,39	64
NL0091R	ammonium	pm10	µg N /m3	0,74	51	0,80	48	1,31	51	0,74	50	0,68	49	0,42	50	0,24	51	0,34	49	0,45	50	0,82	51	0,94	33	1,44	48	0,74	49
NO0002	ammonium	aerosol	µg N /m3	0,28	100	0,59	70	0,43	89	0,15	100	0,30	100	0,24	87	0,16	77	0,10	100	0,28	100	0,11	100	0,14	93	0,11	100	0,23	93
NO0039	ammonium	aerosol	µg N /m3	0,09	97	0,04	97	0,03	100	0,06	100	0,11	100	0,08	100	0,09	100	0,06	87	0,12	100	0,04	100	0,03	93	0,01	81	0,06	96
NO0042	ammonium	aerosol	µg N /m3	0,03	78	0,05	78	0,06	100	0,06	81	0,05	57	0,01	98	0,02	99	0,01	100	0,01	100	0,01	100	0,01	100	0,01	100	0,03	91
PT0004R	ammonium	pm10	µg N /m3	0,17	10	0,58	3	0,27	10	0,32	13	0,46	15	0,20	11	0,81	6	0,33	15	0,44	15	0,35	26	0,31	27	0,23	19	0,34	14
PT0006R	ammonium	pm25	µg N /m3	-	-	-	-	0,68	3	0,57	10	0,53	13	0,56	10	0,64	6	0,79	21	0,68	31	0,55	26	0,52	27	0,72	23	0,63	14
SE0014R	ammonium	aerosol	µg N /m3	0,29	97	0,28	100	0,39	90	0,22	100	0,33	100	0,21	100	0,14	100	0,19	100	0,23	100	0,20	97	0,26	100	0,38	97	0,26	98
DE001R	sum_ammonia_and_ammonium	air+aerosol	µg N /m3	1,97	16	1,52	17	3,23	16	3,20	17	4,51	16	2,38	17	2,52	19	2,30	16	2,08	17	1,71	16	1,21	17	1,90	16	2,37	17
DK0003R	sum_ammonia_and_ammonium	air+aerosol	µg N /m3	1,01	36	1,33	78	2,53	97	2,13	68	2,70	86	1,57	100	1,28	94	1,56	100	1,82	100	1,11	94	1,02	97	1,27	100	1,63	87
DK0008R	sum_ammonia_and_ammonium	air+aerosol	µg N /m3	0,64	100	0,55	97	1,23	94	0,91	100	1,01	97	0,62	97	0,60	100	0,69	100	0,97	100	0,55	100	0,54	97	0,59	55	0,75	95
DK0012R	sum_ammonia_and_ammonium	air+aerosol	µg N /m3	1,09	84	1,17	100	2,06	90	1,97	100	1,93	94	1,40	100	1,26	97	1,48	100	1,84	90	1,00	90	0,98	100	1,26	100	1,45	95
GB0006	sum_ammonia_and_ammonium	air+aerosol	µg N /m3	0,55	100	0,41	100	0,87	100	0,71	100	1,25	100	1,46	100	0,28	100	0,60	100	0,25	100	1,22	100	0,60	100	0,66	100	0,74	100
GB0013	sum_ammonia_and_ammonium	air+aerosol	µg N /m3	0,34	12	0,05	95	-	-	1,36	99	0,64	100	1,23	82	-	-	1,16	96	0,52	100	0,43	100	0,47	100	0,89	100	0,74	73
GB0014	sum_ammonia_and_ammonium	air+aerosol	µg N /m3	0,52	15	0,52	100	1,55	100	1,18	100	1,10	100	0,73	95	0,86	15	0,86	100	1,25	100	0,57	100	0,50	100	1,00	100	0,92	85
GB0048	sum_ammonia_and_ammonium	air+aerosol	µg N /m3	1,09	75	1,16	75	1,71	92	1,36	63	2,04	71	1,73	80	0,67	10	-	-	1,65	61	1,77	24	1,24	67	1,51	94	1,50	59
ES0005R	sum_ammonia_and_ammonium	air+aerosol	µg N /m3	1,00	100	0,95	100	1,00	94	0,98	100	0,96	100	1,36	100	1,52	100	0,89	97	0,56	100	0,56	100	0,39	97	0,37	98	0,88	99
ES0008R	sum_ammonia_and_ammonium	air+aerosol	µg N /m3	0,86	100	0,94	100	1,66	100	1,09	100	1,41	100	1,62	100	1,62	100	1,52	100	1,57	100	1,29	100	0,94	100	1,21	98	1,31	100
ES0017R	sum_ammonia_and_ammonium	air+aerosol	µg N /m3	1,40	100	1,53	100	1,29	100	1,13	100	1,33	100	1,60	100	2,22	100	2,05	100	1,83	97	1,96	97	1,34	100	1,06	98	1,56	99
NO0002	sum_ammonia_and_ammonium	air+aerosol	µg N /m3	0,34	100	0,66	70	0,59	89	0,33	100	0,62	100	0,51	87	0,33	77	0,28	100	0,53	100	0,21	100	0,08	53	0,09	42	0,40	85
NO0039	sum_ammonia_and_ammonium	air+aerosol	µg N /m3	0,23	97	0,24	97	0,40	100	0,41	100	0,50	100	0,72	100	0,42	100	0,52	87	0,83	100	0,41	58	0,12	91	0,22	18	0,44	87

Deposition of air pollutants around the North Sea and the North-East Atlantic in 2016

Code	Comp	matrix	Unit	Jan.		Febr.		March		April		May		June		July		Aug.		Sept.		Oct.		Nov.		Dec.		2016	
				conc	capt	conc	capt	conc	capt	conc	capt	conc	capt	conc	capt	conc	capt	conc	capt	conc	capt	conc	capt	conc	capt	conc	capt	conc	capt
R	d_ammonium	osol																											
NO0042	sum_ammonia_and_ammonium	air+aeerosol	µg N /m3	0,11	77	0,25	78	0,12	100	0,17	81	0,27	57	0,22	98	0,26	99	0,25	100	0,11	100	0,13	100	0,10	100	0,05	39	0,17	86
SE0014R	sum_ammonia_and_ammonium	air+aeerosol	µg N /m3	0,38	97	0,41	100	0,61	90	0,56	100	0,76	100	0,57	100	0,49	100	0,56	100	0,80	100	0,42	97	0,35	100	0,45	97	0,53	98

Table A.2.4 : Concentrations of heavy metals in precipitation, 2016

Code	Comp	matrix	Unit	Jan.		Febr.		March		April		May		June		July		Aug.		Sept.		Oct.		Nov.		Dec.		2016		
				conc	capt	conc	capt	conc	capt	conc	capt	conc	capt	conc	capt	conc	capt	conc	capt	conc	capt	conc	capt	conc	capt	conc	capt	conc	capt	conc
BE0014R	arsenic	precip	ug/L	0,0013	100	0,0179	100	0,0167	99	0,0342	100	0,1242	100	0,0451	100	0,0887	99	0,0933	100	0,1925	98	0,0687	100	0,0339	100	0,0121	92	0,051	100	
DK0005R	arsenic	precip	ug/L	0,1958	100	0,032	100	0,2114	100	0,115	100	0,1007	100	0,0522	100	0,057	100	0,09	100	0,09	100	0,06	100	0,06	100	0,0352	100	0,092	100	
DK0008R	arsenic	precip	ug/L	0,2598	100	0,1269	100	0,07	100	0,129	100	0,1975	100	0,1652	100	0,1293	100	0,087	100	0,295	100	0,1895	100	0,301	100	0,4709	100	0,186	100	
DK0012R	arsenic	precip	ug/L	0,2114	100	0,0793	100	0,0948	100	0,191	100	0,1243	100	0,1266	100	0,0602	100	0,0757	100	0,0634	100	0,1302	100	0,081	100	0,0307	100	0,102	100	
DK0022R	arsenic	precip	ug/L	0,1235	100	0,0381	100	0,1122	100	0,079	100	0,1993	100	0,0609	100	0,055	100	0,088	100	0,0879	100	0,0857	100	0,15	100	0,0281	100	0,091	100	
DE0001R	arsenic	precip	ug/L	0,0626	100	0,0451	100	0,0568	100	0,0953	100	0,1328	100	0,0521	100	0,042	100	0,0423	100	0,0675	100	0,0779	100	0,0528	100	0,0556	100	0,061	100	
ES0008R	arsenic	precip	ug/L	0,0287	100	0,0777	100	0,1049	100	0,0389	100	0,0462	100	0,0456	100	0,0816	100	0,0977	100	0,0373	100	0,0559	100	0,0327	100	0,1002	100	0,060	100	
FR0090R	arsenic	precip	ug/L	0,051	100	0,0523	100	0,0838	100	0,1759	100	0,0762	100	0,0841	100	0,0943	100	0,122	100	0,0946	100	0,129	100	0,0762	100	0,128	100	0,081	100	
GB0006R	arsenic	precip	ug/L	0,172	93	0,157	100	0,0785	100	0,1884	100	0,368	100	0,1551	100	0,0845	100	0,1016	99	-	-	0,1207	87	0,091	100	0,1732	100	0,151	92	
GB0013R	arsenic	precip	ug/L	0,0606	66	0,1116	89	0,0517	100	0,1389	70	0,0565	64	0,0608	99	0,0475	98	0,068	39	0,0497	59	0,0812	100	0,0546	24	0,175	36	0,073	69	
GB0017R	arsenic	precip	ug/L	0,17	100	0,1187	100	0,1787	100	0,1151	100	0,107	9	0,044	94	0,044	17	-	-	-	-	0,196	96	0,1252	100	0,1064	100	0,123	74	
GB0048R	arsenic	precip	ug/L	0,0359	83	0,3006	100	0,0749	100	0,0913	100	0,0571	90	0,0714	65	0,045	98	0,0407	97	0,0801	100	0,0791	100	0,0312	100	0,0804	99	0,085	93	
IE0001R	arsenic	precip	ug/L	0,1479	100	0,2414	100	0,1173	100	0,0314	100	0,1333	100	0,0564	100	0,182	100	0,1402	100	0,3036	100	0,0959	100	0,1545	100	0,1277	100	0,156	100	
IS0091R	arsenic	precip	ug/L	0,045	100	0,045	100	0,045	100	0,045	100	0,0821	100	0,045	100	0,045	100	0,045	100	0,045	100	-	-	0,045	100	0,045	100	0,046	100	
NL0091R	arsenic	precip	ug/L	0,032	100	0,0732	100	0,0729	100	0,0484	100	0,0632	100	0,0369	100	0,0432	100	0,0916	100	0,0403	100	0,0405	100	0,0601	100	0,0757	100	0,055	100	
NO0001R	arsenic	precip	ug/L	0,1082	100	0,0551	100	0,0909	100	0,0915	100	0,0729	100	0,0918	100	0,0636	100	0,0807	100	0,0981	98	0,1036	100	0,0784	100	0,0625	100	0,083	100	
PT0004R	arsenic	precip	ug/L	0,2	100	0,2	100	0,2	97	0,2	100	0,2	98	-	-	-	-	-	-	-	-	0,2	100	0,2	100	0,2	100	0,200	99	
PT0006R	arsenic	precip	ug/L	0,2	100	0,2	100	0,2	100	0,2	96	0,2	100	-	-	-	-	-	-	-	0,2	99	0,2	100	0,2	100	0,2	100	0,200	99
SE0014R	arsenic	precip	ug/L	0,05	100	0,1253	100	0,0632	100	0,26	100	0,2441	100	0,0973	100	0,07	100	0,0518	100	0,28	100	0,0544	100	0,0514	100	0,1	100	0,101	100	
BE0014R	cadmiu m	precip	ug/L	0,0111	100	0,0426	100	0,0356	99	0,0326	100	0,0345	100	0,0172	100	0,0309	99	0,0379	100	0,0568	98	0,0489	100	0,0256	100	0,0173	92	0,031	100	
DK0005R	cadmiu m	precip	ug/L	0,0285	100	0,0092	100	0,0268	100	0,095	100	0,023	100	0,0557	100	0,025	100	0,031	100	0,031	100	0,024	100	0,024	100	0,0161	100	0,031	100	
DK0008R	cadmiu m	precip	ug/L	0,0426	100	0,02	100	0,0187	100	0,011	100	0,0421	100	0,0177	100	0,006	100	0,0092	100	0,0546	100	0,0365	100	0,052	100	0,0139	100	0,024	100	
DK0012R	cadmiu m	precip	ug/L	0,0465	100	0,0211	100	0,026	100	0,025	100	0,0363	100	0,08	100	0,0349	100	0,0219	100	0,0184	100	0,0269	100	0,019	100	0,0151	100	0,031	100	
DK0022R	cadmiu m	precip	ug/L	0,0218	100	0,0072	100	0,0194	100	0,012	100	0,0457	100	0,1026	100	0,008	100	0,053	100	0,0529	100	0,0453	100	0,018	100	0,0209	100	0,037	100	
DE0001R	cadmiu m	precip	ug/L	0,0184	100	0,0095	100	0,0168	100	0,025	100	0,0264	100	0,0097	100	0,0115	100	0,0098	100	0,0172	100	0,0181	100	0,011	100	0,015	100	0,015	100	
ES0008R	cadmiu m	precip	ug/L	0,0226	100	0,0391	100	0,0797	100	0,0543	100	0,0522	100	0,0453	100	0,0498	100	0,0632	100	0,0382	100	0,0507	100	0,0636	100	0,0662	100	0,052	100	
FR0090R	cadmiu m	precip	ug/L	0,0508	100	0,0312	100	0,027	100	0,0231	100	0,0792	100	0,0887	100	0,0471	100	0,0258	100	0,0208	100	0,0104	100	0,0211	100	0,059	100	0,037	100	
GB0006R	cadmiu m	precip	ug/L	0,0029	93	0,002	100	0,003	100	0,0051	100	0,018	100	0,0072	100	0,0013	100	0,002	99	-	-	0,0079	87	0,002	100	0,0028	100	0,004	92	
GB0013R	cadmiu m	precip	ug/L	0,0037	66	0,0019	89	0,0036	100	0,0248	70	0,0095	64	0,0118	99	0,0058	98	0,0089	39	0,004	59	0,0179	100	0,0196	24	0,03	36	0,007	69	
GB0017R	cadmiu m	precip	ug/L	0,009	100	0,0129	100	0,0187	100	0,0136	100	0,013	9	0,007	94	0,007	17	-	-	-	-	0,025	96	0,0116	100	0,0082	100	0,013	74	
GB0048R	cadmiu m	precip	ug/L	0,0028	83	0,131	100	0,0057	100	0,0135	100	0,0073	90	0,0122	65	0,0046	98	0,004	97	0,0093	100	0,0121	100	0,0026	100	0,007	99	0,021	93	
IE0001R	cadmiu m	precip	ug/L	0,0001	100	0	100	0	100	0	100	0,0296	100	0,0201	100	0,02	100	0,0101	100	0,01	100	0,01	100	0,0974	100	0,0108	100	0,012	100	
IS0091R	cadmiu m	precip	ug/L	0,03	100	0,0171	100	0,014	100	0,015	100	0,0328	100	0,0186	100	0,0132	100	0,0147	100	0,011	100	-	-	0,007	100	0,0221	100	0,015	100	
NL0091R	cadmiu m	precip	ug/L	0,0172	100	0,0127	100	0,0036	100	0,0133	100	0,0174	100	0,0109	100	0,01	100	0,0099	100	0,0296	100	0,0249	100	0,0117	100	0,0205	96	0,014	100	

Deposition of air pollutants around the North Sea and the North-East Atlantic in 2016

Code	Comp	matrix	Unit	Jan.		Febr.		March		April		May		June		July		Aug.		Sept.		Oct.		Nov.		Dec.		2016		
				conc	capt	conc	capt	conc	capt	conc	capt	conc	capt	conc	capt	conc	capt	conc	capt	conc	capt	conc	capt	conc	capt	conc	capt	conc	capt	conc
NO0001R	cadmiu																													
	m	precip	ug/L	0,0264	100	0,0153	100	0,0209	100	0,0141	100	0,0193	100	0,0142	100	0,0093	100	0,0082	100	0,0301	98	0,0306	100	0,0105	100	0,0223	100	0,017	100	
NO0039R	cadmiu																													
	m	precip	ug/L	0,0046	100	0,0067	100	0,0077	100	0,0023	100	0,0094	100	0,0049	100	0,0037	100	0,0036	100	0,008	100	0,0021	100	0,0064	100	0,0013	100	0,004	100	
PT0004R	cadmiu																													
	m	precip	ug/L	0,05	100	0,05	100	0,05	97	0,05	100	0,05	98	-	-	-	-	-	-	-	-	0,05	100	0,05	100	0,05	100	0,050	99	
PT0006R	cadmiu																													
	m	precip	ug/L	0,05	100	0,05	100	0,05	100	0,05	96	0,05	100	-	-	-	-	-	-	-	0,05	99	0,05	100	0,05	100	0,05	100	0,050	99
SE0014R	cadmiu																													
	m	precip	ug/L	0,03	100	0,0294	100	0,0332	100	0,23	100	0,129	100	0,0718	100	0,09	100	0,01	100	0,05	100	0,0206	100	0,0103	100	0,02	100	0,063	100	
DK0005R	chromiu																													
	m	precip	ug/L	1,0296	100	1,0964	100	1,3034	100	0,87	100	0,5227	100	0,2048	100	0,176	100	0,166	100	0,166	100	0,443	100	0,443	100	0,9596	100	0,63	100	
DK0008R	chromiu																													
	m	precip	ug/L	0,1533	100	1,2342	100	0,0841	100	0,177	100	0,3186	100	0,1328	100	0,0804	100	0,1099	100	0,6852	100	0,1372	100	0,301	100	0,4729	100	0,24	100	
DK0012R	chromiu																													
	m	precip	ug/L	0,2033	100	0,1663	100	0,1824	100	0,318	100	0,3238	100	0,344	100	0,1916	100	0,1482	100	0,1586	100	0,1117	100	0,092	100	0,0683	100	0,19	100	
DK0022R	chromiu																													
	m	precip	ug/L	0,0756	100	0,0539	100	0,1156	100	0,087	100	0,2395	100	0,066	100	0,067	100	0,075	100	0,0749	100	0,0698	100	0,101	100	0,0528	100	0,09	100	
BE0014R	chromiu																													
	m	precip	ug/L	0,0717	100	0,1047	100	0,1057	99	0,2324	100	0,4531	100	0,7517	100	0,3591	99	0,2509	100	0,7993	98	0,7379	100	0,7699	100	0,0223	92	0,44	100	
ES0008R	chromiu																													
	m	precip	ug/L	0,5896	100	0,684	100	0,8603	100	0,7352	100	0,4778	100	0,3953	100	2,183	100	0,8619	100	0,3741	100	0,6966	100	0,2732	100	0,3942	100	0,66	100	
FR0090R	chromiu																													
	m	precip	ug/L	0,0291	100	0,0203	100	0,0343	100	0,0639	100	0,0616	100	0,0892	100	0,1096	100	0,0791	100	0,0804	100	0,0456	100	0,0622	100	0,111	100	0,05	100	
GB0006R	chromiu																													
	m	precip	ug/L	0,0556	93	0,02	100	0,02	100	0,0209	100	0,14	100	0,0621	100	0,022	100	0,02	99	-	-	0,0204	87	0,054	100	0,109	100	0,05	92	
GB0013R	chromiu																													
	m	precip	ug/L	0,0724	66	0,0547	89	0,0282	100	0,1093	70	0,0794	64	0,0611	99	0,033	98	0,0292	39	0,0228	96	0,0461	100	0,0822	24	0,181	36	0,06	71	
GB0017R	chromiu																													
	m	precip	ug/L	0,112	100	0,0393	100	0,0984	100	0,0707	100	0,066	9	0,054	94	0,054	17	-	-	-	-	0,113	96	0,0941	100	0,0895	100	0,08	74	
GB0048R	chromiu																													
	m	precip	ug/L	0,059	83	0,2496	100	0,0471	100	0,0688	100	0,0821	90	0,1347	65	0,0349	98	0,0526	97	0,0849	100	0,056	100	0,0573	100	0,0888	99	0,09	93	
IE0001R	chromiu																													
	m	precip	ug/L	0,2235	100	0,2888	100	0,2019	100	0,1214	100	0,0904	100	0,1098	100	0,1395	100	0,1993	100	0,4087	100	0,3112	100	0,2614	100	0,2402	100	0,24	100	
IS0091R	chromiu																													
	m	precip	ug/L	0,16	100	0,1699	100	0,11	100	0,39	100	0,3189	100	0,2798	100	0,3671	100	0,1456	100	0,1362	100	-	0	0,045	100	0,1101	100	0,15	100	
NL0091R	chromiu																													
	m	precip	ug/L	0,0309	100	0,087	100	0,0431	99	0,0889	100	0,2357	100	0,1882	100	0,2079	100	0,1111	100	0,113	96	0,1195	100	0,11	100	0,2856	100	0,12	100	
NO0001R	chromiu																													
	m	precip	ug/L	0,106	100	0,0658	100	0,0766	100	0,1004	100	0,0878	100	0,1121	100	0,0708	100	0,1772	100	0,1588	98	0,0533	100	0,1042	100	0,101	100	0,10	100	
PT0004R	chromiu																													
	m	precip	ug/L	0,2	100	0,2259	100	0,2111	97	0,2828	100	0,2564	98	-	-	-	-	-	-	-	-	0,2	100	0,2	100	0,2	100	0,22	99	
PT0006R	chromiu																													
	m	precip	ug/L	0,2	100	0,2604	100	0,3444	100	0,2923	96	0,5768	100	-	-	-	-	-	-	-	0,2	99	0,2257	100	0,343	100	0,33	100	0,33	99
SE0014R	chromiu																													
	m	precip	ug/L	0,03	100	0,0882	100	0,0606	100	0,07	100	0,2703	100	0,0609	100	0,07	100	0,0725	100	0,4	100	0,0959	100	0,0303	100	0,04	100	0,07	100	
DK0005R	copper																													
	m	precip	ug/L	1,6037	100	0,4669	100	1,6699	100	3,24	100	4,0057	100	1,2999	100	1,054	100	1,428	100	1,428	100	1,176	100	1,176	100	0,5791	100	1,45	100	
DK0008R	copper																													
	m	precip	ug/L	0,7713	100	0,439	100	0,4446	100	0,642	100	2,7736	100	0,931	100	0,3703	100	0,7106	100	2,4135	100	0,8926	100	1,1	100	0,9564	100	0,86	100	
DK0012R	copper																													
	m	precip	ug/L	2,094	100	0,9672	100	1,2533	100	2,569	100	2,9848	100	3,0999	100	1,6599	100	1,7402	100	1,1698	100	1,3947	100	0,848	100	0,5471	10			

Code	Comp	matrix	Unit	Jan.		Febr.		March		April		May		June		July		Aug.		Sept.		Oct.		Nov.		Dec.		2016		
				conc	capt	conc	capt	conc	capt	conc	capt	conc	capt	conc	capt	conc	capt	conc	capt	conc	capt	conc	capt	conc	capt	conc	capt	conc	capt	conc
GB0006R	copper	precip	ug/L	0,1108	93	0,108	100	0,0944	100	0,3141	100	0,584	100	0,5032	100	0,1599	100	0,2263	99	-	-	0,2396	87	0,117	100	0,3628	100	0,23	92	
GB0013R	copper	precip	ug/L	0,1651	66	0,1525	89	0,163	100	1,2946	70	1,3897	64	0,7307	99	0,5311	98	0,618	39	0,4611	59	1,1415	100	0,4883	24	1,329	36	0,46	69	
GB0017R	copper	precip	ug/L	0,193	100	0,4955	100	1,3879	100	0,74	100	0,656	9	0,611	94	0,611	17	-	-	-	-	0,857	96	0,5644	100	0,4927	100	0,68	74	
GB0048R	copper	precip	ug/L	0,1093	83	1,8432	100	0,2239	100	0,5827	100	0,4651	90	2,4616	65	0,2662	98	0,4021	97	1,0257	100	0,2776	100	0,1549	100	0,1904	99	0,60	93	
IE0001R	copper	precip	ug/L	-	-	-	-	-	-	-	-	10,4208	99	6,0628	100	8,4507	100	17,8257	100	19,686	100	5,6331	100	24,5765	100	4,2304	100	11,82	57	
IS0091R	copper	precip	ug/L	6,09	100	1,9189	100	0,92	100	3,48	100	4,8674	100	1,576	100	4,8297	100	2,071	100	1,0949	100	-	-	0,51	100	1,1887	100	1,63	100	
NL0091R	copper	precip	ug/L	0,5424	100	1,2726	100	0,9823	100	1,7652	100	1,7795	100	1,8484	100	1,2421	100	1,7213	100	2,4059	100	0,9993	100	0,9975	100	3,4075	96	1,33	100	
NO0001R	copper	precip	ug/L	1,5944	100	0,7554	100	0,82	100	7,1356	100	1,0981	100	1,6889	100	2,3081	100	5,9209	100	1,9271	98	0,7561	100	1,8933	100	7,3255	100	2,55	100	
PT0004R	copper	precip	ug/L	0,5	100	0,5216	100	1,4168	97	1,0811	100	0,8583	98	-	-	-	-	-	-	-	-	0,5	100	1,0028	100	1,7534	100	0,99	99	
PT0006R	copper	precip	ug/L	0,5631	100	0,6991	100	2,7426	100	0,7965	96	1,4613	100	-	-	-	-	-	-	0,87	99	1,9942	100	1,1739	100	1,7699	100	1,28	99	
SE0014R	copper	precip	ug/L	0,3	100	0,723	100	0,4076	100	2,16	100	2,5993	100	1,6862	100	1,15	100	0,2903	100	1,63	100	0,551	100	0,314	100	0,45	100	0,97	100	
BE0014R	lead	precip	ug/L	0,6007	100	1,3634	100	1,8527	99	1,1359	100	1,3957	100	0,7004	100	0,8294	99	1,1204	100	1,7008	98	0,6861	100	0,8738	100	0,4493	92	1,04	100	
DK0005R	lead	precip	ug/L	4,2397	100	4,3192	100	5,5912	100	5,226	100	3,4513	100	1,0955	100	0,84	100	0,662	100	0,662	100	2,032	100	4,0904	100	2,83	100	2,83	100	
DK0008R	lead	precip	ug/L	1,1343	100	0,5106	100	0,4975	100	0,452	100	1,5198	100	0,4172	100	0,1693	100	0,3802	100	2,0537	100	0,9349	100	0,964	100	0,754	100	0,66	100	
DK0012R	lead	precip	ug/L	1,0432	100	0,7466	100	0,7383	100	0,921	100	1,0326	100	1,1819	100	0,7684	100	0,5136	100	0,6105	100	0,6482	100	1,127	100	0,8113	100	0,83	100	
DK0022R	lead	precip	ug/L	0,8179	100	0,3447	100	0,7895	100	0,555	100	1,3729	100	0,494	100	0,358	100	0,402	100	0,4026	100	0,4396	100	0,5	100	0,3289	100	0,55	100	
DE0001R	lead	precip	ug/L	0,5197	100	0,3726	100	0,5096	100	1,0035	100	0,8401	100	0,2793	100	0,4283	100	0,2824	100	0,5151	100	0,4951	100	0,3607	100	0,3128	100	0,46	100	
ES0008R	lead	precip	ug/L	0,5017	100	1,3699	100	4,8797	100	1,2526	100	1,6937	100	0,5233	100	1,6289	100	1,4314	100	0,7566	100	1,1429	100	0,6764	100	0,4154	100	1,63	100	
FRO090R	lead	precip	ug/L	0,0916	100	0,1694	100	0,23	100	0,2292	100	0,1906	100	0,2239	100	0,7422	100	0,5667	100	0,4648	100	0,1504	100	0,1621	100	0,75	100	0,23	100	
GB0006R	lead	precip	ug/L	0,1012	93	0,03	100	0,0315	100	0,155	100	0,55	100	0,2602	100	0,0412	100	0,0839	99	-	-	0,1654	87	0,03	100	0,03	100	0,11	92	
GB0013R	lead	precip	ug/L	0,1019	66	0,1069	89	0,0795	100	0,7091	70	0,2034	64	0,2814	99	0,1512	98	0,5182	39	0,1385	59	0,5851	100	0,1786	24	0,342	36	0,19	69	
GB0017R	lead	precip	ug/L	0,03	100	0,4439	100	0,6411	100	0,5483	100	0,537	9	0,296	94	0,296	17	-	-	-	-	0,73	96	0,1794	100	0,03	100	0,38	74	
GB0048R	lead	precip	ug/L	0,0566	83	0,1095	100	0,1304	100	0,3239	100	0,2703	90	0,3903	65	0,1179	98	0,1132	97	0,2606	100	0,1936	100	0,0739	100	0,03	99	0,14	93	
IE0001R	lead	precip	ug/L	0,3519	100	0,2774	100	0,1627	100	0,1269	100	0,2694	100	0,2145	100	0,3786	100	0,1679	100	0,5719	100	0,199	100	0,6848	100	0,2151	100	0,31	100	
IS0091R	lead	precip	ug/L	0,164	100	0,1293	100	0,063	100	0,233	100	0,4763	100	1,3854	100	1,4599	100	0,1848	100	0,1251	100	-	-	0,172	100	0,2124	100	0,26	100	
NL0091R	lead	precip	ug/L	0,3622	100	0,5037	100	0,429	100	0,5284	100	0,6696	100	0,3415	100	0,5067	100	0,6879	100	0,5107	100	0,3471	100	0,4923	100	0,5258	100	0,47	100	
NO0001R	lead	precip	ug/L	0,6796	100	0,4778	100	0,5015	100	0,594	100	0,5421	100	0,3551	100	0,6199	100	0,6128	100	1,8802	98	0,6953	100	0,3454	100	0,5535	100	0,56	100	
NO0039R	lead	precip	ug/L	0,3417	100	0,2066	100	0,6406	100	0,1489	100	0,3515	100	0,1779	100	0,0728	100	0,2517	100	0,2118	100	0,05	100	0,0918	100	0,0382	100	0,19	100	
PT0004R	lead	precip	ug/L	0,2	100	0,2	100	0,2	97	0,2028	100	0,2087	98	-	-	-	-	-	-	-	-	0,2167	100	0,2356	100	0,2337	100	0,22	99	
PT0006R	lead	precip	ug/L	0,2	100	0,2564	100	0,8721	100	0,2	96	0,2	100	-	-	-	-	-	-	0,2	99	0,2385	100	0,2347	100	0,2	100	0,27	99	
SE0014R	lead	precip	ug/L	0,64	100	0,673	100	0,4057	100	0,49	100	1,5619	100	0,4009	100	0,31	100	0,1257	100	0,86	100	0,2911	100	0,2229	100	0,32	100	0,43	100	
BE0014R	mercury	precip	ug/L	4,3	100	5,7	100	7,0	99	8,6	100	6,7	100	8,5	100	5,9	99	9,8	100	5,1	98	4,0	100	5,5	100	4,0	94	6,3	100	
DE0001R	mercury	precip	ug/L	4,4	100	5,0	100	5,2	100	7,6	100	10,2	100	4,7	100	12,7	100	12,3	100	5,1	100	5,0	100	3,4	100	5,1	100	6,6	100	
ES0008R	mercury	precip	ug/L	14,4	100	7,0	100	10,1	100	7,9	100	4,7	100	13,5	100	6,2	94	10,3	91	7,1	97	8,4	95	3,5	100	7,5	92	8,2	99	
GB0013R	mercury	precip	ug/L	-	-	3,0	100	3,3	100	8,2	100	10,5	100	23,3	100	6,0	100	7,5	100	8,0	100	6,7	100	3,4	100	4,9	100	5,7	100	
GB0017R	mercury	precip	ug/L	-	-	7,0	100	5,5	100	9,7	100	10,0	100	7,0	100	10,3	100	11,0	100	6,5	100	5,0	100	4,1	100	4,0	100	6,9	100	
GB0048R	mercury	precip	ug/L	-	-	3,0	100	3,9	100	7,0	100	7,0	100	8,0	100	6,8	100	5,2	100	6,9	100	5,3	100	3,3	100	3,0	100	4,9	100	
IE0001R	mercury	precip	ug/L	6,3	100	3,8	100	2,2	100	1,4	100	1,1	100	1,6	100	1,9	100	1,6	100	3,1	100	3,0	100	2,1	100	2,1	100	13,5	100	
NL0091R	mercury	precip	ug/L	5,5	100	6,6	100	9,2	100	9,3	100	12,0	100	11,9	100	7,7	100	8,2	100	12,7	100	6,5	100	8,0	100	10,5	100	8,6	100	
NO0001R	mercury	precip	ug/L	2,3	100	3,2	100	5,4	100	56,0	51	1,8	83	13,0	100	6,1	100	5,0	100	8,1	100	3,6	100	2,4	100	3,7	100	6,5	95	
PT0004R	mercury	precip	ug/L	10,0	100	10,0	100	10,5	97	12,1	100	10,0	98	-	-	-	-	-	-	-	-	10,0	100	13,9	100	10,0	100	11,3	99	
PT0006R	mercury	precip	ug/L	10,5	100	50,3	100	26,3	100	10,0	96	10,0	100	-	-	-	-	-	-	-	-	10,0	99	10,0	100	14,8	100	10,0	17,5	99
SE0014R	mercury	precip	ug/L	6,0	100	5,7	100	4,7	100	7,8	100	20,9	100	9,7	100	7,1	100	8,2	100	17,1	100	6,4	100	4,5	100	10,0	100	7,9	100	
BE0014R	nickel	precip	ug/L	0,1442	100	0,2403	100	0,1016	99	0,5782	100	0,4577	100	0,5175	100	0,3578	99	0,3562	100	0,6238	98	0,3625	100	0,1561	100	-0,0588	92	0,314	100	
DK0005R	nickel	precip	ug/L	0,195	100	0,0797	100	0,1492	100	0,344	100	0,7243	100	0,116	100	0,115	100	0,2	100	0,2	100	0,417	100	0,417	100	0,2237	100	0,2229	100	
DK0008R	nickel	precip	ug/L	0,1199	100	0,0588	100	0,0825	100	0,126	100	0,3486	100	0,1521	100	0,0686	100	0,1667	100	0										

Deposition of air pollutants around the North Sea and the North-East Atlantic in 2016

Code	Comp	matrix	Unit	Jan.		Febr.		March		April		May		June		July		Aug.		Sept.		Oct.		Nov.		Dec.		2016	
				conc	capt	conc	capt	conc	capt	conc	capt	conc	capt	conc	capt	conc	capt	conc	capt	conc	capt	conc	capt	conc	capt	conc	capt	conc	capt
DK0012R	nickel	precip	ug/L	0,1347	100	0,0711	100	0,1225	100	0,337	100	0,3134	100	0,2751	100	0,1561	100	0,1683	100	0,1854	100	0,1172	100	0,243	100	0,1443	100	0,1874	100
DK0022R	nickel	precip	ug/L	0,105	100	0,0486	100	0,0916	100	0,075	100	0,2367	100	0,0704	100	0,095	100	0,109	100	0,1088	100	0,0928	100	0,087	100	0,0565	100	0,0943	100
DE0001R	nickel	precip	ug/L	0,1595	100	0,1402	100	0,1326	100	0,253	100	0,3914	100	0,1362	100	0,2392	100	0,193	100	0,2293	100	0,2348	100	0,0994	100	0,1448	100	0,179	100
ES0008R	nickel	precip	ug/L	0,6194	100	0,51	100	0,51	100	0,51	100	0,5672	100	0,7264	100	1,3714	100	0,5544	100	0,571	100	0,6122	100	0,5117	100	0,549	100	0,580	100
FR0090R	nickel	precip	ug/L	0,1903	100	0,2201	100	0,2694	100	0,199	100	0,1602	100	0,6519	100	0,8927	100	0,725	100	0,5734	100	0,1902	100	0,7206	100	0,89	100	0,377	100
GB0006R	nickel	precip	ug/L	0,0232	93	0,012	100	0,0228	100	0,0383	100	0,073	100	0,0139	100	0,012	100	0,0238	99	-	-	0,0308	87	0,011	100	0,1095	100	0,029	92
GB0013R	nickel	precip	ug/L	0,1405	66	0,0837	89	0,0515	100	0,1867	70	0,1491	64	0,1969	99	0,0474	98	0,2023	39	0,1997	59	0,1164	100	0,235	24	0,448	36	0,129	69
GB0017R	nickel	precip	ug/L	0,072	100	0,0712	100	0,129	100	0,0948	100	0,09	9	0,005	94	0,005	17	-	-	-	-	0,104	96	0,0741	100	0,0673	100	0,071	74
IE0001R	nickel	precip	ug/L	0,6688	100	0,2188	100	0,1397	100	0,144	100	0,0681	100	0,1009	100	0,1821	100	0,3139	100	0,1986	100	0,1938	100	0,3572	100	0,2517	100	0,2825	100
IS0091R	nickel	precip	ug/L	0,36	100	1,2616	100	0,24	100	1,39	100	0,9203	100	0,6129	100	0,9652	100	0,3455	100	0,15	100	-	-	0,11	100	0,3774	100	0,438	100
NL0091R	nickel	precip	ug/L	-0,0345	100	0,154	100	0,095	100	0,1481	100	0,3143	100	0,455	95	0,1429	75	0,2061	100	0,3178	100	0,1606	100	0,2488	100	0,7031	91	0,200	98
NO0001R	nickel	precip	ug/L	0,136	100	0,197	100	0,0967	100	0,1845	100	0,1814	100	0,1295	100	0,1827	100	0,882	100	0,2469	98	0,1247	100	0,1939	100	0,33	100	0,238	100
PT0004R	nickel	precip	ug/L	0,2123	100	0,2566	100	0,5385	97	0,2693	100	0,2749	98	-	-	-	-	-	-	-	-	0,3331	100	0,3001	100	0,2202	100	0,285	99
PT0006R	nickel	precip	ug/L	0,2542	100	0,4059	100	0,5174	100	0,2461	96	0,3884	100	-	-	-	-	-	-	0,32	99	0,5979	100	0,4921	100	0,2355	100	0,378	99
SE0014R	nickel	precip	ug/L	0,07	100	0,0988	100	0,0831	100	0,13	100	0,6092	100	0,2454	100	0,1	100	0,0921	100	0,37	100	0,0953	100	0,0429	100	0,14	100	0,141	100
BE0014R	zinc	precip	ug/L	8,9265	100	12,2098	100	11,08	99	19,9093	100	19,63	100	5,1966	100	9,0809	99	10,5783	100	8,6774	98	7,3346	100	11,8183	100	9,8985	92	10,857	100
ES0008R	zinc	precip	ug/L	16,2217	100	88,6924	100	68,156	100	52,6055	100	34,9067	100	142,91	100	42,1128	100	55,646	100	17,6481	100	24,8817	100	17,5552	100	26,2851	100	53,852	100
FR0090R	zinc	precip	ug/L	2,6606	100	3,1742	100	5,3849	100	4,7257	100	1,7905	100	10,88	100	8,555	100	15,8271	100	10,7221	100	5,9183	100	4,3442	100	16,9	100	5,590	100
GB0006R	zinc	precip	ug/L	0,5	93	0,5	100	0,5	100	0,5169	100	2,733	100	2,1239	100	0,5802	100	0,5	99	-	-	0,5	87	0,5	100	3,1562	100	0,980	92
GB0013R	zinc	precip	ug/L	1,9766	66	0,7286	89	0,9674	100	6,7303	70	2,5026	64	4,2095	99	3,8741	98	5,0102	39	3,5439	59	4,2193	100	3,74	24	16,628	36	2,577	69
GB0017R	zinc	precip	ug/L	1,672	100	2,5425	100	7,003	100	3,6739	100	3,241	9	2,33	94	2,33	17	-	-	-	-	4,365	96	2,5487	100	2,1075	100	3,283	74
GB0048R	zinc	precip	ug/L	1,0677	83	3,4569	100	2,59	100	4,4839	100	2,5439	90	3,3608	65	2,0436	98	2,367	97	3,8447	100	3,6513	100	2,3501	100	1,3697	99	2,523	93
IE0001R	zinc	precip	ug/L	73,1288	100	108,613	3	61,094	100	29,9914	100	22,6209	100	12,4156	100	22,103	100	22,192	100	21,9651	100	24,4269	100	54,3367	100	32,9394	100	47,1294	100
IS0091R	zinc	precip	ug/L	9,9	100	10,4945	100	9,6	100	6,2	100	38,0979	100	9,6669	100	10,9899	100	10,3329	100	9,2416	100	-	-	5,8	100	11,9011	100	9,817	100
NL0091R	zinc	precip	ug/L	2,0815	100	3,0329	100	2,601	100	4,5074	100	4,2382	100	4,9942	95	9,3554	100	4,5607	100	5,0152	100	2,9434	100	5,1621	100	8,3601	96	4,179	99
NO0001R	zinc	precip	ug/L	6,4411	100	2,8001	100	7,5699	100	5,7682	100	4,0136	100	3,3486	100	2,6023	100	9,8429	100	6,9046	98	3,8328	100	3,0356	100	8,9557	100	5,165	100
NO0039R	zinc	precip	ug/L	1,8784	100	1,7355	100	1,125	100	0,9907	100	2,4452	100	2,6134	100	1,8908	100	2,5571	100	9,6921	100	2,0972	100	2,3096	100	1,3864	100	2,213	100
PT0004R	zinc	precip	ug/L	1,0771	100	2,2052	100	3,2048	97	4,2594	100	5,0937	98	-	-	-	-	-	-	-	-	9,56	100	14,8542	100	15,2273	100	8,679	99
PT0006R	zinc	precip	ug/L	2,2579	100	4,133	100	19,6723	100	3,476	96	6,6781	100	-	-	-	-	-	-	5,6	99	17,7165	100	14,5898	100	15,5398	100	9,696	99
SE0014R	zinc	precip	ug/L	2,79	100	3,1559	100	3,7678	100	9,1	100	14,1592	100	4,0055	100	7,05	100	1,2683	100	10,14	100	1,7923	100	2,3183	100	2,6	100	4,481	100
ES0008R	arsenic	precip+d ry_dep	ng/m2d ay	-	-	540	97	-	-	170	97	-	-	120	97	-	-	-	-	180	97	-	-	-	-	-	-	-	-
ES0008R	cadmiu m	precip+d ry_dep	ng/m2d ay	-	-	90	97	-	-	50	97	-	-	70	97	-	-	-	-	50	97	-	-	-	-	-	-	-	-
ES0008R	chromiu m	precip+d ry_dep	ng/m2d ay	-	-	5	97	-	-	1	97	-	-	1	97	-	-	-	-	1	97	-	-	-	-	-	-	-	-
ES0008R	copper	precip+d ry_dep	ng/m2d ay	-	-	28040	97	-	-	13690	97	-	-	8370	97	-	-	-	-	4130	97	-	-	-	-	-	-	-	-
ES0008R	lead	precip+d ry_dep	ng/m2d ay	-	-	6020	97	-	-	1920	97	-	-	1650	97	-	-	-	-	780	97	-	-	-	-	-	-	-	-
ES0008R	mercury	precip+d ry_dep	ng/m2d ay	-	-	52780	97	-	-	24270	97	-	-	11750	97	-	-	-	-	16680	97	-	-	-	-	-	-	-	-
ES0008R	nickel	precip+d ry_dep	ng/m2d ay	-	-	2970	97	-	-	1570	97	-	-	14390	97	-	-	-	-	1690	97	-	-	-	-	-	-	-	-
ES0008R	zinc	precip+d ry_dep	ng/m2d ay	-	-	117	97	-	-	44	97	-	-	168	97	-	-	-	-	42	97	-	-	-	-	-	-	-	-
BE0014R	amount	precip	mm	84	100	69	100	67	100	48	100	51	100	99	100	37	100	40	100	34	100	61	100	118	100	15	100	724	100
BE0014R	amount _Hg	precip	mm	86	100	72	100	68	100	41	100	53	100	100	100	38	100	42	100	34	100	61	100	120	100	15	100	731	100

Code	Comp	matrix	Unit	Jan.		Febr.		March		April		May		June		July		Aug.		Sept.		Oct.		Nov.		Dec.		2016	
				conc	capt	conc	capt	conc	capt	conc	capt	conc	capt	conc	capt	conc	capt	conc	capt	conc	capt	conc	capt	conc	capt	conc	capt	conc	capt
DE0001R	amount	precip	mm	41	100	32	100	25	100	44	100	21	100	69	100	46	100	49	100	33	100	28	100	83	100	41	100	511	100
DE0001R	amount	precip	mm	48	100	42	100	31	100	57	100	26	100	82	100	57	100	63	100	40	100	32	100	92	100	46	100	617	100
DK0005R	amount	precip	mm	57	99	57	100	28	100	30	100	24	100	31	100	51	98	2	2	89	98	1	2	35	100	41	98	446	83
DK0008R	amount	precip	mm	37	99	26	100	40	100	54	100	22	100	71	100	69	100	47	100	10	100	49	100	65	100	27	98	518	100
DK0012R	amount	precip	mm	35	99	27	100	31	100	51	100	32	100	42	100	112	100	48	100	35	100	73	100	52	100	38	98	575	100
DK0022R	amount	precip	mm	77	99	52	100	34	100	111	100	53	100	120	100	74	98	3	2	127	100	86	100	94	100	55	98	886	91
ES0008R	amount	precip	mm	111	87	210	84	171	86	121	87	57	84	67	87	42	87	31	78	61	72	35	85	170	86	18	53	1094	81
ES0008R	amount	precip	mm	92	87	182	84	170	86	97	87	40	84	44	58	23	76	26	78	49	72	26	65	137	86	12	68	897	78
FR0090R	amount	precip	mm	156	99	149	100	76	100	33	100	35	100	37	100	15	100	35	100	59	100	52	100	97	100	18	98	762	100
FR0090R	amount	precip	mm	157	100	149	100	76	100	33	100	35	100	37	100	15	100	35	100	59	100	52	100	97	100	18	98	763	100
GB0006R	amount	precip	mm	205	100	254	100	78	68	111	100	77	100	127	100	122	100	124	100	103	100	72	100	120	100	100	99	1495	97
GB0013R	amount	precip	mm	232	100	123	100	100	97	27	100	66	100	31	100	25	96	39	100	57	100	43	100	112	100	25	100	882	99
GB0013R	amount	precip	mm	-	-	134	95	106	100	42	100	53	100	13	100	17	100	43	100	59	97	62	100	107	100	62	100	700	91
GB0017R	amount	precip	mm	34	69	51	100	48	100	47	100	27	100	78	100	51	100	26	100	36	100	47	100	40	100	39	100	526	97
GB0017R	amount	precip	mm	-	-	41	77	42	100	50	100	3	5	73	81	49	100	25	100	37	100	53	100	71	100	27	99	473	80
GB0048R	amount	precip	mm	162	100	85	100	47	100	53	100	31	100	57	100	80	100	60	100	41	100	37	100	74	100	52	88	779	99
GB0048R	amount	precip	mm	-	-	70	92	40	95	5	12	36	79	26	29	85	100	52	100	33	100	42	100	84	100	65	100	538	76
IE0001R	amount	precip	mm	293	100	198	100	122	100	84	100	75	100	110	100	91	100	96	100	182	100	186	100	78	100	105	100	1620	100
IS0091R	amount	precip	mm	53	100	185	100	153	90	14	63	23	100	72	100	44	100	72	100	350	100	0	0	194	100	103	100	1262	88
NL0091R	amount	precip	mm	113	100	65	100	55	100	47	100	48	100	93	100	38	100	85	100	26	100	78	100	103	100	13	100	764	100
NL0091R	amount	precip	mm	94	100	56	100	44	100	40	100	43	100	88	100	33	100	70	100	30	100	62	100	83	100	10	87	653	99
NO0001R	amount	precip	mm	137	100	141	100	131	100	108	100	128	100	123	100	110	100	130	100	27	100	108	100	153	100	65	97	1362	100
NO0001R	amount	precip	mm	144	100	149	100	126	100	104	100	111	100	98	100	111	100	139	100	47	100	124	100	203	100	54	100	1409	100
NO0039R	amount	precip	mm	109	100	194	100	120	100	119	100	41	100	41	100	121	100	183	100	83	100	127	100	144	100	319	100	1600	100
PT0004R	amount	precip	mm	54	79	44	100	29	100	57	100	55	100	1	100	0	100	0	100	0	100	42	100	129	100	70	69	481	96
PT0006R	amount	precip	mm	103	86	106	100	70	100	120	100	113	100	1	100	1	100	1	100	13	100	56	100	150	100	100	85	835	98
SE0014R	amount	precip	mm	39	90	28	100	51	100	48	100	20	100	74	100	52	100	62	100	7	100	25	100	49	100	22	100	477	99
SE0014R	amount	precip	mm	40	90	42	100	50	100	50	100	28	100	82	100	65	100	81	100	10	100	60	100	64	100	33	100	605	99

Table A.2.5 : Concentrations of heavy metals in air, 2016

Code	Comp	matrix	Unit	Jan.		Febr.		March		April		May		June		July		Aug.		Sept.		Oct.		Nov.		Dec.		2016	
				conc	capt	conc	capt	conc	capt	conc	capt	conc	capt	conc	capt	conc	capt	conc	capt	conc	capt	conc	capt	conc	capt	conc	capt	conc	capt
BE0014R	arsenic	pm10	ng/m3	0,45	90	0,51	97	0,52	97	0,44	93	0,34	97	0,26	97	0,37	94	0,46	100	0,50	97	0,76	97	0,81	100	1,03	97	0,54	96
DE0001R	arsenic	pm10	ng/m3	0,52	100	0,19	100	0,31	100	0,16	100	0,25	77	0,19	100	0,18	100	0,18	100	0,36	100	0,39	100	0,24	100	0,24	84	0,27	97
DK0008R	arsenic	aerosol	ng/m3	0,31	99	0,16	97	0,23	100	0,25	100	0,21	97	0,20	97	0,13	94	0,21	100	0,26	94	0,22	83	0,24	97	0,30	74	0,23	94
DK0012R	arsenic	aerosol	ng/m3	0,42	87	0,34	100	0,35	94	0,37	100	0,29	94	0,25	100	0,18	100	0,25	100	0,40	93	0,38	97	0,39	100	0,43	100	0,34	97
ES0008R	arsenic	pm10	ng/m3	0,08	16	0,10	17	0,11	16	0,14	17	0,19	16	0,12	17	0,12	16	0,13	16	0,15	17	0,21	16	0,19	17	0,13	16	0,14	16
GB0013R	arsenic	pm10	ng/m3	0,42	64	0,54	100	0,58	100	0,30	100	0,44	100	0,33	100	0,14	100	0,26	100	0,35	100	0,72	100	0,91	100	0,79	100	0,48	97
GB0017R	arsenic	pm10	ng/m3	0,62	100	0,49	100	0,37	100	0,30	100	0,25	100	0,30	100	0,26	100	0,34	100	0,46	100	0,37	100	0,88	100	1,08	100	0,48	100
GB0048R	arsenic	pm10	ng/m3	0,15	100	0,22	100	0,17	100	0,10	100	0,15	100	0,14	100	0,02	100	0,07	100	0,10	100	0,18	100	0,24	100	0,18	100	0,14	100
IS0091R	arsenic	aerosol	ng/m3	0,03	100	0,01	100	0,01	47	-	-	-	-	-	-	-	-	-	-	0,04	12	0,03	100	0,04	100	0,03	100	0,03	46
NO0002R	arsenic	pm10	ng/m3	0,22	100	0,10	100	0,16	90	0,17	100	0,17	84	0,10	93	0,08	100	0,09	100	0,24	100	0,10	100	0,13	100	0,09	100	0,14	97

Deposition of air pollutants around the North Sea and the North-East Atlantic in 2016

Code	Comp	matrix	Unit	Jan.		Febr.		March		April		May		June		July		Aug.		Sept.		Oct.		Nov.		Dec.		2016	
				conc	capt	conc	capt	conc	capt	conc	capt	conc	capt	conc	capt	conc	capt	conc	capt	conc	capt	conc	capt	conc	capt	conc	capt	conc	capt
NO0042G	arsenic	aerosol	ng/m3	0,07	32	0,14	31	0,07	29	0,04	27	0,03	26	0,01	31	0,01	26	0,01	23	0,01	23	0,01	29	0,03	30	0,03	26	0,04	28
NO0090R	arsenic	aerosol	ng/m3	0,17	42	0,05	31	0,02	23	0,10	33	0,07	32	0,02	27	0,02	26	0,02	32	0,04	27	0,05	29	0,03	30	0,01	19	0,06	29
PT0004R	arsenic	pm10	ng/m3	0,29	10	0,45	3	0,24	10	0,24	13	0,28	15	0,60	12	0,25	6	0,25	15	0,24	15	0,25	26	0,26	27	0,37	19	0,29	14
PT0006R	arsenic	pm10	ng/m3	-	-	-	-	0,27	3	0,27	10	0,27	13	0,27	7	0,27	6	0,27	21	0,28	35	0,27	26	0,27	30	0,43	23	0,29	14
SE0014R	arsenic	aerosol	ng/m3	0,38	100	0,20	100	0,25	100	0,33	100	0,22	100	0,26	100	0,25	100	0,20	100	0,25	100	0,35	100	0,32	100	0,51	100	0,29	100
BE0014R	cadmium	pm10	ng/m3	0,16	90	0,14	97	0,11	97	0,05	93	0,05	97	0,05	97	0,11	90	0,09	100	0,11	97	0,21	97	0,22	100	0,55	97	0,16	96
DE0001R	cadmium	pm10	ng/m3	0,11	100	0,04	100	0,07	100	0,03	100	0,04	77	0,03	100	0,02	100	0,02	100	0,06	100	0,08	100	0,05	100	0,07	84	0,05	97
DK0008R	cadmium	aerosol	ng/m3	0,05	99	0,03	97	0,04	100	0,04	100	0,03	97	0,02	97	0,01	94	0,01	100	0,03	94	0,04	83	0,03	97	0,05	74	0,03	94
DK0012R	cadmium	aerosol	ng/m3	0,06	87	0,04	100	0,05	94	0,03	100	0,02	94	0,01	100	0,02	100	0,02	100	0,04	93	0,06	97	0,06	100	0,06	100	0,04	97
ES0008R	cadmium	pm10	ng/m3	0,03	16	0,05	17	0,06	16	0,07	17	0,09	16	0,10	17	0,33	16	0,13	16	0,11	17	0,15	16	0,13	17	0,11	16	0,11	16
GB0013R	cadmium	pm10	ng/m3	0,04	64	0,04	100	0,06	100	0,04	100	0,06	100	0,04	100	0,02	100	0,03	100	0,04	100	0,08	100	0,09	100	0,09	100	0,05	97
GB0017R	cadmium	pm10	ng/m3	0,09	100	0,07	100	0,07	100	0,08	100	0,06	100	0,05	100	0,06	100	0,06	100	0,08	100	0,06	100	0,13	100	0,20	100	0,09	100
GB0048R	cadmium	pm10	ng/m3	0,02	100	0,02	100	0,03	100	0,02	100	0,03	100	0,02	100	0,01	100	0,02	100	0,02	100	0,03	100	0,03	100	0,03	100	0,02	100
IS0091R	cadmium	aerosol	ng/m3	0,00	100	0,00	100	0,00	47	-	-	-	-	-	-	-	-	-	0,01	12	0,00	100	0,00	100	0,01	100	0,00	46	
NO0002R	cadmium	pm10	ng/m3	0,05	100	0,02	100	0,02	90	0,02	100	0,03	84	0,02	93	0,01	100	0,01	100	0,03	100	0,02	100	0,02	100	0,02	100	0,02	97
NO0042G	cadmium	aerosol	ng/m3	0,01	32	0,01	31	0,01	29	0,01	27	0,00	26	0,00	31	0,00	26	0,00	23	0,00	23	0,01	29	0,01	30	0,01	26	0,01	28
NO0090R	cadmium	aerosol	ng/m3	0,01	42	0,00	31	0,00	23	0,01	33	0,01	32	0,00	27	0,00	26	0,00	32	0,01	27	0,01	29	0,01	30	0,00	19	0,01	29
PT0004R	cadmium	pm10	ng/m3	0,25	10	0,20	3	0,66	10	0,24	13	0,23	15	0,38	12	0,25	6	0,24	15	0,24	15	0,24	26	0,24	27	0,24	19	0,27	14
PT0006R	cadmium	pm10	ng/m3	-	-	-	-	0,27	3	0,27	10	0,27	13	0,27	7	0,27	6	0,27	21	0,27	35	0,27	26	0,27	30	0,28	23	0,27	14
SE0014R	cadmium	aerosol	ng/m3	0,06	100	0,03	100	0,03	100	0,03	100	0,03	100	0,03	100	0,01	100	0,01	100	0,03	100	0,05	100	0,04	100	0,03	100	0,03	100
BE0014R	chromiu m	pm10	ng/m3	1,78	90	1,52	97	1,70	100	-	-	-	-	2,78	47	2,55	94	2,52	100	3,12	97	2,55	97	2,39	100	2,94	94	2,44	68
ES0008R	chromiu m	pm10	ng/m3	0,49	16	0,32	17	0,35	16	0,34	17	0,36	16	0,09	17	0,09	16	0,51	16	0,41	17	0,69	16	0,78	17	0,61	16	0,42	16
GB0013R	chromiu m	pm10	ng/m3	0,30	64	0,66	100	1,30	100	1,45	100	1,45	100	1,45	100	1,45	100	1,24	100	0,84	100	1,63	100	1,62	100	1,00	100	1,23	97
GB0017R	chromiu m	pm10	ng/m3	1,37	100	1,45	100	1,45	100	1,45	100	1,45	100	1,45	100	1,45	100	1,45	100	1,45	100	1,38	100	1,91	100	2,02	100	1,52	100
GB0048R	chromiu m	pm10	ng/m3	1,45	100	1,45	100	1,45	100	1,45	100	1,45	100	1,45	100	1,45	100	1,45	100	1,45	100	1,06	100	0,60	100	0,87	100	1,30	100
IS0091R	chromiu m	aerosol	ng/m3	0,26	100	0,36	100	0,32	47	-	-	-	-	-	-	-	-	-	-	1,16	12	0,58	100	0,49	100	0,55	100	0,45	46
NO0002R	chromiu m	pm10	ng/m3	2,16	100	1,05	100	0,98	90	1,45	100	1,64	84	0,92	93	0,91	100	0,57	100	0,42	100	0,41	100	1,23	100	0,89	100	1,05	97
NO0042G	chromiu m	aerosol	ng/m3	0,31	32	0,16	31	0,14	29	0,04	27	0,06	26	0,02	31	0,03	26	0,02	23	0,02	23	0,15	29	0,29	30	0,36	26	0,14	28
NO0090R	chromiu m	aerosol	ng/m3	0,25	42	0,06	31	0,45	23	0,16	33	0,13	32	0,13	27	0,12	26	0,18	32	0,13	27	0,12	29	0,12	30	0,12	19	0,16	29
SE0014R	chromiu m	aerosol	ng/m3	0,37	100	0,65	100	0,38	100	0,25	100	0,52	100	0,39	100	0,19	100	0,44	100	0,34	100	0,44	100	0,65	100	0,62	100	0,44	100
BE0014R	copper	pm10	ng/m3	5,40	90	7,72	97	10,65	97	9,53	93	3,59	97	3,12	97	2,62	94	3,49	100	4,64	97	2,23	97	4,66	100	18,21	97	6,32	96
GB0013R	copper	pm10	ng/m3	0,46	64	0,76	100	1,42	100	1,02	100	1,54	100	0,99	100	0,53	100	0,73	100	1,11	100	1,63	100	1,72	100	1,54	100	1,14	97
GB0017R	copper	pm10	ng/m3	1,91	100	1,79	100	1,46	100	1,07	100	1,53	100	1,12	100	1,55	100	2,02	100	2,79	100	1,41	100	2,29	100	2,90	100	1,82	100
GB0048R	copper	pm10	ng/m3	0,50	100	0,63	100	0,79	100	0,74	100	0,91	100	0,87	100	0,71	100	0,96	100	0,91	100	0,99	100	0,86	100	0,59	100	0,79	100
IS0091R	copper	aerosol	ng/m3	0,24	100	0,06	100	0,05	47	-	-	-	-	-	-	-	-	-	-	0,35	12	0,27	100	0,51	100	0,50	100	0,30	46
NO0002R	copper	pm10	ng/m3	0,80	100	0,28	100	0,31	90	0,38	100	0,57	84	0,40	93	0,29	100	0,22	100	0,80	100	0,25	100	0,35	100	0,28	100	0,41	97
NO0042G	copper	aerosol	ng/m3	0,55	32	0,17	31	0,29	29	0,14	27	0,13	26	0,05	31	0,05	26	0,04	23	0,04	23	0,28	29	0,09	30	0,21	26	0,18	28
NO0090R	copper	aerosol	ng/m3	0,42	42	0,23	31	0,21	23	0,37	33	0,28	32	0,12	27	0,12	26	0,17	32	0,16	27	0,20	29	0,17	30	0,12	19	0,23	29
SE0014R	copper	aerosol	ng/m3	1,70	100	0,76	100	0,65	100	0,73	100	0,97	100	0,69	100	0,42	100	0,64	100	1,10	100	0,78	100	0,87	100	0,95	100	0,86	100
BE0014R	lead	pm10	ng/m3	6,09	90	5,73	97	4,65	97	2,89	93	3,53	97	2,90	97	2,71	94	4,41	100	4,09	97	6,89	97	8,72	100	12,20	97	5,43	96
DE0001R	lead	pm10	ng/m3	3,77	100	1,30	100	2,91	100	1,12	100	1,40	77	1,28	100	1,12	100	1,11	100	2,46	100	2,57	100	1,77	100	2,16	84	1,93	97
DK0008R	lead	aerosol	ng/m3	1,58	99	0,53	97	1,10	100	1,38	100	1,11	97	0,86	97	0,49	94	0,90	100	1,62	94	1,46	83	1,29	97	1,72	74	1,16	94
DK0012R	lead	aerosol	ng/m3	1,86	87	1,18	100	1,31	94	1,36	100	1,21	94	0,97	100	0,84	100	1,05	100	1,88	93	1,98	97	1,74	100	1,70	100	1,41	97
ES0008R	lead	pm10	ng/m3	0,73	16	1,44	17	1,73	16	2,37	17	2,58	16	2,17	17	10,47	16	3,58	16	2,95	17	3,87	16	5,81	17	4,26	16	3,50	16
GB0013R	lead	pm10	ng/m3	0,91	64	1,41	100	2,58	100	1,67	100	2,66	100	1,82	100	0,94	100	1,36	100	1,98	100	3,41	100	4,04	100	3,52	100	2,23	97
GB0017R	lead	pm10	ng/m3	4,49	100	4,01	100	2,69	100	2,28	100	2,63	100	2,09	100	2,78	100	2,89	100	3,96	100	2,88	100	6,17	100	7,33	100	3,68	100
GB0048R	lead	pm10	ng/m3	1,02	100	1,18	100	1,42	100	1,02	100	1,56	100	0,84	100	0,62	100	1,21	100	0,98	100	1,13	100	1,34	100	1,28	100	1,13	100

Code	Comp	matrix	Unit	Jan.		Febr.		March		April		May		June		July		Aug.		Sept.		Oct.		Nov.		Dec.		2016	
				conc	capt	conc	capt	conc	capt	conc	capt	conc	capt	conc	capt	conc	capt	conc	capt	conc	capt	conc	capt	conc	capt	conc	capt	conc	capt
IS0001R	lead	aerosol	ng/m3	0,08	100	0,03	100	0,06	47	-	-	-	-	-	-	-	-	-	-	0,11	12	0,08	100	0,06	100	0,15	100	0,08	46
NO0002R	lead	pm10	ng/m3	1,17	100	0,41	100	0,70	90	0,49	100	0,73	84	0,42	93	0,25	100	0,27	100	0,95	100	0,36	100	0,58	100	0,42	100	0,56	97
NO0042G	lead	aerosol	ng/m3	0,19	32	0,28	31	0,30	29	0,22	27	0,11	26	0,03	31	0,03	26	0,01	23	0,07	23	0,07	29	0,14	30	0,17	26	0,14	28
NO0090R	lead	aerosol	ng/m3	0,53	42	0,14	31	0,16	23	0,24	33	0,29	32	0,15	27	0,04	26	0,03	32	0,18	27	0,29	29	0,09	30	0,07	19	0,20	29
PT0004R	lead	pm10	ng/m3	0,75	10	2,20	3	0,58	10	0,49	13	1,09	15	0,91	12	0,75	6	0,90	15	1,13	15	1,37	26	2,03	27	1,29	19	1,19	14
PT0006R	lead	pm10	ng/m3	-	-	-	-	1,80	3	1,06	10	0,65	13	0,87	7	1,56	6	0,82	21	1,32	35	2,38	26	3,23	30	5,57	23	2,24	14
SE0014R	lead	aerosol	ng/m3	2,00	100	0,84	100	0,96	100	1,10	100	1,00	100	0,91	100	0,37	100	0,66	100	1,00	100	1,28	100	1,37	100	1,00	100	1,04	100
GB0048R	mercury	air	ng/m3	1,28	60	1,23	56	1,18	44	1,12	16	1,37	54	1,46	42	1,35	63	1,29	56	1,35	13	-	-	-	-	-	-	1,30	34
GB0048R	mercury	pm25	pg/m3	4,58	61	3,54	55	3,82	43	2,61	16	4,12	53	3,96	34	1,23	49	2,65	55	1,91	13	-	-	-	-	-	-	3,33	32
IS0091R	mercury	aerosol	pg/m3	0,31	100	0,20	100	0,10	47	-	0	-	-	-	0	-	-	0	0,60	12	1,00	100	0,47	100	0,78	100	0,52	46	
NO0002R	mercury	air	ng/m3	1,47	88	1,48	89	1,48	92	1,43	87	1,40	97	1,48	92	1,43	96	1,41	95	1,47	93	1,37	95	1,36	97	1,29	93	1,42	93
NO0042G	mercury	air	ng/m3	1,59	95	1,59	98	1,62	95	1,26	85	1,46	92	1,54	68	-	0	1,40	3	1,46	77	1,41	91	1,39	72	1,44	94	1,48	72
NO0090R	mercury	air	ng/m3	1,43	84	1,49	97	1,42	93	1,35	98	1,43	92	1,53	100	1,47	98	1,40	70	1,37	85	1,41	90	1,43	35	1,45	53	1,43	83
SE0014R	mercury	air-aerosol	pg/m3	1,45	26	1,36	28	1,39	26	1,31	29	1,32	27	1,41	30	1,44	23	1,39	22	1,24	24	1,27	29	1,23	19	1,25	27	1,34	26
BE0014R	nickel	pm10	ng/m3	1,14	90	0,97	97	1,30	100	-	-	-	3,28	47	1,91	94	2,55	100	2,51	97	1,56	97	1,66	100	1,94	94	1,87	68	
DE0001R	nickel	pm10	ng/m3	0,52	100	0,33	100	0,40	100	0,53	100	0,60	77	0,41	100	0,42	100	0,55	100	0,63	100	0,49	100	0,37	100	0,44	84	0,47	97
DK0008R	nickel	aerosol	ng/m3	0,59	99	0,93	90	0,70	94	0,66	100	0,89	97	0,56	97	0,89	94	0,90	100	0,81	94	0,26	83	0,65	97	0,42	74	0,70	93
DK0012R	nickel	aerosol	ng/m3	0,69	87	0,36	100	0,89	94	0,59	100	0,91	94	1,42	100	0,53	100	0,37	100	0,75	93	0,39	97	0,18	100	1,60	100	0,72	97
ES0008R	nickel	pm10	ng/m3	0,46	16	0,20	17	0,22	16	0,56	17	0,86	16	0,55	17	0,58	16	0,74	16	0,59	17	0,78	16	0,69	17	0,41	16	0,55	16
GB0013R	nickel	pm10	ng/m3	0,22	64	2,06	100	0,92	100	1,52	100	0,62	100	0,36	100	0,31	100	0,56	100	0,73	100	0,36	100	0,37	100	0,32	100	0,70	97
GB0017R	nickel	pm10	ng/m3	1,21	100	1,34	100	0,61	100	0,28	100	0,66	100	0,79	100	0,38	100	0,80	100	1,18	100	0,34	100	0,35	100	0,70	100	0,72	100
IS0091R	nickel	aerosol	ng/m3	0,44	100	0,22	100	0,24	47	-	-	-	-	-	-	-	-	-	-	0,72	12	0,59	100	0,87	100	0,59	100	0,52	46
NO0002R	nickel	pm10	ng/m3	0,15	100	0,10	100	0,16	90	0,19	100	0,26	84	0,12	93	0,20	100	0,11	100	0,34	100	0,09	100	0,12	100	0,10	100	0,16	97
NO0042G	nickel	aerosol	ng/m3	0,29	32	0,11	31	0,13	29	0,08	27	0,04	26	0,01	31	0,10	26	0,02	23	0,02	23	0,13	29	0,15	30	0,14	26	0,11	28
NO0090R	nickel	aerosol	ng/m3	0,23	42	0,11	31	0,21	23	1,13	33	0,18	32	0,10	27	0,06	26	0,08	32	0,08	27	0,07	29	0,07	30	0,05	19	0,21	29
PT0004R	nickel	pm10	ng/m3	0,64	10	0,69	3	0,56	10	0,79	13	0,72	15	0,83	12	1,76	6	1,20	15	1,30	15	1,29	26	0,72	27	0,32	19	0,89	14
PT0006R	nickel	pm10	ng/m3	-	-	-	-	0,47	3	0,65	10	0,55	13	0,51	7	0,74	6	0,85	21	0,89	35	1,23	26	0,83	30	0,84	23	0,85	14
SE0014R	nickel	aerosol	ng/m3	0,34	100	0,55	100	0,89	100	0,60	100	0,48	100	0,34	100	0,31	100	0,31	100	0,33	100	0,24	100	0,30	100	0,40	100	0,42	100
BE0014R	zinc	pm10	ng/m3	16,95	90	18,60	97	13,24	97	19,78	93	25,50	97	23,49	97	19,85	94	19,98	100	20,68	97	17,76	97	39,16	100	40,32	97	23,02	96
ES0008R	zinc	pm10	ng/m3	7,18	16	9,84	17	14,51	16	16,47	17	14,61	16	10,84	17	20,16	16	13,32	16	11,70	17	21,93	16	29,17	17	14,64	16	15,36	16
GB0013R	zinc	pm10	ng/m3	2,29	64	3,62	100	5,41	100	3,94	100	5,44	100	3,34	100	1,31	100	2,17	100	3,63	100	5,92	100	7,02	100	6,55	100	4,28	97
GB0017R	zinc	pm10	ng/m3	8,13	100	6,86	100	7,07	100	4,25	100	7,91	100	4,16	100	5,22	100	7,08	100	9,84	100	6,09	100	10,41	100	13,33	100	7,54	100
GB0048R	zinc	pm10	ng/m3	2,06	100	1,91	100	2,45	100	4,77	100	3,05	100	1,87	100	1,31	100	1,81	100	2,30	100	2,75	100	2,45	100	2,04	100	2,40	100
IS0091R	zinc	aerosol	ng/m3	0,68	100	0,19	100	0,17	47	-	-	-	-	-	-	-	-	-	1,00	12	0,81	100	1,09	100	0,90	100	0,70	46	
NO0002R	zinc	pm10	ng/m3	6,27	100	3,06	100	3,94	90	2,44	100	2,61	84	1,99	93	0,93	100	1,10	100	4,39	100	4,56	100	5,12	100	3,18	100	3,31	97
NO0042G	zinc	aerosol	ng/m3	3,15	32	1,45	31	1,81	29	0,56	27	0,50	26	0,36	31	0,26	26	0,15	23	0,48	23	3,49	29	1,08	30	2,10	26	1,35	28
NO0090R	zinc	aerosol	ng/m3	2,39	42	0,68	31	4,00	23	0,88	33	1,22	32	0,55	27	0,37	26	0,46	32	1,02	27	1,48	29	0,40	30	0,23	19	1,16	29
SE0014R	zinc	aerosol	ng/m3	8,40	100	4,39	100	5,73	100	5,10	100	4,85	100	5,13	100	1,50	100	2,64	100	4,80	100	5,88	100	4,73	100	5,10	100	4,86	100

Deposition of air pollutants around the North Sea and the North-East Atlantic in 2016

Table A.2.6 : Concentrations of POPs in precipitation and total deposition, 2016

Site	Comp	Matrix	Unit	Jan.	Febr.	March	April	May	June	July	Aug.	Sept.	Oct.	Nov.	Dec.	Year	Capture
BE0013R	anthracene	precip+dry_dep	ng/m2day	5,84	24,51	4,87	3,63	5,03	3,49	0,42	1,01	3,41	2,20	0,42	7,88	5,1	100
BE0013R	benz_a_anthracene	precip+dry_dep	ng/m2day	12,07	13,41	9,90	8,66	9,63	7,26	5,03	4,85	5,77	4,65	2,18	2,97	7,2	100
BE0013R	benzo_a_pyrene	precip+dry_dep	ng/m2day	18,13	41,11	14,71	24,87	11,41	0,84	0,84	2,83	2,64	24,99	20,29	7,85	14,1	100
BE0013R	benzo_b_fluoranthene	precip+dry_dep	ng/m2day	31,83	48,17	21,15	16,49	20,44	10,06	7,41	7,29	7,39	3,76	6,12	8,38	15,6	100
BE0013R	benzo_ghi_perylene	precip+dry_dep	ng/m2day	18,17	20,12	5,03	5,31	5,20	0,84	0,84	1,21	2,51	1,81	2,60	3,35	5,5	100
BE0013R	benzo_k_fluoranthene	precip+dry_dep	ng/m2day	10,61	19,83	8,22	6,99	7,52	3,63	3,30	4,86	4,14	2,46	2,60	3,35	6,4	100
BE0013R	chrysene	precip+dry_dep	ng/m2day	34,87	49,90	24,34	17,33	17,09	7,82	6,01	4,85	6,66	12,49	11,57	10,06	16,8	100
BE0013R	dibenzo_ah_anthracene	precip+dry_dep	ng/m2day	4,64	6,65	9,90	8,66	7,68	0,84	0,84	2,02	4,14	2,46	1,43	1,03	4,2	100
BE0013R	fluoranthene	precip+dry_dep	ng/m2day	41,24	76,03	29,04	20,68	27,10	12,29	10,06	8,10	12,76	28,72	18,78	15,63	24,9	100
BE0013R	fluorene	precip+dry_dep	ng/m2day	1,46	1,68	8,22	5,87	2,98	5,03	4,49	4,86	6,09	11,09	4,70	8,17	5,4	100
BE0013R	inden_123cd_pyrene	precip+dry_dep	ng/m2day	16,83	18,44	11,58	10,34	8,93	0,84	0,84	2,02	4,14	2,46	1,43	2,97	6,7	100
BE0013R	naphthalene	precip+dry_dep	ng/m2day	19,89	42,84	17,95	14,53	18,82	14,53	26,07	26,74	14,05	24,99	13,75	18,39	21,0	100
BE0013R	pyrene	precip+dry_dep	ng/m2day	29,04	52,91	22,66	16,21	19,20	10,62	9,08	8,10	10,97	21,26	13,41	12,27	18,7	100
DE0001R	alpha_HCH	precip_tot	ng/L	0,125	0,146	0,062	0,115	0,140	0,087	0,136	0,264	0,039	0,376	0,149	0,158	0,150	99,5
DE0001R	gamma_HCH	precip_tot	ng/L	1,07	1,23	0,77	1,01	1,85	0,72	1,44	3,65	5,56	4,32	0,73	1,15	1,96	99,5
DE0001R	HCB	precip_tot	ng/L	0,23	0,49	0,95	0,19	0,47	0,06	0,28	1,49	1,72	5,39	0,14	0,26	0,98	99,5
DE0001R	PCB_101	precip_tot	ng/L	0,20	0,61	1,23	0,06	0,30	0,01	0,18	1,58	1,79	8,23	0,12	0,09	1,22	99,5
DE0001R	PCB_118	precip_tot	ng/L	0,04	0,19	0,50	0,02	0,07	0,01	0,05	0,63	0,70	3,11	0,10	0,10	0,47	99,5
DE0001R	PCB_138	precip_tot	ng/L	0,10	0,38	0,64	0,04	0,19	0,01	0,15	1,10	0,94	5,63	0,07	0,02	0,78	99,5
DE0001R	PCB_153	precip_tot	ng/L	0,07	0,33	0,66	0,04	0,17	0,01	0,09	0,95	0,89	4,96	0,06	0,02	0,70	99,5
DE0001R	PCB_180	precip_tot	ng/L	0,01	0,08	0,08	0,01	0,02	0,00	0,02	0,18	0,16	1,02	0,01	0,01	0,13	99,5
DE0001R	PCB_28	precip_tot	ng/L	0,43	1,11	6,74	0,45	1,32	0,21	0,90	1,92	3,72	11,85	0,35	0,65	2,50	99,5
DE0001R	PCB_52	precip_tot	ng/L	0,33	0,65	3,10	0,24	0,53	0,08	0,38	1,84	2,38	6,59	0,19	0,31	1,40	99,5
DE0001R	aldrin	precip_tot	ng/L	0,001	0,002	0,002	0,001	0,002	0,001	0,002	0,003	0,008	0,007	0,001	0,001	0,003	99,5
DE0001R	anthracene	precip_tot	ng/L	1,3	2,0	4,4	0,6	1,2	0,2	0,7	3,3	29,8	4,4	0,3	0,4	4,0	99,5
DE0001R	benz_a_anthracene	precip_tot	ng/L	3,3	1,5	4,6	1,0	3,1	0,5	1,4	1,9	11,0	5,6	1,5	1,8	3,1	99,5
DE0001R	benzo_a_pyrene	precip_tot	ng/L	2,8	0,7	1,9	1,3	3,8	0,6	1,2	1,1	13,9	3,5	1,2	2,5	2,9	99,5
DE0001R	benzo_bjk_fluoranthenes	precip_tot	ng/L	15,6	3,5	12,4	4,4	12,1	1,9	4,4	4,3	46,0	20,3	7,0	7,7	11,7	99,5
DE0001R	benzo_ghi_perylene	precip_tot	ng/L	6,4	1,2	2,4	1,6	3,8	0,7	1,2	1,7	18,3	6,3	2,8	7,6	4,5	99,5
DE0001R	chrysene_triphenylene	precip_tot	ng/L	12,2	5,6	11,3	5,5	20,5	2,1	3,2	5,8	41,7	32,7	5,8	5,3	12,7	99,5
DE0001R	dibenzo_ah_anthracene	precip_tot	ng/L	1,2	0,2	0,9	0,3	1,0	0,1	0,2	0,0	2,7	1,1	0,5	0,7	0,7	99,5
DE0001R	dieldrin	precip_tot	ng/L	0,175	0,161	0,045	0,071	0,132	0,031	0,076	0,243	0,038	0,287	0,077	0,120	0,122	99,5
DE0001R	endrin	precip_tot	ng/L	0,003	0,004	0,005	0,004	0,007	0,002	0,004	0,008	0,023	0,019	0,002	0,004	0,007	99,5
DE0001R	fluoranthene	precip_tot	ng/L	28	33	43	7	27	4	14	83	384	178	16	17	70	99,5
DE0001R	heptachlor	precip_tot	ng/L	0,001	0,001	0,002	0,002	0,016	0,001	0,001	0,002	0,007	0,006	0,001	0,001	0,003	99,5
DE0001R	inden_123cd_pyrene	precip_tot	ng/L	6,558	0,961	2,757	1,491	3,811	0,674	1,613	1,434	16,502	6,868	2,468	3,858	4,088	99,5
DE0001R	phenanthrene	precip_tot	ng/L	66	111	154	18	71	8	37	275	401	452	19	21	114	99,5

Site	Comp	Matrix	Unit	Jan.	Febr.	March	April	May	June	July	Aug.	Sept.	Oct.	Nov.	Dec.	Year	Capture
DE0001R	pyrene	precip_tot	ng/L	12	13	24	4	14	3	7	80	144	186	11	15	43	99,5
DE0001R	op_DDD	precip_tot	ng/L	0,001	0,057	0,059	0,003	0,028	0,002	0,001	0,002	0,015	0,371	0,004	0,001	0,046	99,5
DE0001R	op_DDE	precip_tot	ng/L	0,001	0,001	0,001	0,003	0,032	0,001	0,001	0,002	0,010	0,182	0,004	0,001	0,020	99,5
DE0001R	op_DDT	precip_tot	ng/L	0,081	0,138	0,080	0,011	0,072	0,002	0,003	0,316	0,453	1,385	0,015	0,003	0,216	99,5
DE0001R	pp_DDD	precip_tot	ng/L	0,042	0,095	0,123	0,008	0,036	0,003	0,002	0,115	0,020	0,321	0,004	0,002	0,065	99,5
DE0001R	pp_DDE	precip_tot	ng/L	0,096	0,237	0,217	0,025	0,170	0,003	0,070	0,595	0,613	2,808	0,047	0,048	0,416	99,5
DE0001R	pp_DDT	precip_tot	ng/L	0,165	0,247	0,147	0,033	0,167	0,013	0,139	0,688	1,003	1,854	0,020	0,004	0,377	99,5
ES0008R	acenaphthene	precip+dry_dep	ng/m2day	-	0	-	0	-	0	-	-	0,24	-	-	-	-	-
ES0008R	acenaphthylene	precip+dry_dep	ng/m2day	-	0	-	0	-	0	-	-	0	-	-	-	-	-
ES0008R	anthracene	precip+dry_dep	ng/m2day	-	0	-	0	-	0,97	-	-	0,27	-	-	-	-	-
ES0008R	benz_a_anthracene	precip+dry_dep	ng/m2day	-	5,18	-	0	-	0	-	-	0	-	-	-	-	-
ES0008R	benzo_a_pyrene	precip+dry_dep	ng/m2day	-	0	-	0	-	0	-	-	0	-	-	-	-	-
ES0008R	benzo_ghi_perylene	precip+dry_dep	ng/m2day	-	0	-	0	-	0	-	-	0	-	-	-	-	-
ES0008R	benzo_k_fluoranthene	precip+dry_dep	ng/m2day	-	0	-	0	-	0	-	-	0	-	-	-	-	-
ES0008R	chrysene	precip+dry_dep	ng/m2day	-	71,71	-	0	-	0,6	-	-	0	-	-	-	-	-
ES0008R	dibenzo_ah_anthracene	precip+dry_dep	ng/m2day	-	0	-	0	-	0	-	-	0	-	-	-	-	-
ES0008R	fluoranthene	precip+dry_dep	ng/m2day	-	118,27	-	0	-	0	-	-	0,17	-	-	-	-	-
ES0008R	fluorene	precip+dry_dep	ng/m2day	-	0	-	17,42	-	11,23	-	-	9,83	-	-	-	-	-
ES0008R	inden_123cd_pyrene	precip+dry_dep	ng/m2day	-	0	-	0	-	0	-	-	0	-	-	-	-	-
ES0008R	naphthalene	precip+dry_dep	ng/m2day	-	0	-	0	-	0,49	-	-	0,13	-	-	-	-	-
ES0008R	phe-threne	precip+dry_dep	ng/m2day	-	17,23	-	1,37	-	0,52	-	-	0,77	-	-	-	-	-
ES0008R	pyrene	precip+dry_dep	ng/m2day	-	25,76	-	0	-	0	-	-	0	-	-	-	-	-
IS0091R	alpha_HCH	precip	ng/L	0,0468	0,033	0,0254	0,0189	0,0447	0,0307	0,0224	0,0522	0,09	-	0,0392	0,041	0,0398	100
IS0091R	BDE_100	precip	ng/L	0,0047	0,0055	0,0051	0,0069	0,0161	0,0115	0,0073	0,0132	0,0045	-	0,0044	0,004	0,0067	100
IS0091R	BDE_47	precip	ng/L	0,0069	0,0055	0,0051	0,0069	0,0161	0,022	0,0088	0,0148	0,011	-	0,0053	0,012	0,0096	100
IS0091R	BDE_99	precip	ng/L	0,0131	0,017	0,012	0,0069	0,0161	0,0185	0,0083	0,0156	0,014	-	0,0053	0,012	0,0114	100
IS0091R	beta_HCH	precip	ng/L	0,0047	0,0055	0,0051	0,0069	0,0161	0,0115	0,0073	0,0132	0,0045	-	0,0044	0,004	0,0067	100
IS0091R	cis_CD	precip	ng/L	0,0074	0,0055	0,0051	0,0069	0,0161	0,0115	0,0073	0,0132	0,0045	-	0,0044	0,004	0,0072	100
IS0091R	dieldrin	precip	ng/L	0,0271	0,026	0,0217	0,0157	0,0161	0,0272	0,0134	0,0212	0,033	-	0,0151	0,033	0,0223	100
IS0091R	gamma_HCH	precip	ng/L	0,0201	0,0055	0,0051	0,0069	0,0161	0,0115	0,0135	0,0215	0,032	-	0,0295	0,147	0,0298	100
IS0091R	HCB	precip	ng/L	0,072	0,003	0,0056	0,0058	0,0185	0,0259	0,0146	0,0141	0,027	-	0,0143	0,017	0,0246	100
IS0091R	op_DDT	precip	ng/L	0,0047	0,0055	0,0051	0,0069	0,0161	0,0115	0,0073	0,0132	0,0045	-	0,0044	0,004	0,0067	100
IS0091R	PCB_101	precip	ng/L	0,0069	0,0055	0,0051	0,0069	0,0161	0,0334	0,0104	0,0151	0,012	-	0,0044	0,004	0,0098	100
IS0091R	PCB_105	precip	ng/L	0,0047	0,0055	0,0051	0,0069	0,0161	0,0115	0,0073	0,0132	0,0045	-	0,0044	0,004	0,0067	100
IS0091R	PCB_118	precip	ng/L	0,0047	0,0055	0,0051	0,0069	0,0161	0,0167	0,008	0,0132	0,0045	-	0,0044	0,004	0,0072	100
IS0091R	PCB_138	precip	ng/L	0,0047	0,0055	0,0051	0,0069	0,0161	0,0316	0,0102	0,0132	0,0045	-	0,0044	0,004	0,0085	100
IS0091R	PCB_153	precip	ng/L	0,0047	0,0055	0,0051	0,0069	0,0161	0,0316	0,0302	0,0196	0,011	-	0,0044	0,004	0,012	100
IS0091R	PCB_156	precip	ng/L	0,0047	0,0055	0,0051	0,0069	0,0161	0,0115	0,0073	0,0132	0,0045	-	0,0044	0,004	0,0067	100

Deposition of air pollutants around the North Sea and the North-East Atlantic in 2016

Site	Comp	Matrix	Unit	Jan.	Febr.	March	April	May	June	July	Aug.	Sept.	Oct.	Nov.	Dec.	Year	Capture
IS0091R	PCB_180	precip	ng/L	0,0047	0,0055	0,0051	0,0069	0,0161	0,0115	0,0127	0,0145	0,0045	-	0,0044	0,004	0,0075	100
IS0091R	PCB_28	precip	ng/L	0,0272	0,014	0,0127	0,0173	0,0402	0,0283	0,0186	0,033	0,011	-	0,0109	0,0105	0,0194	100
IS0091R	PCB_31	precip	ng/L	0,0118	0,014	0,0127	0,0173	0,0402	0,0283	0,0186	0,033	0,011	-	0,0109	0,0105	0,0168	100
IS0091R	PCB_52	precip	ng/L	0,0091	0,0055	0,0051	0,0069	0,0161	0,0115	0,0073	0,0132	0,0045	-	0,0044	0,004	0,0075	100
IS0091R	pp_DDD	precip	ng/L	0,0047	0,0055	0,0051	0,0069	0,0161	0,0115	0,0073	0,0132	0,0045	-	0,0044	0,004	0,0067	100
IS0091R	pp_DDE	precip	ng/L	0,0047	0,0055	0,0051	0,0069	0,0161	0,0115	0,0073	0,0132	0,0045	-	0,0044	0,004	0,0067	100
IS0091R	pp_DDT	precip	ng/L	0,0093	0,011	0,0101	0,0138	0,0322	0,023	0,0149	0,0263	0,0085	-	0,0085	0,0085	0,0134	100
IS0091R	trans_CD	precip	ng/L	0,0047	0,0055	0,0051	0,0069	0,0161	0,0115	0,0073	0,0132	0,0045	-	0,0044	0,004	0,0067	100
IS0091R	trans_NO	precip	ng/L	0,008	0,0055	0,0051	0,0069	0,0161	0,0316	0,0102	0,0132	0,0045	-	0,0044	0,004	0,009	100
NL0091R	acenaphthene	precip	ng/L	1,1346	0,8321	1,2142	1,1895	0,7257	1,4	1,4754	1,171	1,143	1,978	1,8135	7,92	1,3969	100
NL0091R	acenaphthylene	precip	ng/L	4,2449	2,6555	3,3851	6,9679	2,2546	2,6081	5,6786	5,3929	3,7111	7,5947	7,8984	6	4,8141	100
NL0091R	anthracene	precip	ng/L	1,644	1,5989	0,7071	1,5651	1,7647	0,9059	1,5706	1,4479	1,4451	1,6024	1,6187	3,47	1,512	100
NL0091R	benz_a_anthracene	precip	ng/L	6,671	8,9528	2,8848	2,991	3,1123	2,1159	3,9333	3,1889	3,1539	2,173	5,2799	7,09	4,6861	100
NL0091R	benzo_a_pyrene	precip	ng/L	6,911	10,6745	3,4026	3,8959	4,0408	3,0895	5,8939	4,4399	4,1876	3,5652	4,1254	7,52	5,3847	100
NL0091R	benzo_bjk_fluoranthenes	precip	ng/L	30,4668	40,306	12,122	11,8636	11,7279	8,1554	14,4271	11,342	10,5382	10,4979	21,954	24,63	19,7038	100
NL0091R	benzo_ghi_perylene	precip	ng/L	10,6687	14,1334	4,5155	4,2017	3,9003	2,7235	6,1907	4,7298	4,2836	3,7444	7,5364	10,48	7,0964	100
NL0091R	chrysene	precip	ng/L	17,2221	21,1491	8,0303	7,6132	7,1861	5,2983	8,6424	6,8779	6,994	7,2557	15,3613	19,61	11,9198	100
NL0091R	dibenzo_ah_anthracene	precip	ng/L	2,3202	3,1851	1,179	1,2336	1,2717	0,8053	1,3585	1,065	0,8905	0,7337	1,3166	2,51	1,5885	100
NL0091R	fluoranthene	precip	ng/L	30,1438	34,4559	17,4275	15,2417	12,8569	10,7737	15,2741	12,6514	11,8954	13,3574	24,2674	33,44	20,7644	100
NL0091R	fluorene	precip	ng/L	5,6479	4,0761	3,1887	2,7505	2,0277	2,5999	2,5337	1,144	1,6244	1,8804	3,9401	6,07	3,3459	100
NL0091R	gamma_HCH	precip	ng/L	0,3106	1,1748	1,1555	0,5363	0,2	0,5681	0,5045	0,4515	0,2714	0,2	0,2038	1,02	0,5062	100
NL0091R	inden_123cd_pyrene	precip	ng/L	9,2508	11,8188	3,8507	3,6119	3,5166	2,4336	4,9918	3,7701	3,4169	2,0703	5,6653	8,22	5,8321	100
NL0091R	naphthalene	precip	ng/L	8,3658	5,5714	6,2732	5,6715	3,3258	4,3941	6,4775	4,0194	5,6159	15,0908	10,5556	22,17	7,4138	100
NL0091R	phe-threne	precip	ng/L	25,8192	24,1157	15,7933	13,0589	10,9314	11,8718	13,4586	6,8955	9,4546	13,3215	21,8157	39,27	17,5546	100
NL0091R	pyrene	precip	ng/L	22,2842	26,0645	10,7436	10,1766	8,9739	6,5333	10,4726	8,8977	9,1774	6,5367	17,7273	21,84	14,7074	100
NO0001R	alpha_HCH	precip	ng/L	0,0842	0,041	0,0607	0,1187	0,128	0,1114	0,0898	0,1118	0,0571	0,1349	0,0994	0,1177	0,0966	99,0836
NO0001R	gamma_HCH	precip	ng/L	0,1684	0,0746	0,2019	0,1891	0,33	0,2338	0,1631	0,238	0,188	0,1697	0,133	0,1314	0,1812	99,0836
NO0001R	HCB	precip	ng/L	0,1075	0,0581	0,0755	0,2104	0,2507	0,1704	0,2064	0,1351	0,2093	0,0848	0,0968	0,1474	0,1334	99,0836
NO0001R	PCB_101	precip	ng/L	0,0211	0,0132	0,0139	0,0175	0,0176	0,0133	0,0141	0,0119	0,026	0,0121	0,0129	0,0184	0,0151	99,0836
NO0001R	PCB_118	precip	ng/L	0,0127	0,0053	0,0081	0,0089	0,0105	0,0079	0,0104	0,0054	0,0123	0,0072	0,0053	0,0084	0,0081	99,0836
NO0001R	PCB_138	precip	ng/L	0,0193	0,0088	0,0165	0,0131	0,0122	0,0086	0,0092	0,0074	0,0154	0,009	0,009	0,0128	0,0114	99,0836
NO0001R	PCB_153	precip	ng/L	0,0243	0,0139	0,0182	0,0169	0,0176	0,0131	0,014	0,0117	0,0256	0,013	0,0125	0,0186	0,0158	99,0836
NO0001R	PCB_180	precip	ng/L	0,0108	0,0062	0,0131	0,0067	0,0064	0,0046	0,0049	0,0043	0,0089	0,0051	0,0059	0,0091	0,0068	97,0944
NO0001R	PCB_28	precip	ng/L	0,0119	0,0052	0,0071	0,0122	0,0084	0,0048	0,0081	0,0043	0,0091	0,004	0,0054	0,0064	0,007	99,0836
NO0001R	PCB_52	precip	ng/L	0,0139	0,0069	0,0093	0,0116	0,0087	0,0059	0,0066	0,0052	0,0113	0,0054	0,0068	0,008	0,0081	93,6204
NO0001R	PCB_99	precip	ng/L	0,0034	0,0015	0,0027	0,0032	0,0031	0,0021	0,0023	0,0019	0,0042	0,002	0,0021	0,003	0,0025	99,0836
PT0004R	acenaphthene	precip	ng/L	-	-	-	5	5	-	-	-	-	5	5	-	-	-

Site	Comp	Matrix	Unit	Jan.	Febr.	March	April	May	June	July	Aug.	Sept.	Oct.	Nov.	Dec.	Year	Capture
PT0004R	acenaphthylene	precip	ng/L	-	-	-	10	10	-	-	-	-	10	10	-	-	-
PT0004R	aldrin	precip	ng/L	-	-	-	5	5	-	-	-	-	-	5	5	-	-
PT0004R	alpha_endosulfan	precip	ng/L	-	-	-	5	5	-	-	-	-	-	5	5	-	-
PT0004R	alpha_HCH	precip	ng/L	-	-	-	5	5	-	-	-	-	-	5	5	-	-
PT0004R	anthracene	precip	ng/L	-	-	-	5	5	-	-	-	-	5	5	-	-	-
PT0004R	benz_a_anthracene	precip	ng/L	-	-	-	5	5	-	-	-	-	5	5	-	-	-
PT0004R	benzo_a_pyrene	precip	ng/L	-	-	-	5	5	-	-	-	-	5	5	-	-	-
PT0004R	benzo_b_fluoranthene	precip	ng/L	-	-	-	5	5	-	-	-	-	5	5	-	-	-
PT0004R	benzo_ghi_perylene	precip	ng/L	-	-	-	5	5	-	-	-	-	5	5	-	-	-
PT0004R	benzo_k_fluoranthene	precip	ng/L	-	-	-	5	5	-	-	-	-	5	5	-	-	-
PT0004R	beta_endosulfan	precip	ng/L	-	-	-	5	5	-	-	-	-	-	5	5	-	-
PT0004R	chrysene	precip	ng/L	-	-	-	5	5	-	-	-	-	5	5	-	-	-
PT0004R	delta_HCH	precip	ng/L	-	-	-	5	5	-	-	-	-	-	5	5	-	-
PT0004R	dibenzo_ah_anthracene	precip	ng/L	-	-	-	5	5	-	-	-	-	5	5	-	-	-
PT0004R	dieldrin	precip	ng/L	-	-	-	5	5	-	-	-	-	-	5	5	-	-
PT0004R	endrin	precip	ng/L	-	-	-	5	5	-	-	-	-	-	5	5	-	-
PT0004R	fluoranthene	precip	ng/L	-	-	-	5	5	-	-	-	-	5	5	-	-	-
PT0004R	fluorene	precip	ng/L	-	-	-	5	5	-	-	-	-	5	5	-	-	-
PT0004R	gamma_HCH	precip	ng/L	-	-	-	5	5	-	-	-	-	-	5	5	-	-
PT0004R	heptachlor	precip	ng/L	-	-	-	5	5	-	-	-	-	-	5	5	-	-
PT0004R	heptachlorepoide	precip	ng/L	-	-	-	5	5	-	-	-	-	-	5	5	-	-
PT0004R	inden_123cd_pyrene	precip	ng/L	-	-	-	5	5	-	-	-	-	5	5	-	-	-
PT0004R	naphthalene	precip	ng/L	-	-	-	6	6	-	-	-	-	15	15	-	-	-
PT0004R	PCB_101	precip	ng/L	-	-	-	-	-	-	-	-	-	5	5	5	-	-
PT0004R	PCB_105	precip	ng/L	-	-	-	-	-	-	-	-	-	5	5	-	-	-
PT0004R	PCB_118	precip	ng/L	-	-	-	-	-	-	-	-	-	5	5	-	-	-
PT0004R	PCB_128	precip	ng/L	-	-	-	-	-	-	-	-	-	5	5	5	-	-
PT0004R	PCB_153	precip	ng/L	-	-	-	-	-	-	-	-	-	5	5	5	-	-
PT0004R	PCB_156	precip	ng/L	-	-	-	-	-	-	-	-	-	5	5	-	-	-
PT0004R	PCB_170	precip	ng/L	-	-	-	-	-	-	-	-	-	5	5	5	-	-
PT0004R	PCB_180	precip	ng/L	-	-	-	-	-	-	-	-	-	5	5	5	-	-
PT0004R	PCB_28	precip	ng/L	-	-	-	-	-	-	-	-	-	5	5	5	-	-
PT0004R	PCB_31	precip	ng/L	-	-	-	-	-	-	-	-	-	5	5	5	-	-
PT0004R	PCB_52	precip	ng/L	-	-	-	-	-	-	-	-	-	5	5	5	-	-
PT0004R	phe-threne	precip	ng/L	-	-	-	5	5	-	-	-	-	5	5	-	-	-
PT0004R	pp_DDD	precip	ng/L	-	-	-	5	5	-	-	-	-	-	5	5	-	-
PT0004R	pp_DDE	precip	ng/L	-	-	-	5	5	-	-	-	-	-	5	5	-	-
PT0004R	pyrene	precip	ng/L	-	-	-	5	5	-	-	-	-	5	5	-	-	-
PT0006R	acenaphthene	precip	ng/L	17	-	5	-	-	-	-	-	-	5	-	-	-	-

Deposition of air pollutants around the North Sea and the North-East Atlantic in 2016

Site	Comp	Matrix	Unit	Jan.	Febr.	March	April	May	June	July	Aug.	Sept.	Oct.	Nov.	Dec.	Year	Capture
PT0006R	acenaphthylene	precip	ng/L	10	-	10	-	-	-	-	-	-	10	-	-	-	-
PT0006R	aldrin	precip	ng/L	5	-	5	-	-	-	-	-	-	5	5	-	-	-
PT0006R	alpha_endosulfan	precip	ng/L	5	-	5	-	-	-	-	-	-	5	5	-	-	-
PT0006R	alpha_HCH	precip	ng/L	5	-	5	-	-	-	-	-	-	5	5	-	-	-
PT0006R	anthracene	precip	ng/L	5	-	5	-	-	-	-	-	-	5	-	-	-	-
PT0006R	benz_a_anthracene	precip	ng/L	5	-	5	-	-	-	-	-	-	5	-	-	-	-
PT0006R	benzo_a_pyrene	precip	ng/L	5	-	5	-	-	-	-	-	-	5	-	-	-	-
PT0006R	benzo_b_fluoranthene	precip	ng/L	5	-	5	-	-	-	-	-	-	5	-	-	-	-
PT0006R	benzo_ghi_perylene	precip	ng/L	5	-	5	-	-	-	-	-	-	5	-	-	-	-
PT0006R	benzo_k_fluoranthene	precip	ng/L	5	-	5	-	-	-	-	-	-	5	-	-	-	-
PT0006R	beta_endosulfan	precip	ng/L	5	-	5	-	-	-	-	-	-	5	5	-	-	-
PT0006R	chrysene	precip	ng/L	5	-	5	-	-	-	-	-	-	5	-	-	-	-
PT0006R	delta_HCH	precip	ng/L	5	-	5	-	-	-	-	-	-	5	5	-	-	-
PT0006R	dibenzo_ah_anthracene	precip	ng/L	5	-	5	-	-	-	-	-	-	5	-	-	-	-
PT0006R	dieldrin	precip	ng/L	5	-	5	-	-	-	-	-	-	5	5	-	-	-
PT0006R	endrin	precip	ng/L	5	-	5	-	-	-	-	-	-	5	5	-	-	-
PT0006R	fluoranthene	precip	ng/L	5	-	5	-	-	-	-	-	-	5	-	-	-	-
PT0006R	fluorene	precip	ng/L	5	-	5	-	-	-	-	-	-	5	-	-	-	-
PT0006R	gamma_HCH	precip	ng/L	5	-	5	-	-	-	-	-	-	5	5	-	-	-
PT0006R	heptachlor	precip	ng/L	5	-	5	-	-	-	-	-	-	5	5	-	-	-
PT0006R	heptachlorepoide	precip	ng/L	5	-	5	-	-	-	-	-	-	5	5	-	-	-
PT0006R	inden_123cd_pyrene	precip	ng/L	5	-	5	-	-	-	-	-	-	5	-	-	-	-
PT0006R	naphthalene	precip	ng/L	34	-	5	-	-	-	-	-	-	21	-	-	-	-
PT0006R	PCB_101	precip	ng/L	5	-	5	-	-	-	-	-	-	-	5	-	-	-
PT0006R	PCB_105	precip	ng/L	5	-	5	-	-	-	-	-	-	-	5	-	-	-
PT0006R	PCB_114	precip	ng/L	-	-	-	-	-	-	-	-	-	-	-	-	-	-
PT0006R	PCB_118	precip	ng/L	5	-	5	-	-	-	-	-	-	-	5	-	-	-
PT0006R	PCB_128	precip	ng/L	5	-	5	-	-	-	-	-	-	-	5	-	-	-
PT0006R	PCB_153	precip	ng/L	5	-	5	-	-	-	-	-	-	-	5	-	-	-
PT0006R	PCB_156	precip	ng/L	5	-	5	-	-	-	-	-	-	-	5	-	-	-
PT0006R	PCB_170	precip	ng/L	5	-	5	-	-	-	-	-	-	-	5	-	-	-
PT0006R	PCB_180	precip	ng/L	5	-	5	-	-	-	-	-	-	-	5	-	-	-
PT0006R	PCB_189	precip	ng/L	-	-	-	-	-	-	-	-	-	-	-	-	-	-
PT0006R	PCB_28	precip	ng/L	5	-	5	-	-	-	-	-	-	-	5	-	-	-
PT0006R	PCB_31	precip	ng/L	5	-	5	-	-	-	-	-	-	-	5	-	-	-
PT0006R	PCB_52	precip	ng/L	5	-	5	-	-	-	-	-	-	-	5	-	-	-
PT0006R	phe-threne	precip	ng/L	5	-	5	-	-	-	-	-	-	5	-	-	-	-
PT0006R	pp_DDD	precip	ng/L	5	-	5	-	-	-	-	-	-	5	5	-	-	-
PT0006R	pp_DDE	precip	ng/L	5	-	5	-	-	-	-	-	-	5	5	-	-	-
PT0006R	pyrene	precip	ng/L	5	-	5	-	-	-	-	-	-	5	-	-	-	-

Site	Comp	Matrix	Unit	Jan.	Febr.	March	April	May	June	July	Aug.	Sept.	Oct.	Nov.	Dec.	Year	Capture
SE0014R	alpha_HCH	precip+dry_dep	ng/m2day	0,015	0,015	0,015	0,015	0,015	0,015	0,015	0,015	0,015	0,015	0,015	0,015	0,015	99
SE0014R	anthracene	precip+dry_dep	ng/m2day	1	0,3241	1	1	0,4129	0,3	0,3	0,3903	0,3	0,9548	0,92	0,2	0,590	99
SE0014R	BDE_100	precip+dry_dep	ng/m2day	0,015	0,015	0,015	0,015	0,015	0,015	0,015	0,015	0,015	0,015	0,015	0,015	0,015	99
SE0014R	BDE_209	precip+dry_dep	ng/m2day	-	1,3607	0,2706	0,37	0,1203	0,28	0,1174	0,1	0,1	0,1	0,1	0,1	0,269	92
SE0014R	BDE_47	precip+dry_dep	ng/m2day	0,015	0,015	0,015	0,015	0,015	0,015	0,015	0,015	0,015	0,015	0,015	0,015	0,015	99
SE0014R	BDE_99	precip+dry_dep	ng/m2day	0,015	0,0422	0,0776	0,083	0,0582	0,048	0,0182	0,015	0,015	0,0513	0,0736	0,052	0,046	99
SE0014R	benz_a_anthracene	precip+dry_dep	ng/m2day	7	2	2,5806	8	4,5806	11	13,7097	12,1935	14	13,0645	12,4	7	8,989	99
SE0014R	benzo_a_pyrene	precip+dry_dep	ng/m2day	7	2	2,0968	3	2,9355	2	0,1935	1	1	3,7742	2,8	1	2,366	99
SE0014R	benzo_b_fluoranthene	precip+dry_dep	ng/m2day	16	4,069	5,9032	5	4,871	3	1,1935	2	2	9,4194	7,6	4	5,353	99
SE0014R	benzo_ghi_perylene	precip+dry_dep	ng/m2day	10	3	3,0968	4	3,871	2	1,0968	1	1	6,5161	3,8	2	3,405	99
SE0014R	benzo_k_fluoranthene	precip+dry_dep	ng/m2day	6	2	2	2	1,9355	1	0,0968	1	1	2,871	2,8	1	1,945	99
SE0014R	chrysene	precip+dry_dep	ng/m2day	22	5,069	7,9677	17	8,6774	14	15,8065	16,9032	16	8,871	18,2	11	13,402	99
SE0014R	dibenzo_ah_anthracene	precip+dry_dep	ng/m2day	1	0,0345	1	1	0,5032	0,3	0,0742	0,2	0,2	0,9484	0,93	0,3	0,539	99
SE0014R	fluoranthene	precip+dry_dep	ng/m2day	55	12,4138	23,129	15	10,0323	8	2,5806	4,9032	4	1,2516	26,2	10	14,063	99
SE0014R	gamma_HCH	precip+dry_dep	ng/m2day	0,04	0,0814	0,1645	0,3	0,1826	0,16	0,2503	0,3355	0,2	0,1658	0,247	0,13	0,190	99
SE0014R	HCB	precip+dry_dep	ng/m2day	0,055	0,0578	0,047	0,01	0,1125	0,059	0,0147	0,0656	0,062	0,078	0,11	-	0,061	90
SE0014R	inden_123cd_pyrene	precip+dry_dep	ng/m2day	10	3	3,0968	4	2,9677	2	0,5548	1	1	6,5484	4,7	2	3,359	99
SE0014R	PCB_101	precip+dry_dep	ng/m2day	0,02	0,02	0,0229	0,05	0,1294	0,02	0,02	0,0652	0,02	0,0487	0,07	-	0,044	90
SE0014R	PCB_118	precip+dry_dep	ng/m2day	0,015	0,0159	0,04	0,04	0,0852	0,04	0,0671	0,0376	0,015	0,0477	0,05	-	0,042	90
SE0014R	PCB_138	precip+dry_dep	ng/m2day	0,11	0,0741	0,1842	0,13	0,3661	0,15	0,0868	0,1861	0,15	0,1977	0,23	-	0,170	90
SE0014R	PCB_153	precip+dry_dep	ng/m2day	0,08	0,0528	0,129	0,12	0,2916	0,12	0,0748	0,0242	0,11	0,1521	0,015	-	0,108	90
SE0014R	PCB_180	precip+dry_dep	ng/m2day	0,1	0,0538	0,1552	0,11	0,2274	0,11	0,0648	0,139	0,13	0,1677	0,18	-	0,131	90
SE0014R	PCB_28	precip+dry_dep	ng/m2day	0,02	0,02	0,02	0,02	0,02	0,02	0,02	0,0471	0,02	0,0213	0,06	-	0,026	90
SE0014R	PCB_52	precip+dry_dep	ng/m2day	0,03	0,03	0,03	0,03	0,0752	0,03	0,0932	0,0842	0,03	0,0752	0,03	-	0,050	90
SE0014R	phe-threne	precip+dry_dep	ng/m2day	42	13,4138	24,0323	15	13,6452	8	4,3871	6,8065	5	14,4839	18	9	14,292	99
SE0014R	pp_DDD	precip+dry_dep	ng/m2day	0,015	0,015	0,015	0,015	0,015	0,015	0,015	0,015	0,015	0,015	0,015	0,015	0,015	99
SE0014R	pp_DDE	precip+dry_dep	ng/m2day	0,01	0,01	0,0145	0,057	0,0633	0,029	0,0462	0,0371	0,01	0,1374	0,039	-	0,042	90
SE0014R	pp_DDT	precip+dry_dep	ng/m2day	0,015	0,0377	0,0874	0,1	0,0948	0,09	0,0792	0,0992	0,11	0,0506	0,0588	0,048	0,073	99
SE0014R	pyrene	precip+dry_dep	ng/m2day	30	7,1724	11,7097	9	6,9355	5	1,3871	2,9032	2	11,5161	15,9	6	8,978	99

Deposition of air pollutants around the North Sea and the North-East Atlantic in 2016

Table A.2.7 : Concentrations of POPs in air, 2016

Site	Comp	Matrix	Unit	Jan.	Febr.	March	April	May	June	July	Aug.	Sept.	Oct.	Nov.	Dec.	Year	Capture
BE0013R	benz_a_anthracene	pm10	ng/m3	0,1512	0,0424	0,0352	0,0117	0,0045	0,0064	0,0144	0,0095	0,0061	0,0534	0,0561	0,264	0,056	33
BE0013R	benzo_a_pyrene	pm10	ng/m3	0,2127	0,0781	0,0602	0,0168	0,0079	0,0083	0,021	0,0129	0,0083	0,082	0,102	0,363	0,083	33
BE0013R	benzo_ghi_perylene	pm10	ng/m3	0,2878	0,1531	0,1031	0,032	0,013	0,0156	0,021	0,0169	0,016	0,1418	0,178	0,498	0,126	33
BE0013R	chrysene	pm10	ng/m3	0,3646	0,1513	0,1286	0,0436	0,0239	0,0229	0,0384	0,0337	0,0271	0,1483	0,1557	0,605	0,149	33
BE0013R	fluoranthene	pm10	ng/m3	0,1662	0,0762	0,0858	0,0391	0,0236	0,0187	0,0428	0,0262	0,0275	0,0866	0,0747	0,230	0,076	33
BE0013R	inden_123cd_pyrene	pm10	ng/m3	0,2301	0,1206	0,0815	0,0331	0,0137	0,017	0,0228	0,0174	0,0142	0,1462	0,171	0,522	0,119	33
BE0013R	pyrene	pm10	ng/m3	0,1891	0,0743	0,0817	0,0377	0,0176	0,0148	0,0278	0,0219	0,0228	0,0856	0,0703	0,248	0,076	33
DE0001R	anthracene	air+pm10	ng/m3	0,0547	0,5277	0,0419	0,0506	0,0382	0,0306	0,0337	0,0479	0,0495	0,0919	0,0899	0,0489	0,090	100
DE0001R	benz_a_anthracene	air+pm10	ng/m3	0,2367	0,0546	0,0469	0,0162	0,0086	0,0087	0,0059	0,0077	0,0093	0,0888	0,1582	0,053	0,058	100
DE0001R	benzo_a_pyrene	air+pm10	ng/m3	0,2419	0,0968	0,0644	0,0265	0,0107	0,0166	0,0209	0,021	0,0489	0,1149	0,2438	0,0704	0,081	100
DE0001R	benzo_bjk_fluoranthenes	air+pm10	ng/m3	0,6778	0,2137	0,2325	0,0714	0,0297	0,0348	0,0427	0,0401	0,0546	0,4002	0,6104	0,2388	0,221	100
DE0001R	benzo_ghi_perylene	air+pm10	ng/m3	0,2847	0,1433	0,1387	0,0342	0,0171	0,0148	0,0119	0,0137	0,0223	0,1387	0,1975	0,0962	0,093	100
DE0001R	chrysene_triphenylene	air+pm10	ng/m3	0,4409	0,1123	0,2204	0,0579	0,039	0,0358	0,0295	0,0292	0,0313	0,2223	0,2886	0,147	0,138	100
DE0001R	dibenzo_ah_anthracene	air+pm10	ng/m3	0,0561	0,0225	0,0235	0,0057	0,0024	0,0024	0,0018	0,0019	0,0028	0,0229	0,0383	0,0185	0,017	100
DE0001R	dieldrin	air+pm10	ng/m3	1,1663	1,1903	1,4583	1,4774	1,597	2,4335	3,4329	3,4334	3,8196	1,7915	1,653	2,3008	2,031	92
DE0001R	fluoranthene	air+pm10	ng/m3	1,1662	0,7034	0,6864	0,3961	0,4984	0,4718	0,4272	0,6288	0,775	1,5418	1,0691	0,6229	0,750	100
DE0001R	heptachlor	air+pm10	ng/m3	0,0806	0,045	0,0417	0,0447	0,0282	0,0334	0,032	0,0429	0,0429	0,0588	0,0993	0,1202	0,056	100
DE0001R	inden_123cd_pyrene	air+pm10	ng/m3	0,3566	0,1567	0,1516	0,0361	0,0161	0,015	0,0098	0,0108	0,0167	0,1511	0,227	0,1014	0,104	100
DE0001R	pyrene	air+pm10	ng/m3	0,7288	0,517	0,4433	0,1891	0,1867	0,2427	0,1304	0,2224	0,2532	0,6958	0,6865	0,3369	0,386	100
DE0001R	alpha_HCH	air+pm10	pg/m ³	2,1336	2,1054	2,5915	2,818	1,871	2,6253	2,4889	2,6272	3,1728	5,1024	3,5427	3,0515	2,846	100
DE0001R	gamma_HCH	air+pm10	pg/m ³	3,1736	3,3282	4,3331	7,6345	4,781	6,4695	8,7358	11,6789	10,8687	5,6322	5,0253	5,6968	6,452	100
DE0001R	HCB	air+pm10	pg/m ³	39,7711	33,1785	32,8367	26,629	16,5475	15,4486	14,4524	16,9846	19,6723	24,9079	31,5214	33,259	25,414	100
DE0001R	op_DDD	air+pm10	pg/m ³	0,0797	0,0861	0,1006	0,1249	0,1198	0,1783	0,1439	0,2783	0,2015	0,0845	0,078	0,1116	0,132	100
DE0001R	op_DDE	air+pm10	pg/m ³	0,1646	0,1391	0,1617	0,1099	0,0998	0,1544	0,1034	0,207	0,1864	0,2022	0,1328	0,1641	0,152	100
DE0001R	op_DDT	air+pm10	pg/m ³	0,2426	0,1613	0,2929	0,402	0,402	0,6334	0,3105	0,6242	0,7079	0,9564	0,2848	0,3223	0,446	100
DE0001R	PCB_101	air+pm10	pg/m ³	1,1366	1,2064	1,4243	1,4868	1,9696	2,9075	2,022	2,8532	2,32	1,6667	1,2826	1,4702	1,813	100
DE0001R	PCB_118	air+pm10	pg/m ³	0,3265	0,3397	0,3488	0,3417	0,5061	0,7078	0,4968	0,6416	0,543	0,4569	0,3797	0,4021	0,458	100
DE0001R	PCB_138	air+pm10	pg/m ³	0,8003	1,0102	1,0104	0,9261	1,6692	2,3375	1,7185	2,2328	2,0379	1,395	1,1035	1,1171	1,447	100
DE0001R	PCB_153	air+pm10	pg/m ³	0,8805	1,0535	1,0286	1,2521	1,7668	2,4651	1,766	2,4773	2,2192	1,5154	1,1261	1,2035	1,563	100
DE0001R	PCB_180	air+pm10	pg/m ³	0,1741	0,235	0,2483	0,3078	0,4126	0,5113	0,4656	0,55	0,5314	0,4147	0,2925	0,2851	0,369	100
DE0001R	PCB_28	air+pm10	pg/m ³	1,0909	1,0274	1,2229	1,2745	1,6613	2,1269	1,3893	2,0349	1,9453	2,0914	1,3237	1,4057	1,551	100
DE0001R	PCB_52	air+pm10	pg/m ³	1,3742	1,3114	1,5699	1,9045	1,9155	2,6246	1,9454	2,654	2,2206	1,977	1,4158	1,6637	1,883	100

Site	Comp	Matrix	Unit	Jan.	Febr.	March	April	May	June	July	Aug.	Sept.	Oct.	Nov.	Dec.	Year	Capture
DE0001R	pp_DDD	air+pm10	pg/m ³	0,0837	0,069	0,0864	0,1356	0,1464	0,192	0,1288	0,2337	0,1837	0,1133	0,0882	0,099	0,130	100
DE0001R	pp_DDE	air+pm10	pg/m ³	1,9115	1,3293	2,1431	2,0799	1,6222	2,4438	1,348	3,0252	4,2089	5,3543	1,9923	3,4008	2,577	100
DE0001R	pp_DDT	air+pm10	pg/m ³	0,3185	0,1827	0,3374	0,3848	0,4638	0,7047	0,4646	0,8847	1,1112	1,085	0,475	0,409	0,570	100
ES0008R	acenaphthene	pm10	ng/m3	0	0	0	0	0	0,01	0	0	0	0	0,01	0	0,002	97
ES0008R	acenaphthylene	pm10	ng/m3	0	0	0	0	0	0	0	0	0	0	0	0	0,000	97
ES0008R	anthracene	pm10	ng/m3	0	0	0	0	0	0	0	0	0	0	0	0	0,000	97
ES0008R	benz_a_anthracene	pm10	ng/m3	0,01	0,01	0,01	0,01	0	0,01	0	0	0	0	0,01	0,01	0,006	97
ES0008R	benzo_a_pyrene	pm10	ng/m3	0,4	0	0	0,07	0,17	0,14	0,02	0,01	0	0	0,01	0,04	0,072	97
ES0008R	benzo_ghi_perylene	pm10	ng/m3	1,37	1,11	0,33	0,64	0,11	0,04	0,18	0,11	0,25	0,07	0,39	0,34	0,409	97
ES0008R	benzo_k_fluoranthene	pm10	ng/m3	5,05	1,62	0,68	0,78	0,14	0,11	0,62	0,13	0,25	0,13	0,38	0,32	0,852	97
ES0008R	chrysene	pm10	ng/m3	0,06	0,09	0,03	0,05	0,01	0,02	0,02	0,01	0,02	0,03	0,04	0,02	0,033	97
ES0008R	dibenzo_ah_anthracene	pm10	ng/m3	0,15	0,34	0,08	0,18	0,02	0,01	0,06	0,03	0,08	0,05	0,07	0,06	0,093	97
ES0008R	fluorene	pm10	ng/m3	0,01	0	0	0,01	0	0	0	0	0	0,01	0	0	0,003	97
ES0008R	fluorantene	pm10	ng/m3	0,05	0,06	0,02	0,03	0,01	0,01	0,01	0,01	0,01	0,01	0,02	0,02	0,022	97
ES0008R	inden_123cd_pyrene	pm10	ng/m3	0,65	2,11	0,64	0,88	0,12	0,05	0,28	0,15	0,37	0,2	0,48	0,53	0,531	97
ES0008R	naphthalene	pm10	ng/m3	0,01	0	0	0	0	0,01	0	0	0	0	0	0	0,002	97
ES0008R	phenanthrene	pm10	ng/m3	0,03	0,01	0	0	0,03	0,02	0,01	0,01	0,02	0,04	0	0,01	0,015	97
ES0008R	pyrene	pm10	ng/m3	0,03	0,03	0,01	0,01	0,01	0,01	0,01	0,01	0,01	0,01	0,01	0,01	0,013	97
GB0014R	anthanthrene	aerosol	ng/m3	0,024	0,009	0,004	0,002	0,003	0,001	0,0095	0,0095	0,0095	0,028	0,009	0,038	0,012	100
GB0014R	benz_a_anthracene	aerosol	ng/m3	0,129	0,073	0,088	0,024	0,016	0,008	0,0095	0,0095	0,025	0,11	0,036	0,075	0,050	100
GB0014R	benzo_a_pyrene	aerosol	ng/m3	0,105	0,067	0,056	0,015	0,015	0,008	0,0095	0,0095	0,0095	0,12	0,05	0,14	0,051	100
GB0014R	benzo_b_fluoranthene	aerosol	ng/m3	0,303	0,184	0,213	0,08	0,043	0,024	0,0095	0,0095	0,045	0,01	0,1	0,26	0,107	100
GB0014R	benzo_e_pyrene	aerosol	ng/m3	0,199	0,121	0,141	0,052	0,028	0,014	0,0095	0,0095	0,032	0,11	0,085	0,23	0,086	100
GB0014R	benzo_ghi_perylene	aerosol	ng/m3	0,183	0,119	0,113	0,033	0,026	0,013	0,0095	0,0095	0,038	0,14	0,13	0,33	0,096	100
GB0014R	benzo_k_fluoranthene	aerosol	ng/m3	0,125	0,074	0,089	0,029	0,022	0,009	0,0095	0,0095	0,0095	0,076	0,041	0,1	0,050	100
GB0014R	chrysene	aerosol	ng/m3	0,179	0,125	0,145	0,046	0,027	0,016	0,0095	0,0095	0,025	0,16	0,066	0,16	0,081	100
GB0014R	coronene	aerosol	ng/m3	0,106	0,045	0,039	0,013	0,01	0,006	0,0095	0,0095	0,0095	0,056	0,045	0,11	0,038	100
GB0014R	cyclopenta_cd_pyrene	aerosol	ng/m3	0,034	0,021	0,011	0,003	0,006	0,001	0,0095	0,0095	0,0095	0,042	0,009	0,039	0,016	100
GB0014R	dibenzo_ah_anthracene	aerosol	ng/m3	0,036	0,054	0,03	0,014	0,009	0,001	0,0095	0,0095	0,0095	0,028	0,021	0,05	0,023	100
GB0014R	dibenzo_ai_pyrene	aerosol	ng/m3	0,088	0,02	0,019	0,004	0,019	0,003	0,0095	0,0095	0,0095	0,044	0,036	0,091	0,030	100
GB0014R	inden_123cd_pyrene	aerosol	ng/m3	0,224	0,131	0,131	0,035	0,03	0,014	0,0095	0,0095	0,03	0,11	0,089	0,21	0,086	100
GB0014R	perylene	aerosol	ng/m3	0,019	0,012	0,011	0,003	0,002	0,001	0,0095	0,0095	0,0095	0,01	0,009	0,023	0,010	100
GB0048R	anthanthrene	pm10	ng/m3	0,002	0,002	0,003	0,002	0,002	0,001	0,01	0,0095	0,0095	0,009	0,0095	0,0085	0,006	100
GB0048R	benz_a_anthracene	pm10	ng/m3	0,116	0,059	0,027	0,016	0,01	0,007	0,01	0,0095	0,0095	0,026	0,033	0,034	0,030	100

Deposition of air pollutants around the North Sea and the North-East Atlantic in 2016

Site	Comp	Matrix	Unit	Jan.	Febr.	March	April	May	June	July	Aug.	Sept.	Oct.	Nov.	Dec.	Year	Capture
GB0048R	benzo_a_pyrene	pm10	ng/m3	0,056	0,038	0,023	0,011	0,008	0,008	0,01	0,0095	0,0095	0,037	0,028	0,037	0,023	100
GB0048R	benzo_b_fluoranthene	pm10	ng/m3	0,288	0,187	0,092	0,05	0,036	0,016	0,01	0,0095	0,0095	0,077	0,05	0,063	0,074	100
GB0048R	benzo_e_pyrene	pm10	ng/m3	0,17	0,106	0,057	0,031	0,021	0,014	0,01	0,0095	0,0095	0,06	0,044	0,056	0,049	100
GB0048R	benzo_ghi_perylene	pm10	ng/m3	0,105	0,082	0,059	0,033	0,023	0,018	0,01	0,0095	0,0095	0,093	0,076	0,096	0,051	100
GB0048R	benzo_k_fluoranthene	pm10	ng/m3	0,127	0,071	0,037	0,018	0,019	0,008	0,01	0,0095	0,0095	0,027	0,024	0,025	0,032	100
GB0048R	chrysene	pm10	ng/m3	0,161	0,098	0,044	0,024	0,017	0,01	0,01	0,0095	0,0095	0,035	0,037	0,047	0,042	100
GB0048R	coronene	pm10	ng/m3	0,036	0,033	0,017	0,01	0,009	0,009	0,01	0,0095	0,0095	0,027	0,024	0,029	0,019	100
GB0048R	cyclopenta_cd_pyrene	pm10	ng/m3	0,014	0,012	0,005	0,004	0,004	0,001	0,01	0,0095	0,0095	0,009	0,0095	0,0085	0,008	100
GB0048R	dibenzo_ae_pyrene	pm10	ng/m3	0,015	0,017	0,007	0,006	0,005	0,003	0,01	0,0095	0,0095	0,009	0,0095	0,0085	0,009	100
GB0048R	dibenzo_ah_anthracene	pm10	ng/m3	0,025	0,014	0,022	0,013	0,009	0,006	0,01	0,0095	0,0095	0,022	0,0095	0,0085	0,013	100
GB0048R	dibenzo_ah_pyrene	pm10	ng/m3	0,002	0,003	0,001	0,002	0,012	0,002	0,01	0,0095	0,0095	0,009	0,0095	0,0085	0,007	100
GB0048R	dibenzo_ai_pyrene	pm10	ng/m3	0,013	0,021	0,01	0,009	0,016	0,003	0,01	0,0095	0,0095	0,009	0,02	0,027	0,013	100
GB0048R	inden_123cd_pyrene	pm10	ng/m3	0,121	0,085	0,063	0,032	0,023	0,011	0,01	0,0095	0,0095	0,057	0,05	0,064	0,045	100
GB0048R	perylene	pm10	ng/m3	0,012	0,008	0,004	0,002	0,001	0,002	0,01	0,0095	0,0095	0,009	0,0095	0,0085	0,007	100
IS0091R	alpha_HCH	air+aerosol	pg/m ³	2,122	1,6143	1,7175	1,8988	1,9619	1,5176	1,5566	2,5642	1,7581	1,2496	1,8557	1,2927	1,760	100
IS0091R	BDE_100	air+aerosol	pg/m ³	0,1575	0,1819	0,2013	0,195	0,1972	0,1951	0,3286	0,2312	0,2131	0,1489	0,1932	0,1461	0,199	100
IS0091R	BDE_47	air+aerosol	pg/m ³	0,1575	0,1819	0,2013	0,195	0,1972	0,1951	0,3286	0,2312	0,2131	0,1489	0,1932	0,1461	0,199	100
IS0091R	BDE_99	air+aerosol	pg/m ³	0,1575	0,1819	0,2013	0,195	0,1972	0,1951	0,3286	0,2312	0,2131	0,1489	0,1932	0,1461	0,199	100
IS0091R	beta_HCH	air+aerosol	pg/m ³	0,1575	0,1819	0,2013	0,195	0,1972	0,2422	0,3408	0,2312	0,2131	0,1489	0,1932	0,1461	0,204	100
IS0091R	cis_CD	air+aerosol	pg/m ³	0,1575	0,1819	0,2013	0,2928	0,2098	0,3419	0,3666	0,2312	0,2131	0,284	0,197	0,2358	0,243	100
IS0091R	dieldrin	air+aerosol	pg/m ³	0,1575	0,1819	0,5102	0,8686	0,5771	0,3973	0,381	0,3363	0,2131	0,2444	0,9152	0,4448	0,435	100
IS0091R	gamma_HCH	air+aerosol	pg/m ³	0,9394	0,5804	0,8656	1,2195	1,296	1,5724	1,5024	2,6712	2,2179	1,218	0,9565	0,8749	1,329	100
IS0091R	HCB	air+aerosol	pg/m ³	8,5581	9,3347	8,8416	7,1729	6,3624	4,6426	6,8193	5,8995	5,8559	4,6266	7,1667	4,8753	6,670	100
IS0091R	op_DDT	air+aerosol	pg/m ³	0,1575	0,1819	0,2013	0,195	0,1972	0,1951	0,3286	0,2312	0,2131	0,1489	0,1932	0,1461	0,199	100
IS0091R	PCB_101	air+aerosol	pg/m ³	0,1575	0,1819	0,2013	0,3478	0,3135	1,1109	0,7772	1,1932	1,1545	0,9709	0,4806	0,3883	0,607	100
IS0091R	PCB_105	air+aerosol	pg/m ³	0,1575	0,1819	0,2013	0,195	0,1972	0,1951	0,3286	0,2312	0,2131	0,1489	0,1932	0,1461	0,199	100
IS0091R	PCB_118	air+aerosol	pg/m ³	0,1575	0,1819	0,2013	0,195	0,1972	0,1951	0,3286	0,2312	0,2131	0,1489	0,1932	0,1461	0,199	100
IS0091R	PCB_138	air+aerosol	pg/m ³	0,1575	0,1819	0,2013	0,195	0,1972	0,1951	0,3286	0,2312	0,2131	0,1489	0,1932	0,1461	0,199	100
IS0091R	PCB_153	air+aerosol	pg/m ³	0,1575	0,1819	0,2013	0,195	0,1972	0,1951	0,3286	0,2312	0,2131	0,1489	0,1932	0,1461	0,199	100
IS0091R	PCB_156	air+aerosol	pg/m ³	0,1575	0,1819	0,2013	0,195	0,1972	0,1951	0,3286	0,2312	0,2131	0,1489	0,1932	0,1461	0,199	100
IS0091R	PCB_180	air+aerosol	pg/m ³	0,1575	0,1819	0,2013	0,195	0,1972	0,1951	0,3286	0,2312	0,2131	0,1489	0,1932	0,1461	0,199	100
IS0091R	PCB_28	air+aerosol	pg/m ³	0,9689	0,4858	1,1779	3,9603	5,2331	7,2294	4,2498	11,4388	7,204	3,9339	2,6896	2,6711	4,280	100
IS0091R	PCB_31	air+aerosol	pg/m ³	0,3927	0,4547	0,5018	1,2741	1,9155	2,3903	1,433	3,6924	2,6112	1,2425	1,2048	1,1771	1,526	100
IS0091R	PCB_52	air+aerosol	pg/m ³	0,3505	0,1899	0,2013	0,5251	0,7813	1,8204	0,937	1,7719	1,6321	1,2962	1,0534	0,9308	0,958	100
IS0091R	pp_DDD	air+aerosol	pg/m ³	0,1575	0,1819	0,2013	0,195	0,1972	0,1951	0,3286	0,2312	0,2131	0,1489	0,1932	0,1461	0,199	100
IS0091R	pp_DDE	air+aerosol	pg/m ³	0,1575	0,1819	0,2013	0,195	0,1972	0,1951	0,3286	0,376	0,2131	0,284	0,197	0,1461	0,223	100

Site	Comp	Matrix	Unit	Jan.	Febr.	March	April	May	June	July	Aug.	Sept.	Oct.	Nov.	Dec.	Year	Capture
IS0091R	pp_DDT	air+aerosol	pg/m ³	0,1575	0,1819	0,2013	0,195	0,1972	0,1951	0,3286	0,2312	0,2131	0,1489	0,1932	0,1461	0,199	100
IS0091R	trans_CD	air+aerosol	pg/m ³	0,1575	0,1819	0,2013	0,195	0,1972	0,1951	0,3286	0,2312	0,2131	0,1489	0,1932	0,1461	0,199	100
IS0091R	trans_NO	air+aerosol	pg/m ³	0,1575	0,1819	0,2013	0,3295	0,3026	0,3696	0,3738	0,376	0,2361	0,3505	0,197	0,2298	0,276	100
NL0091R	benz_a_anthracene	pm10	ng/m3	0,1089	0,0405	0,0293	0,0095	0,0103	0,0067	0,0073	0,006	0,0159	0,0386	0,0977	0,1935	0,048	49
NL0091R	benzo_a_pyrene	pm10	ng/m3	0,1277	0,0505	0,0397	0,012	0,016	0,0082	0,0093	0,0075	0,0215	0,0612	0,1473	0,367	0,072	49
NL0091R	benzo_bjk_fluoranthenes	pm10	ng/m3	0,5776	0,2403	0,2269	0,0793	0,0631	0,0456	0,0454	0,0338	0,0937	0,2791	0,5481	1,093	0,276	49
NL0091R	benzo_ghi_ptylene	pm10	ng/m3	0,2577	0,1127	0,0974	0,0325	0,0269	0,0191	0,0251	0,0223	0,0455	0,1292	0,2339	0,4463	0,120	49
NL0091R	chrysene	pm10	ng/m3	0,2587	0,1142	0,0873	0,0326	0,0305	0,0223	0,0226	0,017	0,0467	0,0865	0,2096	0,4496	0,114	49
NL0091R	dibenzo_ah_anthracene	pm10	ng/m3	0,0319	0,0128	0,0114	0,005	0,0043	0,0041	0,0031	0,0026	0,0078	0,0229	0,036	0,0729	0,018	49
NL0091R	indeno_123cd_ptylene	pm10	ng/m3	0,2402	0,109	0,0949	0,0298	0,0235	0,0206	0,0217	0,0202	0,0423	0,1264	0,2244	0,4911	0,120	49
NO0002R	1-methylnaphthalene	air+aerosol	ng/m3	0,2927	0,094	0,1108	0,0693	0,0309	0,021	0,0293	0,0292	0,0196	0,1098	0,0832	0,1465	0,086	14
NO0002R	1-methylphenanthrene	air+aerosol	ng/m3	0,0809	0,0667	0,0726	0,0749	0,0304	0,0205	0,0349	0,0373	0,0507	0,0496	0,0375	0,1161	0,055	13
NO0002R	2-methylantracene	air+aerosol	ng/m3	0,0034	0,0031	0,0034	0,0028	0,0029	0,0033	0,0023	0,0025	0,0081	0,0022	0,0093	0,005	0,004	11
NO0002R	2-methylnaphthalene	air+aerosol	ng/m3	0,3827	0,1205	0,1492	0,1068	0,0504	0,0332	0,0407	0,0428	0,0277	0,1463	0,111	0,2274	0,119	14
NO0002R	2-methylphenanthrene	air+aerosol	ng/m3	0,1039	0,0852	0,1109	0,0897	0,053	0,0307	0,0468	0,0375	0,0916	0,088	0,0888	0,1001	0,076	14
NO0002R	3-methylphenanthrene	air+aerosol	ng/m3	0,0815	0,0753	0,0887	0,072	0,0458	0,0284	0,0431	0,0322	0,0806	0,0702	0,1019	0,0856	0,066	14
NO0002R	9-methylphenanthrene	air+aerosol	ng/m3	0,0291	0,0305	0,0275	0,0278	0,018	0,0129	0,016	0,0144	0,0289	0,0293	0,0416	0,0351	0,026	14
NO0002R	acenaphthene	air+aerosol	ng/m3	0,2033	0,1594	0,1277	0,1411	0,1365	0,0934	0,1899	0,1117	0,1079	0,0815	0,229	0,1737	0,146	14
NO0002R	acenaphthylene	air+aerosol	ng/m3	0,0451	0,0557	0,0652	0,0263	0,0067	0,004	0,0057	0,0071	0,0042	0,0166	0,0267	0,0679	0,028	13
NO0002R	anthanthrene	air+aerosol	ng/m3	0,0044	0,0046	0,0026	0,0018	0,0012	0,0013	0,0023	0,0018	0,0016	0,0018	0,006	0,0043	0,003	13
NO0002R	anthracene	air+aerosol	ng/m3	0,018	0,033	0,0253	0,0184	0,0063	0,0066	0,0084	0,0142	0,0069	0,0148	0,0573	0,0384	0,021	13
NO0002R	benz_a_anthracene	air+aerosol	ng/m3	0,0225	0,0183	0,0097	0,0068	0,0024	0,002	0,004	0,0026	0,0064	0,0104	0,0142	0,0182	0,010	14
NO0002R	benzo_a_fluoranthene	air+aerosol	ng/m3	0,0064	0,0048	0,0021	0,0022	0,001	0,0012	0,0013	0,0012	0,001	0,0024	0,0019	0,0042	0,003	13
NO0002R	benzo_a_fluorene	air+aerosol	ng/m3	0,0154	0,0175	0,0098	0,0078	0,0022	0,0029	0,005	0,0037	0,0064	0,0074	0,0119	0,0156	0,009	13
NO0002R	benzo_a_pyrene	air+aerosol	ng/m3	0,0281	0,0172	0,0099	0,0093	0,0042	0,0044	0,0082	0,004	0,0037	0,0118	0,0069	0,0159	0,010	13
NO0002R	benzo_b_fluoranthene	air+aerosol	ng/m3	0,0681	0,0709	0,0492	0,0291	0,0128	0,0328	0,1217	0,033	0,0429	0,0262	0,0468	0,0556	0,045	13
NO0002R	benzo_b_fluorene	air+aerosol	ng/m3	0,0081	0,0104	0,0043	0,0036	0,0013	0,0014	0,0025	0,0018	0,0038	0,0029	0,0145	0,0083	0,005	13
NO0002R	benzo_e_pyrene	air+aerosol	ng/m3	0,0434	0,0461	0,0454	0,0243	0,0122	0,0189	0,047	0,0211	0,0335	0,0174	0,0617	0,048	0,034	13
NO0002R	benzo_ghi_fluoranthene	air+aerosol	ng/m3	-	-	-	-	-	-	-	-	-	-	0,1369	-	-	-
NO0002R	benzo_ghi_ptylene	air+aerosol	ng/m3	0,0529	0,0437	0,0317	0,0207	0,0091	0,0158	0,0446	0,0156	0,0216	0,0228	0,0321	0,0438	0,029	14
NO0002R	benzo_k_fluoranthene	air+aerosol	ng/m3	0,0255	0,0234	0,0115	0,0078	0,0032	0,007	0,0161	0,007	0,0092	0,0108	0,0205	0,0175	0,013	13
NO0002R	biphenyl	air+aerosol	ng/m3	0,9337	0,3162	0,4459	0,1877	0,0682	0,0429	0,0381	0,0583	0,0513	0,4648	0,8043	0,3338	0,310	14
NO0002R	chrysene	air+aerosol	ng/m3	0,0717	0,0715	0,0732	0,0446	0,0187	0,0259	0,0422	0,0231	0,0523	0,0286	0,0411	0,0989	0,049	14

Deposition of air pollutants around the North Sea and the North-East Atlantic in 2016

Site	Comp	Matrix	Unit	Jan.	Febr.	March	April	May	June	July	Aug.	Sept.	Oct.	Nov.	Dec.	Year	Capture
NO0002R	coronene	air+aerosol	ng/m3	0,0218	0,0169	0,0106	0,0081	0,0032	0,0045	0,0198	0,0049	0,0072	0,011	0,012	0,0251	0,012	14
NO0002R	cyclopenta_cd_pyrene	air+aerosol	ng/m3	-	0,001	-	0,001	0,001	-	0,002	0,0011	-	-	0,0966	-	-	-
NO0002R	dibenzo_ae_pyrene	air+aerosol	ng/m3	0,0103	0,0102	0,0088	0,0047	0,0028	0,0036	0,0111	0,0059	0,0048	0,0043	0,0049	0,0139	0,007	14
NO0002R	dibenzo_ah_anthracene	air+aerosol	ng/m3	0,0059	0,0072	0,0073	0,0046	0,002	0,0021	0,0047	0,0018	0,0049	0,0043	0,0034	0,0105	0,005	13
NO0002R	dibenzo_ah_pyrene	air+aerosol	ng/m3	0,0122	0,0108	0,0102	0,0043	0,0027	0,003	0,007	0,0078	0,0079	0,0052	0,0052	0,014	0,008	14
NO0002R	dibenzo_ai_pyrene	air+aerosol	ng/m3	0,0112	0,0098	0,0096	0,0043	0,0027	0,003	0,0063	0,0068	0,0072	0,0043	0,0045	0,013	0,007	14
NO0002R	dibenzofuran	air+aerosol	ng/m3	2,4242	1,1176	1,3742	0,8211	0,395	0,2747	0,2247	0,317	0,3674	1,5787	0,6445	1,0053	0,878	14
NO0002R	dibenzothiophene	air+aerosol	ng/m3	0,0231	0,0208	0,0564	0,0408	0,0268	0,0216	0,0217	0,0061	0,0131	0,0108	0,0261	0,0323	0,026	14
NO0002R	fluoranthene	air+aerosol	ng/m3	0,448	0,2773	0,2462	0,1744	0,1126	0,0877	0,1302	0,0896	0,183	0,2898	0,1924	0,2521	0,204	14
NO0002R	fluorene	air+aerosol	ng/m3	1,632	0,7484	0,8132	0,5154	0,3605	0,2946	0,3173	0,3362	0,3771	1,2659	0,5124	0,6639	0,650	14
NO0002R	inden_123cd_pyrene	air+aerosol	ng/m3	0,0548	0,0435	0,0257	0,0174	0,0066	0,0139	0,0261	0,0133	0,0168	0,0222	0,018	0,0442	0,024	13
NO0002R	naphthalene	air+aerosol	ng/m3	1,0573	0,2809	0,1603	0,136	0,0621	0,0622	0,0627	0,0619	0,0615	0,3711	0,2973	0,4187	0,247	14
NO0002R	perylene	air+aerosol	ng/m3	0,0047	0,0037	0,0017	0,0017	0,001	0,001	0,0022	0,001	0,0012	0,0017	0,0021	0,003	0,002	13
NO0002R	phenanthrene	air+aerosol	ng/m3	1,7299	1,0893	1,1637	0,8568	0,8214	0,5859	0,8	0,601	1,406	1,4767	0,9316	1,3977	1,052	14
NO0002R	pyrene	air+aerosol	ng/m3	0,175	0,1557	0,1212	0,0988	0,0437	0,0466	0,0766	0,0473	0,0698	0,0763	0,0975	0,1167	0,094	12
NO0002R	retene	air+aerosol	ng/m3	0,0559	0,0414	0,0597	0,0931	0,0214	0,0252	0,0784	0,0797	0,0601	0,0631	0,0445	0,0645	0,057	14
NO0002R	BDE_100	air+aerosol	pg/m ³	0,008	0,0074	0,0079	0,0075	0,0075	0,0076	0,0079	0,0083	0,0077	0,0085	0,0287	0,0093	0,009	27
NO0002R	BDE_119	air+aerosol	pg/m ³	0,0015	0,0015	0,0015	0,0015	0,0015	0,0016	0,0016	0,0016	0,0015	0,0019	0,0015	0,0026	0,002	25
NO0002R	BDE_138	air+aerosol	pg/m ³	0,0045	0,0045	0,0046	0,0045	0,0045	0,0045	0,0045	0,0046	0,0045	0,0047	0,0044	0,0107	0,005	25
NO0002R	BDE_153	air+aerosol	pg/m ³	0,0047	0,0081	0,0038	0,0038	0,0038	0,0039	0,0049	0,0046	0,0038	0,0103	0,0183	0,0185	0,008	23
NO0002R	BDE_154	air+aerosol	pg/m ³	0,0039	0,0048	0,0035	0,0028	0,0034	0,0028	0,0044	0,0043	0,005	0,0067	0,0135	0,0224	0,007	25
NO0002R	BDE_183	air+aerosol	pg/m ³	0,0101	0,0101	0,0061	0,0075	0,0081	0,0034	0,0138	0,0095	0,0162	0,0216	0,0147	0,084	0,018	24
NO0002R	BDE_196	air+aerosol	pg/m ³	0,0193	0,0192	0,0192	0,0193	0,022	0,0194	0,0194	0,0202	0,0209	0,0192	0,019	0,0248	0,020	25
NO0002R	BDE_206	air+aerosol	pg/m ³	0,0522	0,0523	0,0527	0,0525	0,0528	0,053	0,0549	0,0615	0,0595	0,0504	0,0568	0,1281	0,062	25
NO0002R	BDE_209	air+aerosol	pg/m ³	0,3784	0,381	0,3828	0,6156	0,3833	0,386	0,3869	0,4009	0,3816	0,2868	0,3778	0,6156	0,424	23
NO0002R	BDE_28	air+aerosol	pg/m ³	0,0064	0,0063	0,0062	0,0062	0,0062	0,0062	0,0074	0,0116	0,0096	0,008	0,0092	0,0112	0,008	27
NO0002R	BDE_47	air+aerosol	pg/m ³	0,075	0,0734	0,0738	0,074	0,0743	0,0746	0,0749	0,08	0,0735	0,0738	0,101	0,0755	0,077	28
NO0002R	BDE_49	air+aerosol	pg/m ³	0,0067	0,0064	0,0064	0,0064	0,0065	0,0065	0,0074	0,0116	0,0106	0,0082	0,011	0,0141	0,008	27
NO0002R	BDE_66	air+aerosol	pg/m ³	0,021	0,022	0,0221	0,0221	0,0223	0,0223	0,0224	0,0224	0,022	0,0221	0,0219	0,0221	0,022	28
NO0002R	BDE_71	air+aerosol	pg/m ³	0,0015	0,0014	0,0014	0,0014	0,0014	0,0014	0,0015	0,0015	0,0017	0,0023	0,002	0,0024	0,002	25
NO0002R	BDE_77	air+aerosol	pg/m ³	0,0011	0,0011	0,001	0,001	0,001	0,001	0,0011	0,0012	0,0011	0,0012	0,0011	0,0027	0,001	25
NO0002R	BDE_85	air+aerosol	pg/m ³	0,0018	0,0017	0,0017	0,0017	0,0017	0,0017	0,0017	0,0017	0,0018	0,0021	0,0061	0,0034	0,002	26
NO0002R	BDE_99	air+aerosol	pg/m ³	0,0233	0,0234	0,018	0,0163	0,0163	0,0164	0,0194	0,0254	0,0234	0,0357	0,1346	0,0423	0,032	27
NO0002R	cis_CD	air+aerosol	pg/m ³	0,3495	0,395	0,326	0,4032	0,4895	0,5633	0,6	0,5707	0,5426	0,4196	0,3625	0,3622	0,448	14
NO0002R	cis_NO	air+aerosol	pg/m ³	0,0224	0,0192	0,0146	0,0289	0,0421	0,0656	0,0692	0,073	0,0553	0,0403	0,04	0,04	0,043	14
NO0002R	FTS_6-2	air+aerosol	pg/m ³	0,346	0,346	0,346	0,346	0,346	0,346	0,346	0,346	0,346	0,346	0,346	0,346	0,346	14
NO0002R	a_HBCD	air+aerosol	pg/m ³	0,0713	0,0741	0,0741	0,0743	0,0746	0,0749	0,0753	0,0752	0,0745	0,0741	0,0735	0,074	0,074	27

Site	Comp	Matrix	Unit	Jan.	Febr.	March	April	May	June	July	Aug.	Sept.	Oct.	Nov.	Dec.	Year	Capture	
NO0002R	b_HBCD	air+aerosol	pg/m ³	0,07	0,0679	0,0676	0,0681	0,0684	0,0687	0,069	0,069	0,0683	0,068	0,0673	0,0678	0,068	25	
NO0002R	g_HBCD	air+aerosol	pg/m ³	0,0538	0,052	0,0521	0,0522	0,0524	0,0527	0,0529	0,0529	0,0524	0,0523	0,0516	0,052	0,052	25	
NO0002R	alpha_HCH	air+aerosol	pg/m ³	2,5908	2,345	2,4122	2,7119	3,9323	5,7175	4,8699	5,7021	6,2142	5,4963	3,5644	2,9885	4,025	14	
NO0002R	gamma_HCH	air+aerosol	pg/m ³	1,233	0,9862	1,1561	1,5268	2,7776	4,6431	3,8593	4,2489	3,7818	1,4413	0,9371	1,3237	2,317	14	
NO0002R	HCB	air+aerosol	pg/m ³	68,851	69,0245	65,4476	61,6771	50,3527	40,321	37,3365	42,4482	45,8219	80,8436	81,2441	112,18	4	63,318	14
NO0002R	op_DDD	air+aerosol	pg/m ³	0,0234	0,0198	0,0134	0,0161	0,0191	0,0272	0,0257	0,0265	0,0307	0,0196	0,0168	0,025	0,022	14	
NO0002R	op_DDE	air+aerosol	pg/m ³	0,0917	0,0773	0,0653	0,0537	0,0523	0,0721	0,0485	0,0525	0,0543	0,0747	0,0683	0,0695	0,065	14	
NO0002R	op_DDT	air+aerosol	pg/m ³	0,1328	0,0969	0,1101	0,1252	0,2135	0,3583	0,2818	0,2982	0,307	0,2169	0,1262	0,1282	0,200	14	
NO0002R	PCB_101	air+aerosol	pg/m ³	0,3902	0,3397	0,3268	0,3473	0,509	1,032	0,616	0,6651	0,5334	0,2974	0,2404	0,6283	0,491	14	
NO0002R	PCB_105	air+aerosol	pg/m ³	0,0325	0,0232	0,0218	0,0218	0,0348	0,0648	0,0418	0,0432	0,0317	0,022	0,0143	0,0466	0,033	14	
NO0002R	PCB_114	air+aerosol	pg/m ³	0,0042	0,0037	0,003	0,0033	0,0046	0,0088	0,0063	0,0061	0,0064	0,0035	0,0023	0,006	0,005	14	
NO0002R	PCB_118	air+aerosol	pg/m ³	0,1106	0,084	0,0795	0,0814	0,124	0,24	0,152	0,1606	0,1165	0,0778	0,0525	0,1664	0,120	14	
NO0002R	PCB_122	air+aerosol	pg/m ³	0,0023	0,0023	0,0023	0,0023	0,0024	0,0064	0,0026	0,0024	0,0053	0,0025	0,0023	0,006	0,003	14	
NO0002R	PCB_123	air+aerosol	pg/m ³	0,0029	0,0026	0,0024	0,0025	0,0028	0,0036	0,0033	0,0034	0,0023	0,0024	0,0023	0,0037	0,003	14	
NO0002R	PCB_128	air+aerosol	pg/m ³	0,0211	0,0141	0,0144	0,0148	0,0241	0,0432	0,0299	0,0311	0,0196	0,0107	0,0082	0,0293	0,022	14	
NO0002R	PCB_138	air+aerosol	pg/m ³	0,1274	0,0988	0,099	0,1049	0,171	0,3822	0,2174	0,2307	0,1875	0,0787	0,0629	0,2143	0,164	14	
NO0002R	PCB_141	air+aerosol	pg/m ³	0,0319	0,0249	0,0271	0,03	0,0533	0,1229	0,0681	0,0728	0,0564	0,0208	0,0179	0,063	0,049	14	
NO0002R	PCB_149	air+aerosol	pg/m ³	0,2218	0,2005	0,1968	0,2151	0,345	0,7345	0,4352	0,4704	0,3931	0,1527	0,1289	0,3721	0,321	14	
NO0002R	PCB_153	air+aerosol	pg/m ³	0,2106	0,1756	0,1698	0,1809	0,2845	0,6116	0,362	0,3844	0,3898	0,1585	0,1277	0,3954	0,286	14	
NO0002R	PCB_156	air+aerosol	pg/m ³	0,0086	0,0052	0,0055	0,0055	0,0081	0,0158	0,0094	0,0097	0,0085	0,0046	0,0034	0,0096	0,008	14	
NO0002R	PCB_157	air+aerosol	pg/m ³	0,0021	0,0015	0,0014	0,0016	0,0015	0,0024	0,0017	0,002	0,0018	0,0016	0,0014	0,0028	0,002	14	
NO0002R	PCB_167	air+aerosol	pg/m ³	0,0048	0,0034	0,0031	0,0032	0,0048	0,0087	0,0057	0,0061	0,0042	0,0023	0,0017	0,006	0,005	14	
NO0002R	PCB_170	air+aerosol	pg/m ³	0,0182	0,0103	0,011	0,0111	0,0187	0,0365	0,0209	0,0211	0,0165	0,0075	0,0062	0,0217	0,017	14	
NO0002R	PCB_18	air+aerosol	pg/m ³	1,2422	1,0962	1,0329	0,9102	1,0258	1,5398	0,7874	1,0908	0,8477	1,0362	0,9604	0,8585	1,026	14	
NO0002R	PCB_180	air+aerosol	pg/m ³	0,0475	0,0323	0,0326	0,0348	0,0607	0,1225	0,0709	0,0747	0,0531	0,0203	0,0251	0,0551	0,052	14	
NO0002R	PCB_183	air+aerosol	pg/m ³	0,0149	0,0125	0,0128	0,0136	0,023	0,0538	0,0303	0,0318	0,0232	0,0072	0,0081	0,0214	0,021	14	
NO0002R	PCB_187	air+aerosol	pg/m ³	0,0497	0,0445	0,0405	0,0441	0,0742	0,1454	0,0873	0,0934	0,0663	0,0204	0,0214	0,074	0,063	14	
NO0002R	PCB_189	air+aerosol	pg/m ³	0,0022	0,002	0,002	0,002	0,002	0,0022	0,0021	0,0021	0,0022	0,002	0,002	0,002	0,002	14	
NO0002R	PCB_194	air+aerosol	pg/m ³	0,0069	0,0036	0,0037	0,0032	0,0047	0,0072	0,0037	0,0043	0,0044	0,0025	0,0028	0,005	0,004	13	
NO0002R	PCB_206	air+aerosol	pg/m ³	0,0043	0,0026	0,0024	0,002	0,0021	0,0033	0,0023	0,0021	0,0034	0,0021	0,002	0,0039	0,003	14	
NO0002R	PCB_209	air+aerosol	pg/m ³	0,0051	0,0036	0,002	0,0024	0,0024	0,0027	0,002	0,0019	0,0023	0,0015	0,003	0,0038	0,003	14	
NO0002R	PCB_28	air+aerosol	pg/m ³	0,697	0,6104	0,5786	0,5331	0,7047	1,3904	0,6724	0,7866	0,6849	0,7946	0,6729	0,8225	0,740	14	
NO0002R	PCB_31	air+aerosol	pg/m ³	0,648	0,5652	0,5448	0,5009	0,659	1,2433	0,6186	0,7056	0,6104	0,6299	0,542	0,7077	0,660	14	
NO0002R	PCB_33	air+aerosol	pg/m ³	0,3961	0,3297	0,3183	0,2781	0,3618	0,662	0,3404	0,3506	0,3351	0,3284	0,2599	0,3907	0,361	14	
NO0002R	PCB_37	air+aerosol	pg/m ³	0,0731	0,0513	0,05	0,0421	0,0632	0,1103	0,0652	0,0721	0,0622	0,0407	0,0307	0,0758	0,062	14	
NO0002R	PCB_47	air+aerosol	pg/m ³	0,422	0,372	0,4538	0,5025	0,8214	1,5414	1,1459	1,1574	1,3753	0,5507	0,2921	0,7773	0,786	14	

Deposition of air pollutants around the North Sea and the North-East Atlantic in 2016

Site	Comp	Matrix	Unit	Jan.	Febr.	March	April	May	June	July	Aug.	Sept.	Oct.	Nov.	Dec.	Year	Capture
NO0002R	PCB_52	air+aerosol	pg/m ³	0,6926	0,6309	0,6046	0,6033	0,787	1,4886	0,898	0,9875	0,9047	0,6382	0,5333	1,0093	0,810	14
NO0002R	PCB_66	air+aerosol	pg/m ³	0,1745	0,1432	0,1423	0,1356	0,2102	0,3903	0,2342	0,2579	0,2101	0,1335	0,101	0,2147	0,195	14
NO0002R	PCB_74	air+aerosol	pg/m ³	0,1112	0,0928	0,0912	0,09	0,1358	0,2792	0,1483	0,1627	0,172	0,1196	0,0937	0,1779	0,139	14
NO0002R	PCB_99	air+aerosol	pg/m ³	0,1607	0,145	0,1238	0,1301	0,1763	0,3016	0,1906	0,2559	0,1384	0,1007	0,0803	0,2242	0,164	14
NO0002R	PFBS	air+aerosol	pg/m ³	0,017	0,0228	0,0192	0,017	0,017	0,024	0,017	0,017	0,017	0,017	0,017	0,017	0,018	14
NO0002R	PFDcA	air+aerosol	pg/m ³	0,0145	0,023	0,0368	0,0315	0,0574	0,055	0,0325	0,0318	0,0432	0,0116	0,009	0,009	0,030	14
NO0002R	PFDcS	air+aerosol	pg/m ³	0,035	0,035	0,035	0,035	0,035	0,035	0,035	0,0392	0,035	0,035	0,035	0,035	0,035	14
NO0002R	PFHpA	air+aerosol	pg/m ³	0,0323	0,0374	0,026	0,0447	0,0514	0,0448	0,1067	0,045	0,026	0,026	0,026	0,026	0,041	14
NO0002R	PFHxA	air+aerosol	pg/m ³	-	-	-	-	-	-	-	-	0,035	0,0404	0,0927	0,0673	-	-
NO0002R	PFHxS	air+aerosol	pg/m ³	0,0173	0,0178	0,014	0,014	0,0162	0,0348	0,0242	0,014	0,0268	0,014	0,0143	0,016	0,018	14
NO0002R	PFNA	air+aerosol	pg/m ³	0,018	0,027	0,0435	0,0235	0,08	0,0573	0,0653	0,036	0,0473	0,018	0,0228	0,036	0,039	12
NO0002R	PFOA	air+aerosol	pg/m ³	-	-	-	-	-	-	-	-	0,1825	0,0778	0,0645	0,1348	-	-
NO0002R	PFOS	air+aerosol	pg/m ³	0,017	0,019	0,0713	0,0478	0,0338	0,0367	0,023	0,017	0,0415	0,017	0,017	0,017	0,029	14
NO0002R	PFOSA	air+aerosol	pg/m ³	0,017	0,017	0,017	0,0185	0,017	0,0428	0,0325	0,017	0,017	0,0224	0,017	0,017	0,021	14
NO0002R	PFUnA	air+aerosol	pg/m ³	0,009	0,009	0,009	0,009	0,0144	0,011	0,0205	0,0096	0,009	0,009	0,009	0,009	0,011	14
NO0002R	pp_DDD	air+aerosol	pg/m ³	0,0222	0,015	0,0131	0,0156	0,015	0,023	0,02	0,0175	0,0175	0,0169	0,0126	0,021	0,018	14
NO0002R	pp_DDE	air+aerosol	pg/m ³	1,1411	0,9335	0,7843	0,629	0,727	0,8708	0,7122	0,7993	0,9853	1,1636	0,8586	0,9318	0,878	14
NO0002R	pp_DDT	air+aerosol	pg/m ³	0,2048	0,0945	0,1062	0,1342	0,2365	0,3811	0,3699	0,3299	0,3164	0,1712	0,1274	0,1204	0,218	14
NO0002R	sum_DDT	air+aerosol	pg/m ³	1,6159	1,237	1,0924	0,9739	1,2634	1,7325	1,458	1,524	1,7112	1,6629	1,21	1,2959	1,401	14
NO0002R	TBA	air+aerosol	pg/m ³	4,2869	3,3357	3,916	4,0456	2,7927	4,0398	3,4632	3,7653	4,8103	5,6694	6,3851	4,3335	4,223	28
NO0002R	trans_CD	air+aerosol	pg/m ³	0,2401	0,2493	0,193	0,2104	0,181	0,2011	0,1756	0,1495	0,2125	0,1852	0,2277	0,1764	0,200	14
NO0002R	trans_NO	air+aerosol	pg/m ³	0,4157	0,3641	0,3265	0,4446	0,4992	0,5389	0,504	0,498	0,4172	0,346	0,317	0,3245	0,417	14
NO0042G	1-methylnaphthalene	air+aerosol	ng/m3	0,1504	0,2177	0,0461	0,0279	0,0219	0,0159	0,0189	0,0369	0,0184	0,0229	0,0905	0,0835	0,063	28
NO0042G	1-methylphenanthrene	air+aerosol	ng/m3	0,004	0,0056	0,0025	0,0029	0,0055	0,002	0,0033	0,0034	0,002	0,0019	0,0022	0,0065	0,004	27
NO0042G	2-methylantracene	air+aerosol	ng/m3	0,0014	0,0015	0,0017	0,0022	0,0016	0,0012	0,0046	0,0031	0,0021	0,0022	0,0023	0,005	0,003	22
NO0042G	2-methylnaphthalene	air+aerosol	ng/m3	0,2054	0,3085	0,0691	0,0514	0,0403	0,0296	0,0355	0,0719	0,0364	0,0353	0,132	0,108	0,095	28
NO0042G	2-methylphenanthrene	air+aerosol	ng/m3	0,0055	0,0087	0,003	0,0038	0,0091	0,0031	0,0055	0,006	0,0035	0,0032	0,0036	0,017	0,006	28
NO0042G	3-methylphenanthrene	air+aerosol	ng/m3	0,0042	0,0058	0,0026	0,0031	0,0081	0,0025	0,0044	0,0048	0,0029	0,0027	0,003	0,0145	0,005	28
NO0042G	9-methylphenanthrene	air+aerosol	ng/m3	0,0027	0,0029	0,0019	0,0028	0,0045	0,0021	0,0034	0,0033	0,0022	0,0018	0,0018	0,0084	0,003	27
NO0042G	acenaphthene	air+aerosol	ng/m3	0,008	0,0142	0,0047	0,0045	0,0102	0,0063	0,0028	0,0042	0,004	0,0027	0,0057	0,005	0,006	28
NO0042G	acenaphthylene	air+aerosol	ng/m3	0,0026	0,0031	0,003	0,0023	0,0023	0,0039	0,0031	0,0033	0,0029	0,0046	0,0038	0,0097	0,004	28
NO0042G	anthanthrene	air+aerosol	ng/m3	0,0012	0,0018	0,002	0,0013	0,001	0,001	0,0011	0,0017	0,0011	0,0011	0,0012	0,001	0,001	28
NO0042G	anthracene	air+aerosol	ng/m3	0,002	0,0022	0,0014	0,0018	0,0018	0,0011	0,0028	0,0021	0,0013	0,002	0,0016	0,0018	0,002	28
NO0042G	benz_a_anthracene	air+aerosol	ng/m3	0,0026	0,0056	0,0013	0,001	0,0013	0,001	0,001	0,0011	0,001	0,0011	0,0015	0,001	0,002	28
NO0042G	benzo_a_fluoranthene	air+aerosol	ng/m3	0,001	0,001	0,001	0,001	0,001	0,001	0,001	0,001	0,001	0,001	0,001	0,001	0,001	28
NO0042G	benzo_a_fluorene	air+aerosol	ng/m3	0,0017	0,0025	0,001	0,001	0,0013	0,001	0,0013	0,002	0,001	0,0013	0,0013	0,001	0,001	28

Site	Comp	Matrix	Unit	Jan.	Febr.	March	April	May	June	July	Aug.	Sept.	Oct.	Nov.	Dec.	Year	Capture
NO0042G	benzo_a_pyrene	air+aerosol	ng/m3	0,0019	0,0033	0,0016	0,001	0,0026	0,001	0,001	0,001	0,001	0,0012	0,0014	0,001	0,002	28
NO0042G	benzo_b_fluoranthene	air+aerosol	ng/m3	0,0084	0,0144	0,0039	0,001	0,0105	0,001	0,001	0,0012	0,001	0,0014	0,0026	0,0013	0,004	28
NO0042G	benzo_b_fluorene	air+aerosol	ng/m3	0,0012	0,0015	0,001	0,001	0,001	0,001	0,0019	0,002	0,001	0,0014	0,0011	0,001	0,001	28
NO0042G	benzo_e_pyrene	air+aerosol	ng/m3	0,0047	0,0086	0,0024	0,001	0,0066	0,001	0,001	0,0011	0,001	0,0012	0,0019	0,0011	0,003	28
NO0042G	benzo_ghi_fluoranthene	air+aerosol	ng/m3	0,001	-	0,001	0,001	0,001	0,001	0,001	0,0011	0,001	0,001	0,001	0,001	0,001	20
NO0042G	benzo_ghi_perylene	air+aerosol	ng/m3	0,0051	0,0092	0,0023	0,001	0,0044	0,001	0,001	0,0016	0,001	0,0014	0,002	0,001	0,003	28
NO0042G	benzo_k_fluoranthene	air+aerosol	ng/m3	0,0032	0,0057	0,0016	0,001	0,0031	0,001	0,001	0,0012	0,001	0,0012	0,0014	0,001	0,002	28
NO0042G	biphenyl	air+aerosol	ng/m3	0,7323	1,1689	0,4238	0,0908	0,0284	0,017	0,0202	0,0307	0,029	0,1176	0,3915	0,3681	0,284	28
NO0042G	chrysene	air+aerosol	ng/m3	0,0073	0,0144	0,0035	0,0011	0,0074	0,001	0,0011	0,0016	0,001	0,0015	0,0027	0,0013	0,004	28
NO0042G	coronene	air+aerosol	ng/m3	0,0043	0,0057	0,0042	0,002	0,0013	0,002	0,0012	0,0033	0,002	0,0018	0,0021	0,0025	0,003	28
NO0042G	cyclopenta_cd_pyrene	air+aerosol	ng/m3	0,001	0,001	0,001	0,001	0,001	0,001	0,001	0,001	0,001	0,001	0,001	0,001	0,001	25
NO0042G	dibenzo_ae_pyrene	air+aerosol	ng/m3	0,0051	0,0056	0,0062	0,0033	0,0021	0,003	0,0022	0,0062	0,003	0,003	0,0027	0,0032	0,004	28
NO0042G	dibenzo_ah_anthracene	air+aerosol	ng/m3	0,0013	0,0015	0,0019	0,0013	0,0011	0,0016	0,0011	0,0025	0,0015	0,0015	0,0015	0,0015	0,002	28
NO0042G	dibenzo_ah_pyrene	air+aerosol	ng/m3	0,0056	0,0066	0,0075	0,0038	0,0019	0,0042	0,003	0,0077	0,0037	0,0038	0,0039	0,0042	0,005	28
NO0042G	dibenzo_ai_pyrene	air+aerosol	ng/m3	0,0054	0,0057	0,0072	0,0034	0,0019	0,0036	0,0025	0,007	0,0033	0,0034	0,0037	0,0042	0,004	28
NO0042G	dibenzofuran	air+aerosol	ng/m3	0,9806	1,7089	0,5886	0,1624	0,0771	0,0284	0,038	0,0584	0,0875	0,2504	0,6142	0,5081	0,425	28
NO0042G	dibenzothiophene	air+aerosol	ng/m3	0,0037	0,0051	0,0025	0,0013	0,0042	0,001	0,0014	0,0014	0,001	0,002	0,0066	0,0107	0,004	28
NO0042G	fluoranthene	air+aerosol	ng/m3	0,0425	0,0878	0,0159	0,0058	0,0223	0,0052	0,0078	0,0103	0,0052	0,0088	0,0176	0,011	0,020	28
NO0042G	fluorene	air+aerosol	ng/m3	0,4328	0,7356	0,114	0,0234	0,0596	0,0136	0,0158	0,0279	0,0263	0,0854	0,2882	0,1813	0,172	28
NO0042G	inden_123cd_pyrene	air+aerosol	ng/m3	0,0056	0,008	0,0023	0,001	0,0042	0,001	0,001	0,0013	0,0011	0,0012	0,0018	0,001	0,003	28
NO0042G	naphthalene	air+aerosol	ng/m3	1,4154	1,9589	0,5363	0,2545	0,1123	0,1042	0,183	0,2231	0,1361	0,1561	0,8249	1,1615	0,592	28
NO0042G	perylene	air+aerosol	ng/m3	0,001	0,001	0,001	0,001	0,001	0,001	0,001	0,001	0,001	0,0011	0,001	0,001	0,001	28
NO0042G	phenanthrene	air+aerosol	ng/m3	0,0845	0,2319	0,0322	0,0252	0,1358	0,0155	0,028	0,0335	0,0163	0,0238	0,0426	0,0799	0,064	28
NO0042G	BDE_100	air+aerosol	pg/m ³	0,0106	0,0067	0,0067	0,0067	0,0067	0,0084	0,0068	0,0242	0,0688	0,0179	0,0161	0,0126	0,016	40
NO0042G	BDE_119	air+aerosol	pg/m ³	0,0014	0,0014	0,0014	0,002	0,0014	0,0014	0,0014	0,0318	0,0061	0,015	0,0038	0,0026	0,006	40
NO0042G	BDE_138	air+aerosol	pg/m ³	0,0041	0,004	0,004	0,004	0,0041	0,0041	0,0041	0,0041	0,0041	0,0041	0,0036	0,0034	0,004	41
NO0042G	BDE_153	air+aerosol	pg/m ³	0,0035	0,0034	0,0034	0,0034	0,0034	0,0035	0,0035	0,0035	0,0036	0,0043	0,0031	0,0036	0,004	41
NO0042G	BDE_154	air+aerosol	pg/m ³	0,0025	0,0025	0,0025	0,0025	0,0025	0,0025	0,0025	0,0025	0,0039	0,0025	0,0023	-	0,003	39
NO0042G	BDE_183	air+aerosol	pg/m ³	0,003	0,003	0,003	0,003	0,003	0,003	0,003	0,003	0,003	0,003	0,0027	0,0027	0,003	41
NO0042G	BDE_196	air+aerosol	pg/m ³	0,0175	0,0172	0,0171	0,0171	0,0174	0,0173	0,0175	0,0175	0,0173	0,0175	0,0156	0,0145	0,017	41
NO0042G	BDE_206	air+aerosol	pg/m ³	0,0476	0,0466	0,0467	0,0468	0,0471	0,0473	0,0478	0,0478	0,0644	0,0478	0,0425	0,0832	0,050	39
NO0042G	BDE_209	air+aerosol	pg/m ³	0,3494	0,339	0,3429	0,36	0,3421	0,3442	0,3476	0,4364	0,4788	0,3472	0,3094	2,3056	0,454	35
NO0042G	BDE_28	air+aerosol	pg/m ³	0,0079	0,0055	0,0056	0,0055	0,0084	0,0073	0,0056	0,0071	0,0177	0,0112	0,0103	0,0132	0,009	41
NO0042G	BDE_47	air+aerosol	pg/m ³	0,4293	0,0924	0,0766	0,0658	0,5156	0,1765	0,1032	0,9269	0,9705	0,3606	0,47	0,2438	0,381	41
NO0042G	BDE_49	air+aerosol	pg/m ³	0,0094	0,0057	0,0057	0,0057	0,0076	0,007	0,0059	0,0176	0,0288	0,0143	0,0161	0,0107	0,011	41
NO0042G	BDE_66	air+aerosol	pg/m ³	0,0201	0,0197	0,0196	0,0197	0,02	0,02	0,0201	0,0247	0,026	0,0205	0,0195	0,0166	0,021	41

Deposition of air pollutants around the North Sea and the North-East Atlantic in 2016

Site	Comp	Matrix	Unit	Jan.	Febr.	March	April	May	June	July	Aug.	Sept.	Oct.	Nov.	Dec.	Year	Capture
NO0042G	BDE_71	air+aerosol	pg/m ³	0,0012	0,0012	0,0012	0,0012	0,0012	0,0013	0,0012	0,0028	0,003	0,004	0,0011	0,0017	0,002	39
NO0042G	BDE_77	air+aerosol	pg/m ³	0,001	0,001	0,001	0,001	0,001	0,001	0,001	0,001	0,0012	0,001	0,001	0,0027	0,001	41
NO0042G	BDE_85	air+aerosol	pg/m ³	0,0015	0,0015	0,0015	0,0025	0,0015	0,0015	0,0015	0,0015	0,0015	0,0026	0,0014	0,0013	0,002	40
NO0042G	BDE_99	air+aerosol	pg/m ³	0,0187	0,0145	0,0144	0,0145	0,0146	0,0251	0,0148	0,0279	0,1009	0,0404	0,0217	0,0255	0,028	40
NO0042G	cis_CD	air+aerosol	pg/m ³	0,4113	0,3509	0,4272	0,4	0,3502	0,3016	0,3481	0,3159	0,4428	0,4455	0,4243	0,3837	0,383	28
NO0042G	cis_NO	air+aerosol	pg/m ³	0,0181	0,026	0,0253	0,0284	0,0422	0,0479	0,0496	0,0451	0,0585	0,0467	0,0307	0,0217	0,038	28
NO0042G	trans_CD	air+aerosol	pg/m ³	0,2665	0,2184	0,2485	0,1819	0,1024	0,0669	0,0618	0,0661	0,1081	0,16	0,2203	0,1845	0,155	27
NO0042G	trans_NO	air+aerosol	2016	0,3894	0,3377	0,3867	0,408	0,3303	0,2859	0,2981	0,2258	0,3217	0,3665	0,3639	0,3255	0,335	28
NO0042G	FTS_6-2	air+aerosol	pg/m ³	0,154	0,154	0,154	0,154	0,154	0,154	0,154	0,154	0,154	0,154	0,154	0,154	0,154	28
NO0042G	a_HBCD	air+aerosol	pg/m ³	0,1108	0,0656	0,066	0,0667	0,0666	0,0669	0,0677	0,0676	0,0669	0,0676	0,0602	0,0559	0,071	39
NO0042G	b_HBCD	air+aerosol	pg/m ³	0,0741	0,0401	0,0581	0,0611	0,0611	0,0652	0,0621	0,0619	0,0613	0,0619	0,0551	0,0512	0,060	31
NO0042G	g_HBCD	air+aerosol	pg/m ³	0,0506	0,0353	0,0464	0,0469	0,0468	0,0471	0,0482	0,0475	0,047	0,0475	0,0423	0,0393	0,046	38
NO0042G	alpha_HCH	air+aerosol	pg/m ³	3,0758	3,3155	3,526	3,4533	3,1651	3,9285	5,4824	5,7955	5,8285	4,4424	3,7362	3,7863	4,204	28
NO0042G	gamma_HCH	air+aerosol	pg/m ³	0,5651	0,7454	0,596	0,553	0,5611	0,4197	0,9403	0,6427	1,0005	0,8329	0,6414	0,5001	0,689	27
NO0042G	HCB	air+aerosol	pg/m ³	71,007	74,1949	83,8551	82,4214	85,8721	89,0922	70,3833	96,1865	93,0008	90,211	88,056	78,706 3	83,135	29
NO0042G	PCB_101	air+aerosol	pg/m ³	0,3602	0,4013	0,2947	0,2578	0,1957	0,1501	0,3282	0,191	0,2758	0,259	0,2786	0,2428	0,275	28
NO0042G	PCB_105	air+aerosol	pg/m ³	0,0368	0,047	0,024	0,0193	0,0123	0,0079	0,0196	0,0093	0,0207	0,023	0,027	0,0227	0,023	28
NO0042G	PCB_114	air+aerosol	pg/m ³	0,0042	0,0052	0,0032	0,0024	0,0033	0,0021	0,0038	0,0025	0,0035	0,0035	0,0039	0,0028	0,004	27
NO0042G	PCB_118	air+aerosol	pg/m ³	0,1216	0,147	0,0813	0,0662	0,0444	0,0298	0,0703	0,0327	0,0693	0,0768	0,0887	0,0692	0,076	28
NO0042G	PCB_122	air+aerosol	pg/m ³	0,0015	0,0016	0,0013	0,0021	0,0013	0,0014	0,0022	0,0014	0,0023	0,0025	0,0026	0,0022	0,002	28
NO0042G	PCB_123	air+aerosol	pg/m ³	0,0029	0,0034	0,0022	0,0017	0,0013	0,0014	0,0014	0,0014	0,0017	0,0017	0,0016	0,0016	0,002	28
NO0042G	PCB_128	air+aerosol	pg/m ³	0,016	0,0211	0,0118	0,0105	0,0063	0,0032	0,0086	0,0044	0,0092	0,0112	0,0108	0,0122	0,011	28
NO0042G	PCB_138	air+aerosol	pg/m ³	0,0965	0,1215	0,0758	0,0636	0,047	0,0281	0,0605	0,031	0,0688	0,0816	0,0794	0,0628	0,069	28
NO0042G	PCB_141	air+aerosol	pg/m ³	0,0214	0,0284	0,018	0,0149	0,0117	0,0078	0,0145	0,0097	0,0194	0,0224	0,0206	0,0171	0,017	28
NO0042G	PCB_149	air+aerosol	pg/m ³	0,1572	0,1906	0,139	0,1157	0,0994	0,0636	0,1276	0,0824	0,1497	0,1664	0,154	0,133	0,133	28
NO0042G	PCB_153	air+aerosol	pg/m ³	0,1418	0,1761	0,1187	0,095	0,0776	0,0474	0,0939	0,0538	0,1106	0,1385	0,1277	0,11	0,109	28
NO0042G	PCB_156	air+aerosol	pg/m ³	0,0058	0,0082	0,0041	0,0025	0,0018	0,0015	0,0026	0,0017	0,003	0,0039	0,0044	0,0035	0,004	26
NO0042G	PCB_157	air+aerosol	pg/m ³	0,0014	0,0017	0,0011	0,001	0,001	0,001	0,001	0,001	0,001	0,0011	0,0012	0,0011	0,001	29
NO0042G	PCB_167	air+aerosol	pg/m ³	0,0029	0,0041	0,0024	0,0015	0,001	0,001	0,0012	0,001	0,0016	0,002	0,0022	0,0019	0,002	27
NO0042G	PCB_170	air+aerosol	pg/m ³	0,0064	0,01	0,0063	0,0045	0,0042	0,0029	0,0039	0,003	0,0058	0,0075	0,006	0,0049	0,006	27
NO0042G	PCB_18	air+aerosol	pg/m ³	1,6874	1,8561	1,6041	1,4	1,1536	1,5675	4,5999	3,1772	2,5581	1,7422	2,7614	0,9111	2,282	29
NO0042G	PCB_180	air+aerosol	pg/m ³	0,0202	0,0301	0,0191	0,0141	0,0111	0,0076	0,0117	0,0086	0,0171	0,0228	0,0192	0,0132	0,016	29
NO0042G	PCB_183	air+aerosol	pg/m ³	0,009	0,012	0,0085	0,0071	0,0053	0,0036	0,0059	0,0043	0,0081	0,0102	0,0086	0,0056	0,007	28
NO0042G	PCB_187	air+aerosol	pg/m ³	0,0281	0,0368	0,0272	0,0219	0,0167	0,0101	0,0177	0,012	0,0242	0,0282	0,0241	0,0168	0,022	29
NO0042G	PCB_189	air+aerosol	pg/m ³	0,0011	0,0011	0,0011	0,0011	0,0011	0,0012	0,0011	0,0012	0,0012	0,0011	0,0012	0,0012	0,001	29
NO0042G	PCB_194	air+aerosol	pg/m ³	0,0014	0,0025	0,0012	0,0011	0,0011	0,0011	0,0011	0,0011	0,0014	0,002	0,0016	0,0012	0,001	28

Site	Comp	Matrix	Unit	Jan.	Febr.	March	April	May	June	July	Aug.	Sept.	Oct.	Nov.	Dec.	Year	Capture
NO0042G	PCB_206	air+aerosol	pg/m ³	0,0012	0,0015	0,0011	0,0011	0,0011	0,0012	0,0012	0,0012	0,0013	0,0014	0,0012	0,0012	0,001	29
NO0042G	PCB_209	air+aerosol	pg/m ³	0,0035	0,0052	0,0028	0,0024	0,0018	0,0015	0,0022	0,0014	0,0026	0,0029	0,0027	0,0022	0,003	28
NO0042G	PCB_28	air+aerosol	pg/m ³	1,1373	1,224	1,0128	0,8874	0,9694	1,4345	4,2381	2,7259	1,7286	1,3754	1,8926	1,1903	1,829	29
NO0042G	PCB_31	air+aerosol	pg/m ³	1,0533	1,121	0,931	0,8328	0,8946	1,3302	4,0169	2,621	1,7113	1,2335	1,7931	0,8472	1,708	29
NO0042G	PCB_33	air+aerosol	pg/m ³	0,743	0,7898	0,6762	0,5996	0,6511	1,0296	3,1424	2,0189	1,1913	0,8265	1,2574	0,5251	1,262	29
NO0042G	PCB_37	air+aerosol	pg/m ³	0,1193	0,1266	0,0874	0,071	0,0972	0,1518	0,4089	0,2446	0,1415	0,1141	0,1543	0,0762	0,167	29
NO0042G	PCB_47	air+aerosol	pg/m ³	0,3175	0,3599	0,2932	0,252	0,2309	0,2577	0,6382	0,5093	0,3277	0,308	0,4007	0,2808	0,368	28
NO0042G	PCB_52	air+aerosol	pg/m ³	0,7263	0,8	0,6697	0,5581	0,5082	0,5076	1,2646	0,8648	0,7537	0,7158	0,8754	0,5997	0,776	28
NO0042G	PCB_66	air+aerosol	pg/m ³	0,1876	0,215	0,1498	0,1131	0,107	0,1114	0,2617	0,1618	0,1386	0,1551	0,1783	0,1005	0,165	28
NO0042G	PCB_74	air+aerosol	pg/m ³	0,1284	0,1488	0,1098	0,0842	0,084	0,0776	0,1895	0,1176	0,112	0,1337	0,1464	0,1091	0,126	28
NO0042G	PCB_99	air+aerosol	pg/m ³	0,1675	0,1887	0,13	0,1148	0,0661	0,0434	0,1095	0,0562	0,1	0,0977	0,103	0,0893	0,107	28
NO0042G	PFBS	air+aerosol	pg/m ³	0,008	0,008	0,008	0,008	0,0083	0,01	0,0082	0,008	0,008	0,008	0,008	0,008	0,008	28
NO0042G	PFDCa	air+aerosol	pg/m ³	0,004	0,0108	0,0116	0,0225	0,0127	0,0108	0,033	0,0156	0,0173	0,0085	0,0259	0,079	0,022	28
NO0042G	PFDCS	air+aerosol	pg/m ³	0,015	0,015	0,015	0,015	0,015	0,015	0,015	0,015	0,015	0,015	0,015	0,015	0,015	28
NO0042G	PFHpA	air+aerosol	pg/m ³	0,0125	0,0145	0,0582	0,0355	0,036	0,0511	0,0595	0,0282	0,0136	0,0203	0,03	0,0715	0,037	28
NO0042G	PFHxA	air+aerosol	pg/m ³	0,015	0,015	0,0194	0,015	0,0253	0,0248	0,0472	0,0286	0,0172	0,028	0,0172	0,015	0,022	28
NO0042G	PFHxS	air+aerosol	pg/m ³	0,0067	0,0097	0,0078	0,006	0,006	0,006	0,006	0,0062	0,0062	0,0063	0,006	0,006	0,007	28
NO0042G	PFNA	air+aerosol	pg/m ³	0,008	0,0107	0,0134	0,01	0,008	0,0297	0,024	0,0134	0,0133	0,0173	0,0477	0,0927	0,026	22
NO0042G	PFOA	air+aerosol	pg/m ³	0,1132	0,118	0,0774	0,0605	0,0627	0,111	0,175	0,0613	0,0536	0,0675	0,1603	0,185	0,106	28
NO0042G	PFOS	air+aerosol	pg/m ³	0,0425	0,015	0,015	0,015	0,015	0,0152	0,0205	0,015	0,015	0,015	0,0152	0,0291	0,019	28
NO0042G	PFOSA	air+aerosol	pg/m ³	0,008	0,0295	0,0252	0,0212	0,121	0,1581	0,1772	0,0604	0,0464	0,0403	0,008	0,029	0,060	28
NO0042G	PFUnA	air+aerosol	pg/m ³	0,004	0,004	0,0068	0,004	0,004	0,0047	0,004	0,004	0,004	0,006	0,004	0,0144	0,006	28
NO0042G	pp_DDD	air+aerosol	pg/m ³	0,0085	0,0098	0,007	0,0078	0,0071	0,0074	0,0061	0,0076	0,0081	0,0084	0,0092	0,0082	0,008	27
NO0042G	pp_DDE	air+aerosol	pg/m ³	0,9426	1,124	0,4773	0,1387	0,0818	0,0446	0,0599	0,0417	0,112	0,4777	0,7073	0,441	0,388	27
NO0042G	pp_DDT	air+aerosol	pg/m ³	0,0929	0,1164	0,0448	0,0219	0,0162	0,0138	0,0253	0,0144	0,0336	0,0579	0,0761	0,0397	0,048	26
NO0042G	sum_DDT	air+aerosol	pg/m ³	1,3313	1,5479	0,7342	0,2799	0,163	0,096	0,1491	0,1041	0,2342	0,7101	0,9745	0,653	0,573	28
NO0042G	op_DDD	air+aerosol	pg/m ³	0,015	0,016	0,009	0,0084	0,0068	0,0071	0,0059	0,0073	0,0079	0,0118	0,0133	0,0139	0,010	26
NO0042G	op_DDE	air+aerosol	pg/m ³	0,1235	0,1152	0,078	0,0362	0,016	0,0106	0,0119	0,0106	0,0183	0,0449	0,0594	0,0679	0,047	28
NO0042G	op_DDT	air+aerosol	pg/m ³	0,1487	0,1665	0,1182	0,067	0,0321	0,0126	0,0457	0,0218	0,0543	0,1095	0,1061	0,0837	0,080	28
NO0042G	TBA	air+aerosol	pg/m ³	7,3059	5,7433	3,9712	1,6532	3,8809	5,587	6,8736	8,9845	7,7198	8,9719	9,8239	7,8514	6,455	41
NO0090R	BDE_100	air+aerosol	pg/m ³	0,0061	0,0049	0,0054	0,0069	0,0049	0,0049	0,0051	0,005	0,0053	0,0048	0,0048	0,0055	0,005	40
NO0090R	BDE_119	air+aerosol	pg/m ³	0,0011	0,002	0,0011	0,0014	0,001	0,001	0,0018	0,001	0,0011	0,001	0,0019	0,001	0,001	41
NO0090R	BDE_138	air+aerosol	pg/m ³	0,005	0,003	0,0033	0,0041	0,003	0,0029	0,0031	0,003	0,0032	0,0029	0,0032	0,003	0,003	41
NO0090R	BDE_153	air+aerosol	pg/m ³	0,0041	0,0025	0,0028	0,0035	0,0025	0,0025	0,0026	0,0025	0,0027	0,0026	0,0029	0,0029	0,003	41
NO0090R	BDE_154	air+aerosol	pg/m ³	0,0029	0,0018	0,002	0,0026	0,0018	0,0018	0,0019	0,0019	0,002	0,0021	0,0037	0,0023	0,002	41
NO0090R	BDE_183	air+aerosol	pg/m ³	0,0029	0,0022	0,0024	0,0031	0,0026	0,0022	0,0023	0,0024	0,0032	0,0042	0,0032	0,003	0,003	40

Deposition of air pollutants around the North Sea and the North-East Atlantic in 2016

Site	Comp	Matrix	Unit	Jan.	Febr.	March	April	May	June	July	Aug.	Sept.	Oct.	Nov.	Dec.	Year	Capture	
NO0090R	BDE_196	air+aerosol	pg/m ³	0,0151	0,0125	0,014	0,0176	0,0127	0,0125	0,0132	0,0129	0,0136	0,0124	0,0124	0,0127	0,014	40	
NO0090R	BDE_206	air+aerosol	pg/m ³	0,0394	0,0339	0,0381	0,0481	0,0343	0,0341	0,0361	0,035	0,037	0,0338	0,0396	0,044	0,038	39	
NO0090R	BDE_209	air+aerosol	pg/m ³	0,2866	0,2796	0,4819	0,4488	0,252	0,3082	0,3063	0,2796	0,3234	0,2454	1,0097	1,0534	0,432	37	
NO0090R	BDE_28	air+aerosol	pg/m ³	0,0062	0,0044	0,0063	0,0059	0,0041	0,0043	0,0045	0,0041	0,0049	0,0049	0,0054	0,0274	0,006	41	
NO0090R	BDE_47	air+aerosol	pg/m ³	0,0697	0,0477	0,0536	0,0677	0,0488	0,0481	0,0508	0,0493	0,0521	0,0475	0,0477	0,0594	0,054	41	
NO0090R	BDE_49	air+aerosol	pg/m ³	0,0052	0,0044	0,0195	0,0059	0,0042	0,0042	0,0045	0,0047	0,0047	0,0042	0,0052	0,0095	0,006	41	
NO0090R	BDE_66	air+aerosol	pg/m ³	0,0161	0,0143	0,0161	0,0203	0,0146	0,0144	0,0152	0,0147	0,0156	0,0142	0,0143	0,0145	0,016	41	
NO0090R	BDE_71	air+aerosol	pg/m ³	0,0011	0,001	0,0011	0,0013	0,0038	0,001	0,001	0,001	0,0011	0,001	0,001	0,0046	0,002	41	
NO0090R	BDE_77	air+aerosol	pg/m ³	0,001	0,001	0,001	0,0011	0,001	0,001	0,001	0,0012	0,001	0,001	0,001	0,001	0,001	41	
NO0090R	BDE_85	air+aerosol	pg/m ³	0,0012	0,0023	0,0012	0,0016	0,0011	0,0011	0,0012	0,0011	0,0012	0,0011	0,0011	0,0011	0,001	41	
NO0090R	BDE_99	air+aerosol	pg/m ³	0,0175	0,0105	0,0118	0,015	0,0107	0,0106	0,0133	0,0109	0,0115	0,0114	0,0109	0,0148	0,013	41	
NO0090R	FTS_6-2	air+aerosol	pg/m ³	0,15	0,15	0,15	0,15	0,15	0,15	0,15	0,15	0,15	0,15	0,15	0,15	0,15	28	
NO0090R	alpha_HCH	air+aerosol	pg/m ³	2,866	2,958	2,8348	2,8646	2,5987	2,9749	2,7649	3,2757	4,0305	4,1392	3,6497	2,9969	3,178	41	
NO0090R	gamma_HCH	air+aerosol	pg/m ³	0,5121	0,7349	1,0046	0,75	1,2777	0,3797	1,0535	0,6983	1,4918	0,929	0,682	0,777	0,866	41	
NO0090R	HCB	air+aerosol	pg/m ³	40,9989	36,5277	36,3843	37,2151	19,2426	22,4432	16,2928	17,9778	21,7691	28,4837	39,4659	27,727	6	28,830	41
NO0090R	op_DDD	air+aerosol	pg/m ³	0,0164	0,0165	0,0157	0,0108	0,0143	0,0059	0,0106	0,0063	0,0108	0,0132	0,0152	0,0148	0,013	40	
NO0090R	op_DDE	air+aerosol	pg/m ³	0,1014	0,0963	0,1082	0,057	0,0371	0,0106	0,0177	0,0176	0,0343	0,0585	0,0706	0,0683	0,056	41	
NO0090R	op_DDT	air+aerosol	pg/m ³	0,1703	0,1537	0,2206	0,1215	0,1002	0,0179	0,0641	0,0751	0,0868	0,1483	0,1398	0,1073	0,114	39	
NO0090R	PCB_101	air+aerosol	pg/m ³	0,6274	0,34	0,4019	0,3422	0,3568	0,0912	0,2295	0,1843	0,2146	0,2887	0,2766	0,3701	0,314	41	
NO0090R	PCB_105	air+aerosol	pg/m ³	0,0562	0,0302	0,0279	0,0275	0,0259	0,0067	0,0151	0,0161	0,009	0,0172	0,0215	0,0291	0,024	39	
NO0090R	PCB_114	air+aerosol	pg/m ³	0,0058	0,0041	0,0037	0,0038	0,0032	0,0012	0,002	0,0029	0,0011	0,0016	0,0016	0,003	0,003	38	
NO0090R	PCB_118	air+aerosol	pg/m ³	0,2192	0,1073	0,1029	0,0965	0,0902	0,0215	0,0547	0,0525	0,0391	0,0706	0,0863	0,1018	0,089	39	
NO0090R	PCB_122	air+aerosol	pg/m ³	0,0028	0,0027	0,0035	0,0021	0,0011	0,001	0,0022	0,002	0,0012	0,0018	0,002	0,0035	0,002	38	
NO0090R	PCB_123	air+aerosol	pg/m ³	0,0026	0,0017	0,0016	0,0021	0,0021	0,001	0,0011	0,0015	0,001	0,0011	0,001	0,0022	0,002	35	
NO0090R	PCB_128	air+aerosol	pg/m ³	0,0459	0,0143	0,0156	0,0138	0,0172	0,0038	0,011	0,0081	0,0052	0,0066	0,0084	0,0139	0,014	39	
NO0090R	PCB_138	air+aerosol	pg/m ³	0,337	0,1076	0,1288	0,1009	0,115	0,0269	0,0827	0,0615	0,0612	0,0744	0,0812	0,0962	0,111	39	
NO0090R	PCB_141	air+aerosol	pg/m ³	0,0981	0,021	0,0299	0,0241	0,0325	0,0067	0,0228	0,0153	0,0149	0,0145	0,0132	0,0258	0,029	39	
NO0090R	PCB_149	air+aerosol	pg/m ³	0,4204	0,1704	0,2341	0,1833	0,2218	0,0555	0,1674	0,1134	0,1401	0,1343	0,1299	0,2186	0,188	39	
NO0090R	PCB_153	air+aerosol	pg/m ³	0,4604	0,1694	0,2094	0,1603	0,1837	0,045	0,1349	0,0964	0,1204	0,1342	0,1376	0,1663	0,175	39	
NO0090R	PCB_156	air+aerosol	pg/m ³	0,0222	0,0049	0,0052	0,0048	0,0056	0,0014	0,0034	0,0026	0,0018	0,0025	0,0026	0,003	0,006	39	
NO0090R	PCB_157	air+aerosol	pg/m ³	0,0025	0,001	0,0011	0,0012	0,0012	0,001	0,001	0,001	0,001	0,001	0,001	0,001	0,001	39	
NO0090R	PCB_167	air+aerosol	pg/m ³	0,0103	0,0024	0,0029	0,0025	0,0031	0,001	0,0023	0,0015	0,0011	0,0013	0,0014	0,0026	0,003	39	
NO0090R	PCB_170	air+aerosol	pg/m ³	0,0323	0,0069	0,0101	0,0087	0,0121	0,0034	0,0086	0,0044	0,0045	0,0033	0,003	0,0076	0,010	39	
NO0090R	PCB_18	air+aerosol	pg/m ³	0,9665	1,4249	1,2649	1,0039	0,6333	0,2397	0,3053	0,2952	0,3215	1,1944	1,0988	0,8391	0,794	41	
NO0090R	PCB_180	air+aerosol	pg/m ³	0,1027	0,0259	0,0341	0,0268	0,0361	0,0093	0,026	0,0138	0,0132	0,0152	0,0113	0,0211	0,030	39	
NO0090R	PCB_183	air+aerosol	pg/m ³	0,031	0,0113	0,0147	0,0107	0,0132	0,0041	0,012	0,0067	0,0078	0,0072	0,008	0,0105	0,012	39	

Site	Comp	Matrix	Unit	Jan.	Febr.	March	April	May	June	July	Aug.	Sept.	Oct.	Nov.	Dec.	Year	Capture
NO0090R	PCB_187	air+aerosol	pg/m ³	0,0761	0,0359	0,048	0,0333	0,0422	0,013	0,0374	0,0206	0,0255	0,0233	0,026	0,0316	0,036	39
NO0090R	PCB_189	air+aerosol	pg/m ³	0,0015	0,001	0,001	0,0012	0,001	0,001	0,001	0,001	0,001	0,001	0,001	0,001	0,001	39
NO0090R	PCB_194	air+aerosol	pg/m ³	0,0034	0,0016	0,0023	0,0021	0,0027	0,0012	0,002	0,0011	0,0011	0,0012	0,001	0,0012	0,002	37
NO0090R	PCB_206	air+aerosol	pg/m ³	0,0012	0,001	0,0013	0,0014	0,0013	0,001	0,0013	0,0011	0,001	0,001	0,001	0,001	0,001	39
NO0090R	PCB_209	air+aerosol	pg/m ³	0,0025	0,0021	0,002	0,0022	0,003	0,0011	0,0021	0,0024	0,001	0,001	0,0012	0,0016	0,002	37
NO0090R	PCB_28	air+aerosol	pg/m ³	0,6098	0,7496	0,7865	0,6844	0,4975	0,1442	0,2577	0,3136	0,2736	0,7035	0,6751	0,6203	0,522	41
NO0090R	PCB_31	air+aerosol	pg/m ³	0,5656	0,6893	0,7108	0,6286	0,4758	0,1499	0,2471	0,2629	0,247	0,6438	0,6081	0,5752	0,480	41
NO0090R	PCB_33	air+aerosol	pg/m ³	0,3432	0,4106	0,4126	0,3548	0,2618	0,0762	0,1265	0,1399	0,1182	0,3521	0,348	0,3404	0,271	41
NO0090R	PCB_37	air+aerosol	pg/m ³	0,0561	0,0541	0,0516	0,0472	0,0404	0,011	0,0217	0,0231	0,0145	0,035	0,0429	0,0586	0,038	41
NO0090R	PCB_47	air+aerosol	pg/m ³	0,3746	0,5762	0,8347	0,8968	0,9183	0,505	0,9615	0,5973	0,7082	0,4678	0,3767	4,0031	0,857	41
NO0090R	PCB_52	air+aerosol	pg/m ³	0,6906	0,6685	0,7332	0,6413	0,5858	0,1942	0,3804	0,3143	0,3434	0,5597	0,5738	0,6543	0,527	41
NO0090R	PCB_66	air+aerosol	pg/m ³	0,1573	0,1396	0,1582	0,1463	0,1451	0,037	0,0816	0,0758	0,0619	0,1127	0,1032	0,1222	0,112	41
NO0090R	PCB_74	air+aerosol	pg/m ³	0,1226	0,1183	0,1335	0,1144	0,1005	0,0272	0,0582	0,0596	0,0468	0,0801	0,0829	0,1063	0,087	41
NO0090R	PCB_99	air+aerosol	pg/m ³	0,1635	0,1414	0,145	0,1419	0,1385	0,035	0,0791	0,0753	0,0605	0,1026	0,1082	0,1422	0,111	41
NO0090R	PFBA	air+aerosol	pg/m ³	0,007	0,007	0,007	0,007	0,007	0,007	0,007	0,007	0,007	0,007	0,007	0,007	0,007	28
NO0090R	PFBS	air+aerosol	pg/m ³	0,0057	0,0045	0,0197	0,0238	0,03	0,0365	0,043	0,0205	0,0221	0,0145	0,0059	0,0093	0,020	28
NO0090R	PFDcA	air+aerosol	pg/m ³	0,015	0,015	0,015	0,015	0,015	0,015	0,015	0,015	0,015	0,015	0,015	0,015	0,015	28
NO0090R	PFDcS	air+aerosol	pg/m ³	0,007	0,007	0,0211	0,0222	0,01	0,0081	0,0145	0,0071	0,0073	0,007	0,007	0,007	0,011	27
NO0090R	PFHpA	air+aerosol	pg/m ³	0,027	0,022	0,0481	0,0727	0,1043	0,1864	0,1397	0,011	0,011	0,011	0,011	0,011	0,057	28
NO0090R	PFHxA	air+aerosol	pg/m ³	0,0177	0,0187	0,0318	0,048	0,1202	0,1724	0,1201	0,0214	0,0815	0,0452	0,0181	0,0249	0,062	28
NO0090R	PFHxS	air+aerosol	pg/m ³	0,0118	0,006	0,0081	0,0125	0,0075	0,0107	0,0078	0,0098	0,006	0,0097	0,006	0,0076	0,009	28
NO0090R	PFNA	air+aerosol	pg/m ³	0,0097	0,0148	0,082	0,0558	0,034	0,1905	0,1125	0,0389	0,0599	0,0502	0,0122	0,1201	0,062	23
NO0090R	PFOA	air+aerosol	pg/m ³	0,078	0,083	0,1515	0,1546	0,207	0,3976	0,2276	0,1438	0,1439	0,1632	0,0448	0,1799	0,167	28
NO0090R	PFOS	air+aerosol	pg/m ³	0,007	0,01	0,007	0,0148	0,007	0,007	0,007	0,0072	0,0091	0,014	0,007	0,0126	0,009	28
NO0090R	PFOSA	air+aerosol	pg/m ³	0,007	0,007	0,0135	0,0182	0,008	0,0108	0,0136	0,007	0,0135	0,0093	0,007	0,0083	0,011	28
NO0090R	PFUnA	air+aerosol	pg/m ³	0,004	0,004	0,0057	0,0064	0,0063	0,0201	0,015	0,0078	0,0086	0,004	0,004	0,0099	0,008	28
NO0090R	pp_DDD	air+aerosol	pg/m ³	0,0103	0,0078	0,0108	0,0073	0,0067	0,0042	0,0061	0,0046	0,0066	0,0077	0,0087	0,011	0,008	39
NO0090R	pp_DDE	air+aerosol	pg/m ³	0,7986	0,8954	1,1129	0,3745	0,2591	0,0687	0,1279	0,1224	0,2019	0,6147	0,8052	0,5742	0,479	41
NO0090R	pp_DDT	air+aerosol	pg/m ³	0,0979	0,1082	0,1639	0,0735	0,0553	0,0139	0,0466	0,0529	0,0619	0,0997	0,1046	0,0695	0,076	36
NO0090R	TBA	air+aerosol	pg/m ³	5,3426	5,2429	3,0533	2,9732	2,1882	3,4548	4,2604	4,8	4,8293	4,9825	5,1257	3,5801	4,194	41
PT0004R	acenaphthene	pm10	ng/m3	0,0133	0,02	0,0237	0,024	0,0232	0,0233	0,0245	0,024	0,0236	0,0238	0,0239	0,0243	0,023	14
PT0004R	acenaphthylene	pm10	ng/m3	0,0133	0,02	0,0237	0,024	0,0232	0,0233	0,0245	0,024	0,0236	0,0238	0,0239	0,0243	0,023	14
PT0004R	anthracene	pm10	ng/m3	0,0133	0,02	0,0237	0,024	0,0232	0,0233	0,0245	0,024	0,0236	0,0238	0,0239	0,0243	0,023	14
PT0004R	benz_a_anthracene	pm10	ng/m3	0,0133	0,02	0,03	0,024	0,0232	0,0233	0,0245	0,024	0,0236	0,0238	0,0267	0,0817	0,031	14
PT0004R	benzo_a_pyrene	pm10	ng/m3	0,2133	0,11	0,044	0,024	0,0263	0,0233	0,0245	0,0282	0,0256	0,0266	0,0516	0,2392	0,068	14
PT0004R	benzo_b_fluoranthene	pm10	ng/m3	0,2133	0,25	0,0697	0,0342	0,0445	0,0442	0,046	0,0617	0,0654	0,0482	0,0902	0,294	0,099	14

Deposition of air pollutants around the North Sea and the North-East Atlantic in 2016

Site	Comp	Matrix	Unit	Jan.	Febr.	March	April	May	June	July	Aug.	Sept.	Oct.	Nov.	Dec.	Year	Capture
PT0004R	benzo_ghi_perylene	pm10	ng/m3	0,3	0,24	0,07	0,0272	0,038	0,0354	0,0295	0,0493	0,0452	0,0405	0,0767	0,275	0,093	14
PT0004R	benzo_k_fluoranthene	pm10	ng/m3	0,1133	0,11	0,033	0,024	0,0241	0,0233	0,0245	0,0257	0,0252	0,0238	0,0404	0,132	0,047	14
PT0004R	chrysene	pm10	ng/m3	0,0433	0,14	0,0393	0,025	0,028	0,0271	0,0245	0,0314	0,0375	0,0295	0,0495	0,1705	0,052	14
PT0004R	dibenzo_ah_anthracene	pm10	ng/m3	0,0133	0,02	0,0237	0,024	0,0232	0,0233	0,0245	0,024	0,0236	0,0238	0,0239	0,0243	0,023	14
PT0004R	fluoranthene	pm10	ng/m3	0,0133	0,2	0,0377	0,0297	0,0378	0,0365	0,027	0,037	0,0491	0,0296	0,0374	0,0977	0,045	14
PT0004R	fluorene	pm10	ng/m3	0,0133	0,02	0,0237	0,024	0,0232	0,0233	0,0245	0,024	0,0236	0,0238	0,0239	0,0243	0,023	14
PT0004R	inden_123cd_pyrene	pm10	ng/m3	0,3233	0,26	0,065	0,0272	0,036	0,0342	0,0295	0,0434	0,0383	0,0362	0,0705	0,2008	0,083	14
PT0004R	naphthalene	pm10	ng/m3	0,0133	0,025	0,0237	0,024	0,0232	0,0282	0,0245	0,024	0,0247	0,0238	0,0239	0,0268	0,024	14
PT0004R	phenanthrene	pm10	ng/m3	0,0303	0,074	0,0393	0,024	0,0302	0,0332	0,0245	0,0257	0,0272	0,0255	0,0369	0,1012	0,039	14
PT0004R	pyrene	pm10	ng/m3	0,0297	0,13	0,047	0,0262	0,0396	0,0459	0,0295	0,0353	0,0418	0,0297	0,0335	0,1202	0,047	14
PT0006R	acenaphthene	pm10	ng/m3	-	-	0,027	0,029	0,027	0,027	0,027	0,027	0,027	0,027	0,0272	0,0276	0,027	14
PT0006R	acenaphthylene	pm10	ng/m3	-	-	0,027	0,027	0,027	0,027	0,027	0,027	0,027	0,027	0,0272	0,0276	0,027	14
PT0006R	anthracene	pm10	ng/m3	-	-	0,027	0,027	0,027	0,027	0,027	0,027	0,027	0,0305	0,0494	0,0827	0,039	14
PT0006R	benz_a_anthracene	pm10	ng/m3	-	-	0,088	0,0627	0,0408	0,065	0,0595	0,0368	0,0478	0,0563	0,182	0,47	0,128	14
PT0006R	benzo_a_pyrene	pm10	ng/m3	-	-	0,066	0,079	0,0447	0,046	0,0325	0,0324	0,0433	0,0641	0,1876	0,5571	0,140	14
PT0006R	benzo_b_fluoranthene	pm10	ng/m3	-	-	0,27	0,1603	0,063	0,115	0,123	0,1018	0,0987	0,1293	0,2867	0,79	0,233	14
PT0006R	benzo_ghi_perylene	pm10	ng/m3	-	-	0,24	0,139	0,0708	0,1135	0,09	0,0815	0,0897	0,1164	0,2844	0,83	0,229	14
PT0006R	benzo_k_fluoranthene	pm10	ng/m3	-	-	0,11	0,0617	0,0325	0,046	0,0405	0,0352	0,0378	0,0442	0,1181	0,33	0,093	14
PT0006R	chrysene	pm10	ng/m3	-	-	0,18	0,132	0,0587	0,104	0,097	0,0805	0,088	0,1388	0,2811	0,8371	0,229	14
PT0006R	dibenzo_ah_anthracene	pm10	ng/m3	-	-	0,027	0,027	0,027	0,027	0,027	0,027	0,027	0,027	0,0272	0,0276	0,027	14
PT0006R	fluoranthene	pm10	ng/m3	-	-	0,14	0,115	0,0597	0,1255	0,132	0,0884	0,1066	0,2173	0,3056	0,58	0,217	14
PT0006R	fluorene	pm10	ng/m3	-	-	0,027	0,027	0,027	0,027	0,027	0,027	0,027	0,027	0,0309	0,0393	0,029	14
PT0006R	inden_123cd_pyrene	pm10	ng/m3	-	-	0,2	0,095	0,0475	0,076	0,0595	0,05	0,0501	0,06	0,1544	0,4443	0,128	14
PT0006R	naphthalene	pm10	ng/m3	-	-	0,044	0,04	0,0367	0,046	0,0735	0,0413	0,0515	0,07	0,11	0,17	0,077	14
PT0006R	phenanthrene	pm10	ng/m3	-	-	0,12	0,0947	0,0698	0,1075	0,1395	0,0652	0,0815	0,1578	0,2589	0,4571	0,175	14
PT0006R	pyrene	pm10	ng/m3	-	-	0,15	0,1433	0,0858	0,18	0,183	0,0996	0,1272	0,2675	0,3556	0,8243	0,278	14
SE0014R	aldrin	air+aerosol	ng/m3	0,15	0,15	0,15	0,15	0,15	0,15	0,15	0,15	0,15	0,15	0,15	0,15	0,150	100
SE0014R	alpha_endosulfan	air+aerosol	ng/m3	0,34	0,3638	0,4613	0,38	0,3368	0,83	0,7126	0,6735	0,8	0,421	0,242	0,17	0,477	100
SE0014R	anthracene	air+aerosol	ng/m3	0,064	0,0678	0,0075	0,012	0,015	0,003	0,0021	0,003	0,003	0,0487	0,0197	0,026	0,023	100
SE0014R	benz_a_anthracene	air+aerosol	ng/m3	0,258	0,075	0,02	0,029	0,032	0,005	0,005	0,0081	0,009	0,0512	0,0563	0,05	0,050	100
SE0014R	benzo_a_pyrene	air+aerosol	ng/m3	0,269	0,0711	0,0193	0,031	0,0364	0,003	0,0021	0,0063	0,009	0,0589	0,0706	0,049	0,052	100
SE0014R	benzo_b_fluoranthene	air+aerosol	ng/m3	0,429	0,1369	0,0523	0,074	0,086	0,008	0,0062	0,0114	0,015	0,0952	0,1179	0,09	0,094	100
SE0014R	benzo_ghi_perylene	air+aerosol	ng/m3	0,285	0,0996	0,0325	0,046	0,0532	0,004	0,0031	0,0073	0,01	0,0757	0,0838	0,064	0,064	100
SE0014R	benzo_k_fluoranthene	air+aerosol	ng/m3	0,192	0,0604	0,0183	0,03	0,0346	0,003	0,0021	0,0042	0,006	0,0436	0,0506	0,038	0,040	100
SE0014R	beta_endosulfan	air+aerosol	ng/m3	0,031	0,01	0,0131	0,042	0,021	0,024	0,033	0,0338	0,041	0,012	0,01	0,01	0,023	100

Site	Comp	Matrix	Unit	Jan.	Febr.	March	April	May	June	July	Aug.	Sept.	Oct.	Nov.	Dec.	Year	Capture
SE0014R	chrysene	air+aerosol	ng/m3	0,47	0,2045	0,0529	0,08	0,0963	0,01	0,0073	0,011	0,02	0,2077	0,253	0,37	0,149	100
SE0014R	dibenzo_ah_anthracene	air+aerosol	ng/m3	0,033	0,0088	0,0041	0,005	0,0075	0,001	0,0001	0,001	0,001	0,0085	0,0097	0,007	0,007	100
SE0014R	fluoranthene	air+aerosol	ng/m3	1,49	1,2724	0,2306	0,33	0,4126	0,07	0,0519	0,0629	0,09	0,4452	0,46	0,46	0,446	100
SE0014R	inden_123cd_pyrene	air+aerosol	ng/m3	0,313	0,0977	0,0356	0,051	0,0678	0,004	0,0031	0,0064	0,01	0,084	0,0905	0,068	0,069	100
SE0014R	phenanthrene	air+aerosol	ng/m3	2,6	3,5034	0,8058	0,86	1,2548	0,4	0,2735	0,2977	0,37	1,4142	1,1	1,1	1,158	100
SE0014R	pyrene	air+aerosol	ng/m3	0,99	0,7572	0,1268	0,19	0,2519	0,03	0,021	0,041	0,05	0,2839	0,299	0,29	0,276	100
SE0014R	1234678_HpCDD	air+aerosol	pg/m ³	-	-	0,24	0,24	0,104	0,036	0,036	0,12	0,12	0,12	0,25	0,25	0,160	38
SE0014R	1234678_HpCDF	air+aerosol	pg/m ³	-	-	0,1	0,1	0,0513	0,027	0,027	0,091	0,091	0,091	0,13	0,13	0,087	38
SE0014R	123478_HxCDD	air+aerosol	pg/m ³	-	-	0,14	0,14	0,0533	0,01	0,01	0,079	0,079	0,079	0,14	0,14	0,092	38
SE0014R	123478_HxCDF	air+aerosol	pg/m ³	-	-	0,31	0,31	0,1567	0,08	0,08	0,46	0,46	0,46	0,46	0,46	0,327	38
SE0014R	1234789_HpCDF	air+aerosol	pg/m ³	-	-	0,013	0,013	0,0053	0,0015	0,0015	0,01	0,01	0,01	0,014	0,014	0,010	38
SE0014R	123678_HxCDD	air+aerosol	pg/m ³	-	-	0,22	0,22	0,08	0,01	0,01	0,12	0,12	0,12	0,24	0,24	0,146	38
SE0014R	123678_HxCDF	air+aerosol	pg/m ³	-	-	0,2	0,2	0,0873	0,031	0,031	0,16	0,16	0,16	0,26	0,26	0,162	38
SE0014R	12378_PeCDD	air+aerosol	pg/m ³	-	-	1,5	1,5	0,6267	0,19	0,19	0,35	0,35	0,35	1,2	1,2	0,802	38
SE0014R	12378_PeCDF	air+aerosol	pg/m ³	-	-	0,042	0,042	0,0173	0,005	0,005	0,018	0,018	0,018	0,045	0,045	0,027	38
SE0014R	123789_HxCDD	air+aerosol	pg/m ³	-	-	0,19	0,19	0,07	0,01	0,01	0,086	0,086	0,086	0,2	0,2	0,120	38
SE0014R	123789_HxCDF	air+aerosol	pg/m ³	-	-	0,12	0,12	0,0567	0,025	0,025	0,13	0,13	0,13	0,15	0,15	0,106	38
SE0014R	234678_HxCDF	air+aerosol	pg/m ³	-	-	0,31	0,31	0,15	0,07	0,07	0,31	0,31	0,31	0,45	0,45	0,284	38
SE0014R	23478_PeCDF	air+aerosol	pg/m ³	-	-	0,96	0,96	0,3533	0,05	0,05	0,84	0,84	0,84	1,53	1,53	0,839	38
SE0014R	2378_TCDD	air+aerosol	pg/m ³	-	-	0,44	0,44	0,2467	0,15	0,15	0,15	0,15	0,15	0,15	0,15	0,221	38
SE0014R	2378_TCDF	air+aerosol	pg/m ³	-	-	0,29	0,29	0,19	0,14	0,14	0,17	0,17	0,17	0,27	0,27	0,217	38
SE0014R	BDE_100	air+aerosol	pg/m ³	0,162	0,0757	0,0685	0,083	0,0871	0,02	0,0471	0,0422	0,053	0,0674	0,051	0,06	0,068	100
SE0014R	BDE_153	air+aerosol	pg/m ³	0,075	0,075	0,075	0,075	0,075	0,075	0,075	0,075	0,075	0,075	0,075	0,075	0,075	100
SE0014R	BDE_154	air+aerosol	pg/m ³	0,075	0,075	0,075	0,075	0,075	0,075	0,075	0,075	0,075	0,075	0,075	0,075	0,075	100
SE0014R	BDE_209	air+aerosol	pg/m ³	0,78	0,15	0,15	0,15	0,15	0,15	0,15	0,15	0,15	0,15	0,15	0,15	0,203	100
SE0014R	BDE_47	air+aerosol	pg/m ³	0,17	0,1183	0,0719	0,09	0,1158	0,07	0,0519	0,0539	0,09	0,0813	0,101	0,11	0,094	100
SE0014R	BDE_85	air+aerosol	pg/m ³	0,025	0,0297	0,021	0,03	0,0252	0,025	0,025	0,025	0,025	0,025	0,025	0,025	0,026	100
SE0014R	BDE_99	air+aerosol	pg/m ³	0,162	0,0758	0,0713	0,083	0,0871	0,02	0,0471	0,0413	0,053	0,0674	0,051	0,06	0,068	100
SE0014R	alpha_HCH	air+aerosol	pg/m ³	1,6	2,3966	2,3581	2,9	2,6806	3,7	3,7	2,9452	4,3	5,3968	1,84	1,3	2,927	100
SE0014R	gamma_HCH	air+aerosol	pg/m ³	1,4	1,931	2,7516	2,3	2,2548	4,4	4,0387	2,9032	4,8	1,3323	0,89	0,8	2,480	100
SE0014R	HCB	air+aerosol	pg/m ³	5,9	5,9	5,9	5,9	5,9	5,9	5,9	5,9	5,9	5,9	5,9	5,9	5,900	100
SE0014R	OCDD	air+aerosol	pg/m ³	-	-	0,025	0,025	0,011	0,004	0,004	0,009	0,009	0,009	0,018	0,018	0,014	38
SE0014R	OCDF	air+aerosol	pg/m ³	-	-	0,004	0,004	0,002	0,001	0,001	0,001	0,001	0,001	0,003	0,003	0,002	38
SE0014R	PCB_101	air+aerosol	pg/m ³	0,97	1,1055	2,0226	1,3	1,5632	3,7	2,7968	2,2161	0,5	0,6839	0,59	0,5	1,498	100
SE0014R	PCB_118	air+aerosol	pg/m ³	0,33	0,3234	0,6719	0,41	0,4894	1,22	0,931	0,8087	0,89	0,4161	0,211	0,31	0,585	100
SE0014R	PCB_138	air+aerosol	pg/m ³	0,62	0,6634	1,7881	0,93	1,1965	3,1	1,9258	1,7484	2,2	1,149	0,412	0,34	1,340	100
SE0014R	PCB_153	air+aerosol	pg/m ³	0,75	0,8403	1,8858	1,1	1,3619	3,2	2,2065	1,9484	2,4	1,0726	0,445	0,4	1,468	100

Deposition of air pollutants around the North Sea and the North-East Atlantic in 2016

Site	Comp	Matrix	Unit	Jan.	Febr.	March	April	May	June	July	Aug.	Sept.	Oct.	Nov.	Dec.	Year	Capture
SE0014R	PCB_180	air+aerosol	pg/m ³	0,27	0,1966	0,6252	0,3	0,4052	1,09	0,6113	0,5474	0,71	0,4377	0,107	0,08	0,449	100
SE0014R	PCB_28	air+aerosol	pg/m ³	1,33	1,1876	1,3874	1,27	1,6229	1,98	1,5194	1,5094	1,41	0,7552	0,941	0,5	1,284	100
SE0014R	PCB_52	air+aerosol	pg/m ³	1,39	1,4952	2,1419	1,6	1,9097	3,6	3,0581	2,9097	3	0,8548	0,87	0,6	1,952	100
SE0014R	PFOA	air+aerosol	pg/m ³	6,6	0,7862	0,4194	0,6	2,0129	5,7	2,4484	1,0903	1	0,6416	0,809	0,8	1,914	100
SE0014R	PFOS	air+aerosol	pg/m ³	1,7	0,8786	0,3206	0,7	0,6484	1,3	0,9387	0,9506	0,77	0,3284	0,82	1	0,863	100
SE0014R	pp_DDD	air+aerosol	pg/m ³	0,025	0,0297	0,021	0,03	0,0252	0,025	0,025	0,025	0,025	0,0258	0,0475	0,025	0,027	100
SE0014R	pp_DDE	air+aerosol	pg/m ³	2,3	1,7897	1,5677	2,2	2,12	0,96	0,8155	2,0523	1,7	1,5129	1,36	0,1	1,538	100
SE0014R	pp_DDT	air+aerosol	pg/m ³	0,53	0,3403	0,3616	0,47	0,4345	0,34	0,3039	0,5048	0,55	0,3052	0,234	0,18	0,380	100

Annex 3

Methods in field and laboratory

Table A.3.1: Measurements methods for POPs.

Country	Precipitation		Air and aerosols		Laboratory method
	Sampling method	Frequency	Sampling method	Frequency	
Belgium	wet only (POP) total (wet+dry) deposition with funnel bottle (PAH)	4 weeks	Low vol. sampler (Leckel SEQ47/50) = 55m ³ /day (PAH)	24h, once every 3 days (PAH)	SPE (spedex extraction) and GC-MS (PAH in deposition). ASE + GC-MS (PAH in air). Spedex Extraction(SPE) + GC-MSMS (POPs)
Germany	wet only	Monthly	High vol (filter + PU foam)	monthly	GC-MS
Spain	Bulk (precip + dry dep)	52 days	PM10, High vol	24h, once every 8 days	GC-MS
Great Britain			High Vol. Whatman GF filter + 2 PUR foams.5m ³ /h	biweekly sampling, 3 monthly analysis	GC-MS
Iceland	bulk, (Steel funnel 1m ² /PUF foam)	Biweekly	PUF-foam 1000m ³ /15days	Biweekly	GC-MS
Netherlands	bulk	4 weekly	PM10 LVS, Whatman quartz filter	Sampled every other day, analysis is pooled 3 samples in winter, 5 in summer time	GC-MS
Norway	bulk, funnel and bottle of glass	Weekly	High Vol.Gelman AE filter + 2 PUR foams. 20m ³ /h	NO01: 24h a week NO42: 48h a week	GC-MS
Portugal	wet only	2 week sampling			GC-HRMS,HPLC, GC-ECD
Sweden	Bulk (precip + dry dep)	monthly	High vol (filter + PU foam)	weekly sampling, monthly analyses	HPLC, GC-ECD

HPLC: High Performance Liquid Chromatography

GC -MS: Gas chromatograph with Mass Spectrometry

GC - ECD: Gas chromatograph with Electron Capture Detector

TLC: Thin Layer Chromatography

GC-HRMS: Gas chromatograph High Performance with Mass Spectrometry

Deposition of air pollutants around the North Sea and the North-East Atlantic in 2016

Table A.3.2: Measurements methods for Heavy metals.

Country	Precipitation		Air and aerosols		Laboratory method
	Field method	Frequency	Field method	Frequency	
Belgium	wet only	weekly	Low volume sampler	daily	ICP-MS CV-AFS
	Hg wet only	weekly			
Germany	wet only	Weekly	Low volume sampler TGM : monitor (Tekran)	weekly	ICP-MS
	Hg wet only	Weekly		daily (reported)	
Denmark	Bulk	Monthly	Low volume sampler, Millipore RAWP 1.2 \square m, $58 \frac{m^3}{day}$ TGM: monitor (Tekran)	daily	ICP-MS (aerosol) GF-AAS (precipitation)
	Hg			continuously	
Spain	wet only	Weekly	High-vol, PM10 TGM: monitor (Tekran)	24h a week	ICP-MS (aerosol) GF-AAS for precip
	Bulk	Monthly		continuously	
France	Bulk	Monthly			ICP-MS
Great Britain	Bulk	GB06,17: monthly GB13,91: weekly	PM10, low volume sampler	weekly	ICP-MS
Ireland	Bulk	Monthly	TGM: monitor (Tekran)	continuously	ICP-MS
Netherlands	Wet-only	weekly	Low volume sampler	24h every 2 days	ICP-MS CV-AFS
	Hg Wet-only	Weekly			
Norway	Bulk	Weekly	NO42: High Vol, 20 l/h, W41 NO01: PM10 KFG 2.3 l/h, quartz TGM: monitor (Tekran)	48h a week	ICP-MS CV-AFS
	Hg Bulk (Hg)	Monthly		Weekly	
Portugal	wet only	2 week sampling			ICP-MS;CV-AFS (Hg)
Sweden	Bulk	Monthly	Low volume sampler, Teflon filter	monthly	ICP-MS
	Hg Bulk (Hg)	Bi-weekly	Hg: gold traps (TGM)	2 X 24 h a week	CV-AFS
				Hg: mini traps (TPM)	2 X 24 h a week

GF-AAS: Graphic Furnace Atomic Absorption Spectroscopy
ICP-MS: Inductively Coupled Plasma - Mass Spectrometry
CV-AFS: Cold Vapour Atomic Fluorescence Spectroscopy

Table A.3.3: Measurement methods for nitrogen species.

Country	Precipitation		Air and aerosols		Laboratory method
	Field method	Frequency	Field methods	Frequency	
Belgium	wet only	biweekly	NO ₂ : Chemiluminiscence monitor NH ₃ : passive sampler	half hourly 4 weeks	spectrophotometry (discrete analyser)
Germany	wet only	weekly	NO ₂ : NaI imp. Glass filters, 0.7m ³ /day NH ₃ : low-cost-denuder NO ₃ ⁻ , NH ₄ ⁺ : LVS, PM _{2.5} , quartz filter	daily weekly every 3rd day	NO ₂ : FIA NH ₃ : FIA IC
Denmark	wet only	biweekly	Monitor. Chemiluminiscence sumNO ₃ : Millipore RAWP, 1.2 m ³ + impregnated Whatman 41, 58 m ³ /day (filterpack) sumNH ₄ : Millipore RAWP, 1.2 m ³ acid impregnated Whatman 41, 58 m ³ /day (filterpack)	hourly daily	NO ₃ : IC NH ₄ : Spect. (CFA)
Spain	wet onlt	daily	NO ₂ : Chemiluminescence monitor sumNO ₃ : NaOH impregnated Whatman 40 filter, 35 m ³ /day sumNH ₄ : Oxalic acid impregnated Whatman 40 filter, 35 m ³ /day		NH ₄ : AAS NO ₃ : IC
Great Britain	bulk	biweekly	NO ₂ : Chemiluminescence monitor sumNO ₃ and NH ₄ : Delta sampler (low volume denuder and filter pack)		IC
Ireland	bulk	daily			IC
Iceland	bulk	daily			IC
Netherlands	wet only	NL09: daily NL91: biweekly	NO ₂ : Chemiluminescence monitor NH ₃ : Absorption in NaHSO ₄ , membrane separation NO ₃ and NH ₄ : Whatman QMA filter 47 mm, 55.2 m ³ /day	hourly hourly daily	NH ₃ : conductivity NO ₃ : IC, NH ₄ : CFA
Norway	bulk	NO01 and NO39: daily NO554, NO572 NO655: weekly	NO ₂ : NaI imp. Glass filters, 0.7m ³ /day sumNO ₃ : Teflon filter+ KOH-impregnated Whatman 40 filter, 25 m ³ /day (Filterpack) sumNH ₄ : Teflon filter + Oxalic acid-impregnated Whatman 40 filter, 25 m ³ /day (Filterpack)	daily daily	NO ₂ : Spect., Griess method NH ₄ , NO ₃ : IC
Portugal	wet only	biweekly			

Deposition of air pollutants around the North Sea and the North-East Atlantic in 2016

Country	Precipitation		Air and aerosols		Laboratory method
	Field method	Frequency	Field methods	Frequency	
Sweden	wet only	daily	NO ₂ : NaI-impregnated glass sinters, ~0.7 m ³ /day	daily	Spectr. FIA
			SumNO ₃ : Mitex membrane + KOH-impregnated Whatman 40 filter, 20 m ³ /day (filterpack)	daily	IC
			sum NH ₄ : Mitex membrane + Oxalic acid impregnated Whatman 40 filter, 20 m ³ /day (filterpack)	daily	Spectr. FIA

IC: ion chromatograph

CFA: continuous flow analysis

FIA: Flow injection analysis

Annex 4

Detection limit

Deposition of air pollutants around the North Sea and the North-East Atlantic in 2016

Limits of detection (LODs)											
<i>In precipitation</i>	Unit	BE	DK	DE	NL	GB	IE	IS	NO	PT	SE
NO ₃ ⁻	mgN/L	0.032/0.044	0.08	0.02	0.06	0.01			0.01	0.2	0.002
NH ₄ ⁺	mgN/L	0.03/0.039	0.02	0.001	0.05	0.01			0.01	0.2	0.01
As	ug/L	0.01	0.03	0.004	0.15	0.008			0.09	0.4	0.03
Cd	ug/L	0.06	0.008	0.001	0.03	0.002			0.009	0.1	0.002
Cr	ug/L	0.13	0.04	0.01	0.5	0.04			0.09	0.4	0.02
Cu	ug/L	0.87	0.05	0.01	0.4	0.02			0.09	1	0.01
Ni	ug/L	0.16	0.07	0.002	0.4	0.01			0.02	0.4	0.015
Pb	ug/L	0.06	0.07	0.001	0.4	0.06			0.06	0.4	0.02
Zn	ug/L	1.54			4	1			0.12	1.4	0.5
Hg	ng/L	0.37		0.5	2	0.001	25		0.2 ng abs.	20	0.04
γ-HCH	ng/L			0.055 ng abs	0.4				0.01		0.01-0.04 ng/m ² , day
HCB, PCBs	ng/L								1-2		0.02-0.05 ng/m ² , day
PAHs	μg/m ² /day	0.001-0.01			1 ng/L					10	0.0001 μg/m ² , day
<i>In air and aerosols</i>											
	Unit	BE	DK	DE	NL	GB	IE	IS	NO	PT	SE
NO ₂	μgN/m ³	0.58	3.1	0.1/0.03	0.4ppb	0.3-0.7			0.03		0.09
Sum (NO ₃ +HNO ₃)	μgN/m ³		0.1						0.01		0.01
Sum (NH ₄ +NH ₃)	μgN/m ³								0.05		0.01
NH ₃	μgN/m ³	0.02	0.1	0.08		0.01					
HNO ₃	μgN/m ³					0.01					
NH ₄	μgN/m ³		0.1	0.08		0.02					
NO ₃	μgN/m ³			0.002		0.01					
As	ng/m ³	0.1	0.07	0.01	0.5	0.021			0.003	0.2	0.06
Cd	ng/m ³	0.02	0.1	0.003	0.2	0.009			0.0006	0.4	0.008
Cr	ng/m ³	1.9				1.7			0.07		0.24
Cu	ng/m ³	2.3				0.11			0.03		0.6
Ni	ng/m ³	1.6	0.7	0.2	0.2	0.06			0.2	0.4	1
Pb	ng/m ³	0.3	0.4	0.05	2	0.10			0.05	0.4	0.28
Zn	ng/m ³	4.2			21.7	0.52			0.08		3.2
Hg (g)	ng/m ³					0.08			0.2 ng abs.		0.01
HCB, PCBs, HCHs	pg/m ³								0.05-0.8		0.03-0.08
PAHs	ng/m ³	0.002-0.007			0.001- 0.02	0.01-0.03			ca 0.001	ca 0.02	0.001- 0,002



**OSPAR
COMMISSION**

Victoria House
37-63 Southampton Row
London WC1B 4DA
United Kingdom

t: +44 (0)20 7430 5200
f: +44 (0)20 7242 3737
e: secretariat@ospar.org
www.ospar.org

**OSPAR's vision is of a clean, healthy and biologically diverse
North-East Atlantic used sustainably**

ISBN 978-1-911458-53-1
Publication Number: 713/2018

© OSPAR Commission, 2018. Permission may be granted by the publishers for the report to be wholly or partly reproduced in publications provided that the source of the extract is clearly indicated.

© Commission OSPAR, 2018. La reproduction de tout ou partie de ce rapport dans une publication peut être autorisée par l'Editeur, sous réserve que l'origine de l'extrait soit clairement mentionnée.